

ЧАСОПИС ЗА АСТРОНОМИЈУ

# Васиона

UDC 52(05) ≡ YU ISSN 0506-4295 ≡ БРОЈ 3-4/2009 ≡ ГОДИНА LV ≡ цена: 180 дин.



Маглина „Мачје око“

# Астрономски телескопи

Астрономски дурбин је основни астрономски инструмент. Он нам омогућава да опажамо звијезде слабијег сјаја или ситније детаље на објектима проматрања него што то можемо голим оком. Главни дијелови сваког астрономског дурбина су објектив и окулар. Објектив сакупља свјетло небеских објеката и ствара њихову слику у својој жижи. Окулар повећава ову слику и омогућава њено гледање.

О објективу астрономског дурбина овиси квалитета слике коју астрономски дурбин одаје, па се стога астрономски дурбини описују карактеристикама својих објектива и то њиховим пречником и жижном даљином. Често пута се умјесто жижне даљине даје  $f$  број објектива.  $f$  број је однос жижне даљине и пречника објектива ( $f = F/D$ ).

Умјесто  $f$  броја врло често се пише  $F/f$  број. На примјер за објектив пречника 80  $mm$  и жижне даљине 1200  $mm$  је  $f$  број  $= 1200/80 = 15$  или, писано на други начин  $F/15$ .

Према типу објектива астрономски дурбини се дијеле на три главна типа: *рефракторе*, *рефлектор*е и *мјешовите* (катадиоптичке). Рефрактор је астрономски дурбин код којег је објектив направљен од једног или више сочива. Код рефлектора је објектив огледало, а сложени или катадиоптички астрономски дурбини имају објективе који су направљени од комбинације сочива и огледала.

Основна и најважнија функција астрономских дурбина је да сакупља свјетло. Више сакупљеног свјетла значи да ћемо моћи опажати објекте слабијег сјаја, па је јасно да је већи објектив бољи од мањег јер има већу површину. Узмемо ли да је пречник зјенице људског ока привикнутог на таму око 7  $mm$  (у стварности је он различит од човјека до човјека, али се креће у границама од око 6 до 8 око  $mm$  осим код старијих особа код којих може бити и мањи) онда објектив пречника  $D$  милиметара сакупља онолико пута више свјетла колико му је пута површина већа од површине зјенице што лако израчунамо: при чему пречник објектива ( $D$ ) морамо уврстити у милиметрима. Овај се однос назива свјетлосна снага телескопа  $S^1$ .

Покушајмо сада одредити колико слабе звије-

зде ћемо моћи проматрати неким дурбином. Ако објектив нашег астрономског дурбина сакупља  $S$  пута више свјетла од голог ока, онда ћемо са астрономским дурбином моћи видјети звијезде  $s$  пута тамније. Ако се сјетимо да простим оком можемо опазити звијезде око 6 звијездане величине, и да је скала звијезданих величина тзв. логаритамска скала (што значи да разлика сјаја изражена у звијезданим величинама логаритам односа сјајева) онда након мало математике долазимо до слиједеће формуле:

$$m_g = 6 + 2,5 \times \log(S)$$

Овдје треба напоменути да се у стварности гранична звијездана величина достиже само у тамним, ведрим ноћима без мјесечине и то при великим повећањима<sup>2</sup>. У најбољим увјетима могуће је опазити звијезде и за око 1 звјездану величину тамније од вриједности коју предвиђа ова формула. Ту свакако велику улогу играју и оптичка квалитета објектива и карактеристике проматрачевог ока.

Уврстимо ли у формулу за граничну звјездану величину умјесто свјетлосне јачине астрономског дурбина ( $S$ ) израз који је повезује са пречником објектива, добит ћемо други облик формуле за граничну звјездану величину који се често наводи у литератури:

$$m_g = 6 + 5 \times \log(D/7) = 1,8 + 5 \times \log(D)$$

Друга важна функција астрономског дурбина је повећање. Повећавајући слику небеских објеката, астрономски дурбин омогућава нам да на небеским објектима уочимо ситније детаље или да разлучимо блискије двојне звијезде него што бисмо то могли голим оком. Повећање астрономског дурбина ( $P$ ) лако израчунамо тако да жижну даљину објектива ( $F$ ) подијелимо са жижном даљином окулара ( $f$ ):

$$P = F/f$$

Повећање се не може мијењати у произвољним границама. Ако је повећање премало, долази до губитка свјетла па астрономски дурбин није добро

<sup>1</sup> Примјер: израчунати свјетлосну снагу објектива: а) двогледа пречника 30  $mm$ , б) малог рефрактора пречника објектива 80  $mm$  и в) великог катадиоптичког астрономског дурбина пречника објектива 200  $mm$ .

а)  $S = (30/7) = 18$   
б)  $S = (80/7) = 131$   
в)  $S = (200/7) = 816$

<sup>2</sup> Примјер: наћи граничну звјездану величину за прије споменуте астрономске дурбине пречника објектива од а) 30, б) 80 и в) 200  $mm$ .

а)  $m_g = 6 + 2,5 \times \log(18) = 9,2$   
б)  $m_g = 6 + 2,5 \times \log(131) = 11,3$   
в)  $m_g = 6 + 2,5 \times \log(816) = 13,3$

искориштен. Ако пак претјерамо са повећањем добит ћемо тамне, разводњене слике без детаља, а истакнут ћемо све несавршености оптике и титрање атмосфере. Границе у којима се може кретати повећање овисе о пречнику објектива астрономског дурбина, његовом типу и квалитети. Срећом у највећем броју случајева објектив је задовољавајуће квалитете тако да квалитету слике ограничавају само закони оптике (дифракција) и титрање атмосфере.

Повећања се уопштено дијеле на мала, средња и велика. Мала повећања дају свијетле слике и велика видна поља и користе се за тражење објеката на небу, проматрање комета, маглица и сл. Код ових повећања титрање зрака не утиче на квалитету слике. Средња повећања користе се за проматрање Мјесеца и планета, двојних звијезда, маглица малих димензија итд. Слика је код ових повећања тамнија, а видно поље мање. Титрање зрака примјетно је само кад је изразито велико. Велика повећања користе се углавном за проматрање Мјесеца, планета и блиских двојних звијезда, ако је атмосфера мирна. Код ових повећања видно поље је мало, слика је тамна и јако осјетљива на титрање зрака. Границе између појединих врста повећања нису строго постављене али се могу отприлике одредити слиједећим формулама:

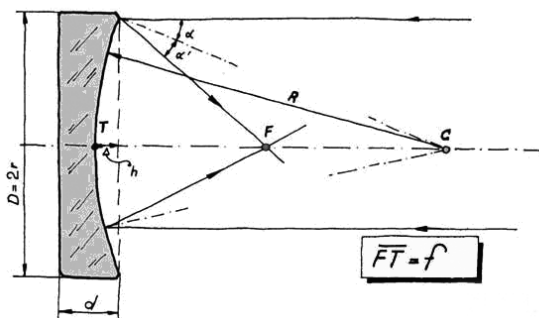
- премала повећања  $P_{min} = D(mm)/7$
- мала повећања  $P_n = D(mm)/5$
- средња повећања  $P_s = D(mm)/3$
- велика повећања  $P_v = D(mm)$
- превелика, некорисна, повећања  $P_{max} = 5 \times D(mm)$

$D$  је пречник објектива астрономског дурбина у  $mm$ ,  $P_{min}$  је најмање корисно повећање које се може користити том инструменту,  $P_n$  тзв. нормално повећање код којег је слика отприлике једнако свијетла као и кад је објект гледан простим оком,  $P_s$  је средње повећање,  $P_v$  је повећање које омогућава потпуно искориштење различне моћи астрономског дурбина и  $P_{max}$  је највеће корисно повећање<sup>3</sup>.

Рецимо још на крају неколико ријечи о различитој моћи астрономских дурбина. Закони оптике ограничавају оштрину слике која се може постићи објективом одређеног пречника тако да за опажање ситнијих детаља морамо употријебити објектив већег пречника. Најситнији кутни размак ( $P$ ) двије звијезде истог сјаја, који се још може раздвојити објективом пречника  $D$   $mm$  дан је тзв. Dawes-овом формулом:  $P(") = 120/D(mm)$  гдје је  $P$  кутни размак у лучним секундама ако је  $D$  пречник објектива у  $mm$ . Ако двије звијезде нису истог сјаја, размак који

<sup>3</sup> Примјер: одредити корисна повећања за објективе астрономских дурбина пречника а) 30, б) 80 и в) 200  $mm$ :

а)  $P_{min} = 30/7 = 4\times$ ,  $P_n = 30/5 = 6\times$ ,  $P_s = 30/3 = 10\times$ ,  $P_v = 30 = 30\times$ ,  
 $P_{max} = 2,5 \times 30 = 75\times$   
 б)  $P_{min} = 80/7 = 11\times$ ,  $P_n = 80/5 = 16\times$ ,  $P_s = 80/3 = 27\times$ ,  $P_v = 80 = 80\times$ ,  
 $P_{max} = 2,5 \times 80 = 200\times$   
 в)  $P_{min} = 200/7 = 29\times$ ,  $P_n = 200/5 = 40\times$ ,  $P_s = 200/3 = 67\times$ ,  $P_v = 200 = 200\times$ ,  $P_{max} = 2,5 \times 200 = 500\times$



**Слика 1. Геометријске величине којима се описује сферно огледало**

се још може разлучити расте са разликом у сјају између тих двију звијезда. Разлучивање за објекте малог контраста напр. детаље планета и сл. често пута много је лошије него што то ова формула предвиђа<sup>4</sup>.

### Израда огледала за Њутнов рефлектор - геометрија сферног огледала

Сферно огледало је дио куглине плохе. Полупречник закривљености ( $P$ ) те куглине плохе назива се полупречник закривљености огледала, а средиште куглине плохе средиште закривљености огледала ( $C$ ). Пречник огледала ( $D$ ) и рубна дебљина огледала ( $d$ ) обично се изражавају у  $mm$ , а у енглеској литератури врло често и у инчима (1 инч (" ) ~ 25,4  $mm$ ). Удубина огледала ( $x$ ) је разлика рубне и средишње дебљине огледала. Овакво сферно огледало фокусира паралелни сноп свјетла у своју жижу ( $F$ ). Удаљеност од тјемења огледала ( $T$ ) до жиже ( $F$ ) назива се жижна даљина огледала ( $f$ ). Она је једнака половици полупречника закривљености огледала, дакле  $f = P/2$ .

### Једноставни сферометри

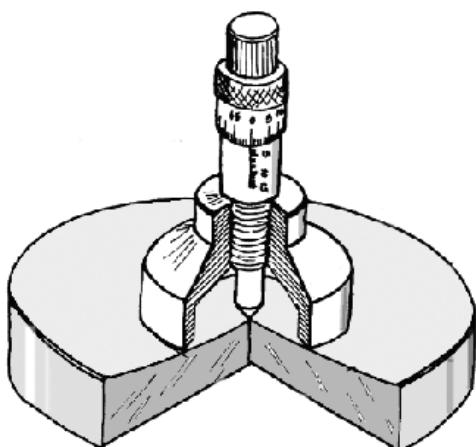
Удубљење сферног огледала може се мјерити на неколико начина. Професионални оптичари у ту сврху користе разне врсте инструмената који се називају сферометри.

Код већине сферометара удубљење се одређује као разлика читања микрометарског завртња код мјерења сферне плохе и мјерења референтне равне плохе. Ми као референтну плоху можемо употријебити задњу страну огледала, уз увјет да смо је пажљиво избрусили тако да буде равна.

Једноставан сферометар можемо израдити и у кућној радиности од обичне дашчице, два ексера и обичног завртња. Скица овог микрометра приказана

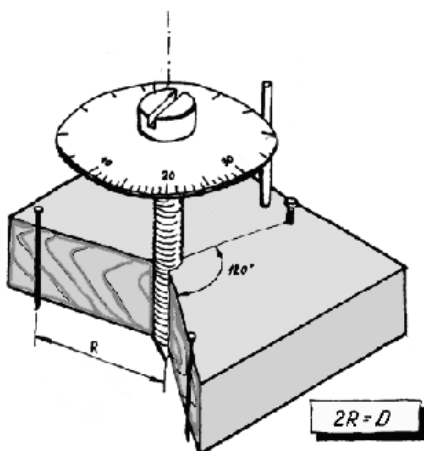
<sup>4</sup> Примјер: одредити различиту моћ за објективе астрономских дурбина пречника а) 30, б) 80 и в) 200  $mm$ :

а)  $P = 120/30 = 4"$   
 б)  $P = 120/80 = 1,5"$   
 в)  $P = 120/200 = 0,6"$

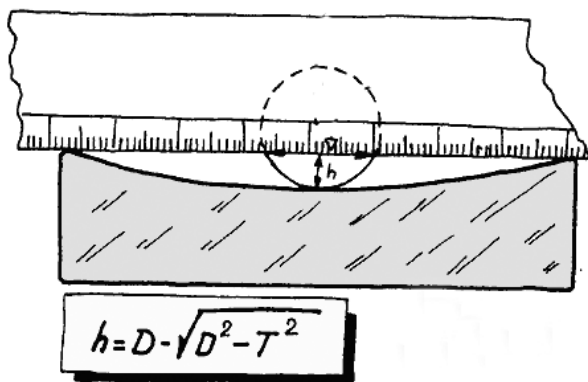


**Слика 2. Сферометар са чашицом**

је на (слици 3). Овај микрометар може бити доста точан ако рупу за вијак и рупице за ексере пробушимо на станој бушилици како би биле потпуно окомите на дашцицу. За ексеру бушимо рупице неколико десетинки *mm* мање од пречника ексера, а за вијак 0,5 *mm* мању од пречника завртња. Ако употребијемо вијак М6 који има ход од 1 *mm*, и на њега монтирамо картонски диск са са нацртаном подјелом круга на 20 дијелова (цртица сваких 18 *mm*), заокрет завртња за 1 подјелу одговараће ће помаку врха завртња од 0,05 *mm*. Врх завртња турпијом зашилимо, при чему је довољно да он буде смањен на пречник од око 1 *mm*, а исто вриједи и за врхове ексера. Добро је врхове ексера и завртња заоблити брушењем са финим брусним папиром како код мјерења не бисмо случајно западали стакло. Вијак намажемо сапуном и на силу га уврtimo у средњу рупу у дрвеној летвици. На овај начин добили смо матицу која нема зазора па ће мјерење бити точније. Као показивач можемо уз диск у летвицу забити мали ексер. Размак врхова ексера одаберемо тако да је за 1 до 2 *cm* мањи од пречника огледала и добит ћемо полупречник закривљености огледала. Овим једноставним сферометром мјери се тако да се без притиска прислони уз равну сферну плоху, па се



**Слика 3.**



**Слика 4. Кад није потребна велика прецизност можемо употребити новчић и равнало и на тај једноставан начин одредити закривљеност нашег огледала.**

лаганим закретањем завртња врх завртња доведе у додир са површином огледала. Код тога треба pazити да се микрометар држи тако да вијак стоји окомито на плоху. Сад се очита и запише положај завртња према скали на њему. Поступак мјерења сад поновимо на сферној плохи огледала, при чему не смијемо заборавити бројити и пуне окрете завртња јер сваки од њих додаје по 1 *mm* измјереном удубљењу. Удубљење сферне плохе разлика је положаја завртња код мјерења на сферној и на равnoj плохи. Ову вриједност уврстимо у формулу за полупречник закривљености сферног огледала, а умјесто пречника огледала уврстимо размак ексера микрометра.

### Стаклени диск - простор и алат

#### Стаклени диск као подлога за огледало

Поступак брушења претвара комад стакла у једну од најпрецизнијих творевина коју људска рука може израдити, у плоху са точношћу од неколико милијунтинки милиметра! Наношењем танког металног слоја ова површина постаје огледало које ћемо уградити у наш астрономски дурбин. Сва стаклена маса испод површине огледала има само једну једину улогу: да служи као носач танком металном слоју огледала и да чува његов облик неовисно о оптерећењима којима је огледало у току употребе изложено. Ако је кућиште огледала добро израђено, та оптерећења потичу само од властите тежине огледала. Како за вријеме проматрања астрономски дурбин мијења свој положај, мијења се и положај огледала према смјеру силе теже па се и оптерећење огледала настало због тежине материјала од којег је оно израђено, мијења. Дебљина материјала од којег је огледало израђено мора бити довољно велика да огледало под дјеловањем овог оптерећења не мијења примјетно свој облик. Старо правило је да се за подлогу огледала узима стаклени диск чија дебљина је једнака 1/6 његовог пречника. Искуство

и теоретски рачун деформације огледала због властите тежине показују међутим да је могуће израдити сасвим добра огледала и на двоструко тањим стакленим дисковима. Разлог овог одступања је тај што је правило 1/6 изведено из искустава професионалних оптичара који за обраду стакла користе стројеве. Оптерећења код стројне обраде знатно су већа него код ручног брушења, па је боље да је стакло дебље.

Поред тога груби рачуни показали су да је код подупирања огледало у три тачке потребна ова дебелина стакла. Ови рачуни нису узимали у обзир овисност потребне дебелине о пречнику и обично су рађени за стаклене дискове пречника 150 *mm*, јер је већина аматерских рефлектора тридесетих, четрдесетих и педесетих година, кад су се аматери масовније почели бавити властитом израдом огледала, била овог пречника. Нешто модерније и детаљније прорачуне извршио је познати руски оптичар Д. Максотов. Његови резултати сакупљени су у табели 1 и графички приказани на слици 5. Видимо да пријелаз са 3 на 6 тачака подупирања значајно смањује потребну дебелину огледала, док пријелаз на још већи број тачака много мање смањује потребну дебелину.

Овај прорачун узима у обзир само деформације огледала настале због његове властите тежине. То значи да кућиште огледала мора бити тако израђено да додатно не оптерећује огледало. Такођер, код израде огледала може доћи до различитих механичких оптерећења која могу деформирати стаклени диск и онемогућити постизање потребне тачности огледала. Због тога су прорачунате дебелине подлоге за пречнике испод 100 *mm* премалене, па је за огледало мања од 10 *mm* препоручљиво користити стакло дебелине од 8 *mm*, неовисно о пречнику огледала.

Минимална дебелина стакленог диска од којег се још може израдити добро огледало, овиси и о искуству брушача. Искусни аматери у стању су радити са знатно тањим дисковима од неискусних. Напримјер, Боб Кестнер, човјек који је израдио мноштво огледала пречника између 300 и 600 *mm*, препоручује слиједеће минималне дебелине стаклених дискова, у овом случају од Ругех стакла (табела 2).

Ове минималне дебелине препоручују се иску-

број тачака	пречник огледала (mm)					
	10	100	140	200	250	350
	дебљина огледала (mm)					
3	0.08	8	16	32	50	98
6		2.6	5.2	10.6	16.5	33
9					14	27

**Табела 1: Потребна дебелина стакленог диска за огледало астрономског дурбина у овисности о пречнику огледала и броју тачака у којима је оно подупрто.**

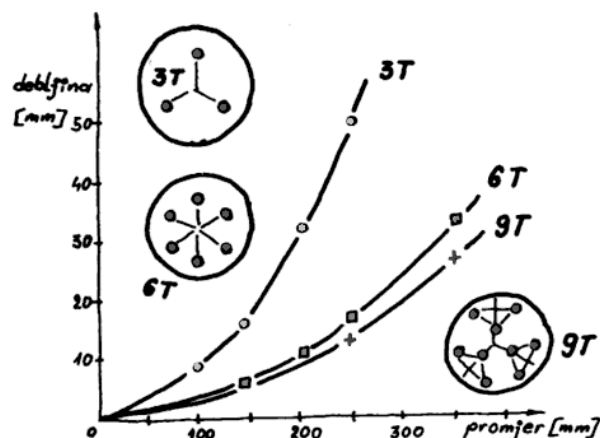
дебљина (mm)	пречник огледала (mm)	
	до 450	преко 450
	25	40

**Табела 2: Минималне дебелине Ругех стакла за израду огледала по препоруци Б. Кестнера.**

сним аматерима, дакле онима који су израдили неколико добрих огледала пречника 15 до 30 *cm*. Оним другима још увијек се препоручује да за своје прво огледало узму стаклени диск дебелине 1/8 до 1/6 пречника.

Осим механичких оптерећења огледало мијења свој облик и због промјена температуре. Стакло се, као и сваки други материјал, на топлини растеже. Ово растезање није велико, али је довољно да изазове промјене облика плохе огледала кад оно није свугдје исте температуре. Разлике у температури појединих дијелова огледала, нарочито између површине и средине, настају кад се вањска температура пребрзо мијења, тако да се температура огледала не стигне изједначити са температуром околине. Због тога се унутар стакленог диска јављају разлике у температури које доводе до неједнаког топлинског растезања појединих дијелова стакленог диска а тиме и до промјене облика огледала. Ова појава може код лоше израђеног астрономског дурбина и код наглих промјена температуре потпуно уништити квалитету слике.

Промјене облика огледала које настају због промјена температуре смањују се на два начина: израдом огледала из стакла са малим коефицијентом топлотног растезања и конструкцијом астрономског дурбина која омогућава брзо изједначавање температуре инструмента и околине. Посебно је важно да се инструмент не износи из топле просторије у хладну ноћ прије самог проматрања или да преко дана не буде изложен директном сунчевом свјетлу. Најбоље је инструмент сат-два прије почетка проматрања (најраније након заласка Сунца) поставити на мјесто проматрања. Ако је он монтиран у кућици или куполи, одмах након заласка Сунца треба је



**Слика 5. Тачке у којима се подупире огледало.**

стакло	топлотни коефицијент растезања (mm)
прозорско	$75 \times 10^{-7}$
pyrex (boral)	$33 \times 10^{-7}$
кварцно	$5,6 \times 10^{-7}$

**Табела 3: Коефицијенти растезања разних врста стакала.**

отворити да би се до почетка проматрања добро провјетрила. Добра циркулација зрака наине прилично убрзава изједначавање температуре.

Што се тиче стакла од којег се израђују огледала, оно је код нас одређено цијеном и могућношћу набавке. Аматери у развијеним земљама користе готово искључиво ватростално стакло познато под именом *Pyrex (Duran 50, Temrax, Boral)*. Многа одлична огледала израђена су међутим и од обичног прозорског стакла (*Mt. Wilson 100" !!!*), код чега су нарочито популарни стари бродски прозори јер су приступачне цијене и имају потребан облик и дебљину. Код нас се нажалост и прозорско стакло, а камоли бродски прозори, тешко набавља. Највећа дебљина прозорског стакла која се може наћи у слободној продаји је 10 mm, а врло ријетко се наиђе на нешто дебље (15 до 20 mm).

Стакло за израду астрономских огледала обично се лије у дискове или саћа потребне дебљине. Након ливења хлади се у посебним пећима врло полагано како би се напрезања у самом стаклу свела на најмању могућу мјеру. Овај поступак траје неколико дана до неколико мјесеци, овисно о дебљини стакла.

Код нас се нажалост овако опуштено стакло не може лако набавити. И дискови од *Borala*, ако успијете доћи до њих, и дебело прозорско стакло хладе се знатно брже, па нису тако добро опуштени као стакла за астрономску употребу. Срећом и ови материјали могу се користити без већих проблема за израду огледала, а израђена огледала у највећем броју случајева не показују никакав утјецај напрезања преосталих у материјалу. Међутим, може се догодити да су напрезања толика да од тако напрегнутог комада стакла није могуће изградити добро огледало. Ово се обично манифестира код полирања на тај начин да се плоха никако не може добро коригирати и да се њен облик мијења и самим стајањем. У том случају нема нам друге него огледало изградити на другом стакленом диску или сами опустити тај.

### Припрема стакленог диска за брушење огледала

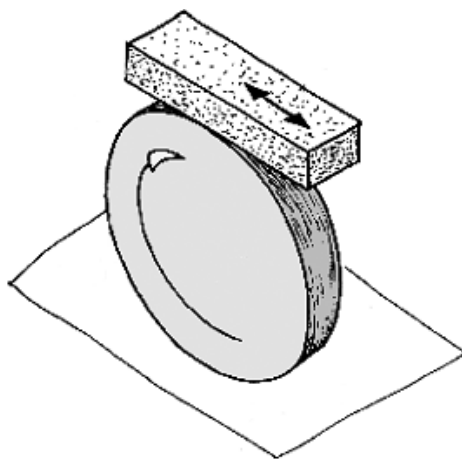
Прије него што приступимо брушењу огледала морамо стаклени диск припремити за брушење. Ако смо успјели набавити ливени или обрушени диск можемо одмах почети са равнањем горње и доње плохе диска. Ако пак нисмо те среће, па смо набавили

правокутни или неправилни комад дебелог стакла, морамо га прво претворити у округли диск. С обзиром на то да се ради о стаклу дебљине неколико центиметара, зарезивање обичним резачима за стакло и ломљење по зарезаној црти не долази у обзир, барем не у неискусним аматерским рукама. Овакви покушаји обично заврше ломом стакла па остајемо без драгоцијеног материјала. Да би дебело стакло пукло по зарезаној линији, поготово кад је она закривљена (кружница!) потребна је велика вјештина код зарезивања па се тог посла нерадо прихватају и искусни стаклорезаци. Па што онда направити?

Постоји ли у близини стаклорезац са пилом за стакло, можемо га замолити да нам стакло доведе у приближно кружни облик тако да пилом одреже кутеве квадратичног комада стакла. Потребно је на овај начин направити барем 15 до 30 резова како би облик изрезаног стакла био довољно близу кружном.

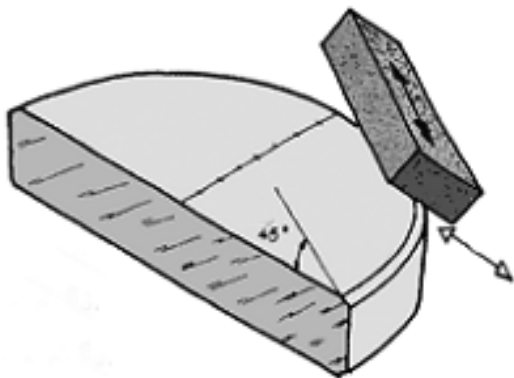
Преостале неравнине морамо уклонити ручним или стројним брушењем. За ручно брушење потребан нам је брусни камен (онај за ножеве) или стара брусна плоча од карборундума крупноће 120 или грубље. Обрезани комад стакла поставимо окомито на прикладну подлогу, набоље негдје вани јер је посао доста прљав. Као подлога може послужити свака чврста равна плоха висине обичног стола, на коју можемо ставити комад пластичне фолије да се не запрља.

Поред брусног камена потребна нам је посуда у којој ћемо влажити брусни камен и доста воде јер ћемо често морати прати и себе и стаклени диск. Стаклени диск поставимо окомито на подлогу и придржавамо га једном руком (слика 6). У другу руку узмемо брусни камен, добро га навлажимо и уз притисак брусимо обод стакленог диска, при чему стаклени диск полагано закрећемо како би цијели руб био једнолично избрушен. Код брушења помичемо камен приближно у равнини стакленог диска како би се смањила могућност одламања комадића стакла са рубова диска. Брусни камен



**Слика 6. Израда округлог стакленог диска одрезивањем углова и ручним брушењем**





**Слика 7. Израда фазета (закошених рубова) на стакленом диску**

мора стално бити влажан. Кад се све неравнине преостале од резања избрусе, провјеримо мјерењем неколико пречника да ли диск има кружни облик. Довољно је да одступања од кружног облика буду око 1% пречника диска или мања. Ако су већа, одредите који дијелови диска имају највећи пречник и брусите само њих, док се облик диска не доведе довољно близу кружном. Код овог посла најважније је стрпљење јер он може потрајати сатима. Како је уз то и физички доста напорно, потребно је се често одмарати. У литератури се под временом брушења увијек мисли на ефективно вријеме дакле на вријеме трајања самог брушења. Паузе нису узете у обзир, што не значи да нису рађене и то често. Тако напр. кад наиђете на податак да за полирање 500 *mm* огледала треба 8 до 12 сати, то не значи да се тај посао може обавити у једном дану. Прије споменути Боб Кестнер, полира тако велика огледала дневно два пута по 15 минута јер је такав рад врло напоран. Израда огледала мањих од 200 *mm* не захтијева велике физичке напоре, али и ту треба прекинути рад кад се осјети замор.

Индивидуално је да ли ће се паузе радити сваких 10 минута или сваки сат, што овиси о снази и припремљености појединца.

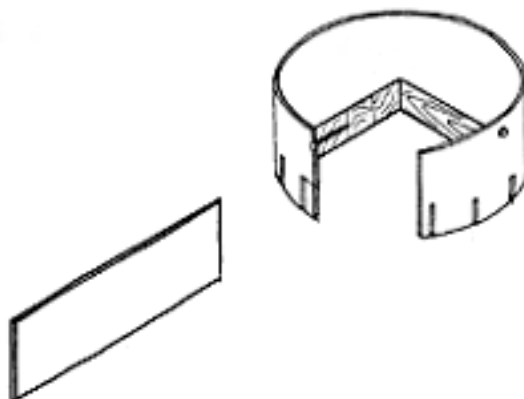
На крају можемо обод израђеног диска фино избрусити каменом финоће 220 или 400 како би се храпавост од брушења грубим каменом смањила, али овај поступак углавном има естетски карактер. Каменом исте финоће морамо израдити и фазете, или закошења рубова диска. Диск поставимо водоравно на подлогу и по цијелом ободу одбрусимо рубове диска под кутем од око 45 ступњева (слика 7) тако да они буду 2 до 3 *mm* широки. Овај поступак неопходан је како би се спријечило одламање комадића стакла са руба диска код брушења огледала. Кад год се фазета због брушења смањи испод 1 *mm*, потребно ју је поновно избрусити! Фазете израдите тако да брусним каменом одбрусите рубове диска под углом од око 45°. Камен стално влажите водом, и мичите само у

смјеру обода, а никако не окомито на њега.

Не постоји ли у близини стаклорезац, или је цијена његове услуге превисока, можемо стаклени диск изрезати сами, уз употребу тзв. крунског сврдла. Крунско сврдло (слика 8) је танка метална цијев са нарежаним рубом. Овај руб маже се смјесом воде и грубог карборундума. Крунско сврдло притишће се на стаклени комад који се реже и руком се лагано окреће, било стално у истом смјеру, било амо-тамо. На мјесту додира сврдла и стакла брусни прах ће убрзо изгребсти канал који се полагано продубљује. Поступак бушења врло је спор, али је његово трајање успоређиво са временом потребним да се грубо изрезани стаклени комад ручно дотјера у округли облик као што је већ описано.

Једноставно крунско сврдло може се врло једноставно израдити. Прво од комада даске или панел плоче дебљине 2 до 3 *cm* изрежемо дрвени диск чији пречник је једнак пречнику будућег огледала. Неравнине заостале од резања можемо обрусити брусним папиром, ако нам се чини да су превелике. Од жељезног или бакреног лима дебљине 0,5 до 1 *mm* изрежемо траку чија дужина је једнака опсегу дрвеног диска, а ширина 2 до 3 *cm* већа од збројене дебљине стакла и дрвеног диска<sup>5</sup>. Лимену траку омотамо око дрвеног диска, тако да се руб траке поклопи са рубом диска и прикуцамо је ексерима. Пилом зарежемо слободни руб лимене траке свака 2 до 3 *cm* 5 до 10 *mm* дубоко. Точност размака између сусједних резова је неважна па се овај посао може обавити и од ока. Исто тако је неважна дубина уреза и њихова окомитост на руб траке. Кад се код бушења трака толико истроши да се дубина уреза смањи на 2 до 3 *mm*, можемо их лако опет продубити пиљењем.

Прије бушења добро је на доњу страну стакла које бушимо смолом залијепити комад обичног прозорског стакла. Ово стакло спријечит ће одламање већих комада стакла кад крунско сврдло прореже свој пут кроз стакло које бушимо. Прије љепљења



**Слика 8. Крунско сврдло, „домаћа” израда**

<sup>5</sup> Напримјер, ако је стакло дебело 20 *mm* а дрвени диск 30 са пречником од 151 *mm*, димензије лимене траке ће бити 474×60/70 *mm*. (x = дебљина дрва + дебљина стакла + 2 до 3 *cm*)

морамо оба комада стакла лагано загријати на 50 до 60 ступњева целзијуса. Најбоље је да узмемо посуду довољно велику да оба комада стакла стану у њу. На дно посаде поставимо неколико дрвених летвица дебљине 2 до 3 *cm*, а на њих оба комада стакла.

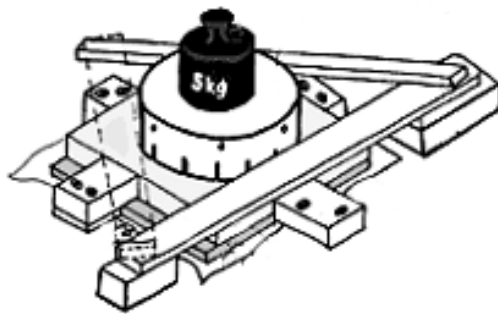
Посуду напунимо водом на собној температури тако да за 2 до 3 *cm* прекрива стакла. Све заједно поставимо на пећ и лагано загријавамо. Немамо ли термометар, можемо се послужити чињеницом да у воду температуре око 50 ступњева можемо на кратко умочити прст а да се не опечемо. Истовремено у некој малој посудици растопимо мало смоле (битумена) тако да буде текућа, али не преврућа.

Најбоље је узети неку стару конзерву, јер се посуда једном замрљана смолом врло тешко чисти, а стару конзерву можемо након употребе бацити. Кад су стакла загријана, извадимо их из воде и брзо осушимо брисањем. Не хватајте стакла голим рукама јер ћете се опећи, а стакло ће вјеројатно завршити у више комада на поду. За држање стакла употријебите кожне рукавице или сухе крпе.

Једно стакло поставимо на водоравну подлогу, најбоље на неколико слојева новинског папира који ће задржати вишак смоле. Подлога не смије бити метална да се стакло не би пренагло хладило.

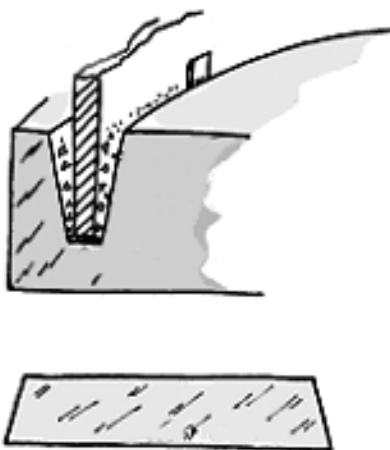
Растопљену смолу прелијемо кружним покретима преко стакла тако да покрије цијелу његову површину. Друго стакло спустимо на смолу и мичемо га амо тамо уз притисак да би се вишак смоле истиснуо између стакала. Кад због хлађења мицање постане претешко, оптеретимо горње стакло са неколико *kg* тега које поставимо на дрвену дашцицу и све заједно оставимо да се охлади, најбоље до сутрадан. Ако између стакала заостане неколико мјехурића зрака, то није толико битно. Због испаравања растопљене смоле и њеног крајње незгодног својства да се лако лијепи на све што дотакне, најбоље је да цијели овај поступак обавимо вани и у старој одјећи. Одјећу замрљану смолом практички је немогуће очистити.

На равну и чврсту подлогу поставите неколико слојева папира или најлон фолију. Најбоље је користити прије описани радни стол или даску. На тако припремљену подлогу поставите сљењена стакла тако да је оно које се буши (дебело стакло) горе. Стакло осигурајте од мицања, најбоље са три комадића дрвета прикуцана за подлогу. У некој посудици, напр. чашици од јогурта, приредите смјесу карборундума и воде тако да изгледа као житко блато. Вишак воде не смета јер ће карборундум убрзо сјести на дно посуде. За бушење је потребно узети груби карборундум, најбоље финоће 120, мада се може користити и 220. Грубљи карборундум буши брже, али оставља и знатно грубљу површину. Бушење финоћом већом од 220 врло је споро. Ако не вјерујете, покушајте! Жличicom заграбите овлажени корунд и нанесите га по ободу круноског сврдла. Сврдло прислоните на стакло и уз притисак окретајте лијево-десно. Бушити се може и окретањем



**Слика 9. Фиксирање положаја круноског сврдла**

у истом смјеру, али се покрети лијево-десно лакше изводе. Добро је сврдло оптеретити са неколико *kg* терета, код већих пречника и са више од 10, како би се уклонила потреба за сталним притискањем сврдла које замара много више од самог окретања сврдла. Звук брушења, испочетка врло гласан, убрзо ће се стишати што је знак да се брусни прах уситнио. Кад се то догоди, надигните круноско сврдло и нанесите свјежи брусни прах. Можете га нанијети и на стакло по трагу који је оставило круноско сврдло. С времена на вријеме, кад се на стаклу накупи много брусног праха, оперите сврдло и стакло чистом водом па онда наставите брушење. У почетку треба пазити да се сврдло увијек окреће по истом трагу, док си не уреже канал који ће га водити код даљњег бушења. Ово неки пута баш не полази од руке. У том случају можете си помоћи тако да сврдло фиксирате са три летвице (слика 9). Водите рачуна о томе да се сврдло даде лагано окретати. Ако је сврдло на овај начин фиксирано, можете на њега причврстити и дрвену ручку уз чију помоћ ћете га лакше окретати. Не заборавите оптеретити сврдло! Већ након неколико минута бушења сврдло ће у стаклу урезати плитки канал, но док прође кроз



**Слика 10. Облик стакленог диска изрезаног крунским сврдлом**



цијелу дебљину стакла потребно је неколико сати рада, неки пута и много дуже ако је стакло дебело, а сврдло великог пречника. Стакло дебело 10 *mm* може се сврдлом пречника 100 *mm* уз карборундм финоће #120 пробушити за сат до два рада али за дебље стакло и веће дискове, поготово ако радите са финијим брусним прахом требат ће много више времена. Наоружајте се дакле стрпљењем!

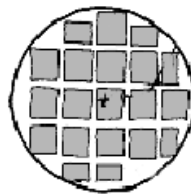
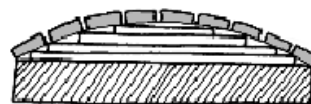
Стаклени диск изрезан на овај начин бит ће готово савршено округао, али благо купастог облика. Купаст облик потјече од тога да за се вријеме бушења лагано бруре и зидови избушеног канала а не само његово дно (слика 10) па као крајњи резултат добивамо благо купаст диск, чији је горњи пречник око 1 *mm* мањи од доњег. Овакав благи купаст облик уопће није битан за будуће огледало па га не морамо посебно исправљати.

Кад сврдло прође кроз цијелу дебљину горњег стакла и то на свим тачкама обода диска (сврдло може отићи мало косо или стакло може бити неједнако дебело) наставите бушење док се сврдло мало не зареже у доње стакло. Желите ли бити опрезни, пробушите и доње стакло кроз (зато је добро да оно буде што тање), али ударите ли га дрвеним чекићем, неће се догодити ништа лоше и оно ће највјеројатније пукнути по забрушеном трагу сврдла. У сваком случају, горњи диск неће бити оштећен (пазите да вам код избијања дрвеним чекићем не падне на под!). Да бисте одвојили танко стакло од дебелог, дискове опет полагањо загријте, овај пута не нешто вишу температуру, па притиском на страну склизните танко стакло са дебелог (рукавице!). Одвојене дискове оставите да се полагањо охладје на зраку. Остатак смоле можете опрати бензином, алкохолом или ацетоном, већ према жељи и отапалу које вам је на располагању. Због испаравања и ово прање најбоље је направити вани.

### Алат за брушење

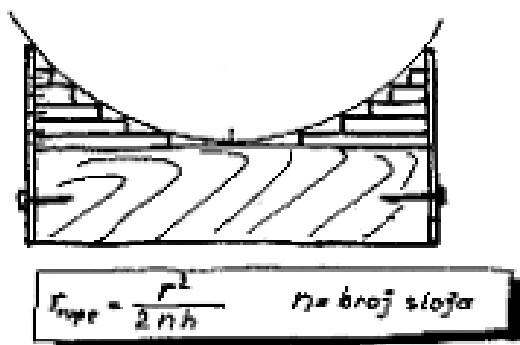
Да бисмо могли избрусити огледало, осим стакленог диска за будуће огледало, потребан нам је и алат на којем ћемо брусити. Као алат обично се користи други стаклени диск исте дебљине и пречника као и онај за огледало. Добро је да оба диска буду од исте врсте стакла, али то није нужно. Често се због цијене за алат користи диск од нешто тањег прозорског стакла.

Како је код нас свака врста стакла врло скупа и тешко се долази до дебљег стакла, може се догодити да нам набавка два једнака диска буде превелик проблем. У том случају можемо без икаквих проблема сами израдити нешто другачији алат. Овај алат у принципу се састоји од крутог диска на који се смолом или неким другим лијепилом, најчешће двокомпонентним епоксидним лијепилом залијепи прозорско стакло дебљине 6 до 10 *mm*. Код малих удубљења огледала подлога може бити равна, но ако



Слика 11. Изглед подлоге и лијепљење стаклених квадратића на њу

и огледало има мали полупречник закривљености, па му је удубљење готово једнако дебљини наљепљеног стакла, или је чак и веће, подлога такођер мора бити закривљена, да код брушења не бисмо потпуно потрошили горњу стаклену плочу. Ако је подлога закривљена, стаклена плоча која се на њу лијепи не може бити од једног комада, јер је не можемо прилагодити закривљености подлоге. Умјесто тога, на подлогу се лијепе квадратићи стакла величине 20×20 до 30×30 *mm*, са размаком од 3 до 5 *mm* између појединих квадратића. Код лијепљења квадратића креће се из средине подлоге и то тако да се први квадратић залијепи тако да се средина подлоге налази испод једног угла квадратића, а никако не испод његове средине. На овај начин избјегава се појава концентричних зона на огледалу, које је касније врло тешко уклонити. Као подлога на коју се лијепи стакло може се употријебити метални диск или диск изливен од гипса или цемента. Дебљина металног диска треба бити једнака или нешто мања од дебљине стакленог диска огледала док је код гипсаног или цементног диска боље да су нешто дебљи. Диск од гипса или цемента врло је једноставно израдити. Од дрвета изрежете диск потребног пречника и по његовом ободу намотајте



Слика 12. Израда закривљене подлоге за алат за брушење

неколико слојева дебљег папира тако да добијете здјелу потребне дубине. Папир учврстите ексерима, љепљењем или гумицом. Здјелу изнутра добро намажите танким слојем вазелина или масти да се гипс (цемент) не прими. Потребну количину гипса измијешајте са водом и улијте у калуп. Ако радите са цементом, можете га помијешати са ситним пијеском у односу 1:1. Кад се смјеса у калупу толико стврдне да се калуп може уклонити, одвојите изливени диск од калупа и замојтате га у неколико слојева влажне крпе. Све заједно ставите у најлон врећу да се влага не изгуби, и оставите да одлежи неколико дана, након чега диск можете користити за израду подлоге. Да не би упијао воду (посебно гипс) можете га прелакирати неком бојом. Најбоља је боја за бетон, али се могу користити и безбојни нитролакови за дрво или боје за метал. Ако диск мора имати закривљену површину, израда је нешто сложенија. Ова површина не мора бити превише точна, битно ја само да отприлике слиједи потребну закривљеност.

Код металног диска се најчешће токаре степенице висине око 1 mm, а код гипсаног диска ове степенице можемо једноставно излити тако да на дно калупа сложимо неколико слојева масног картона с рупама потребног пречника. Потребне пречнике рупа (или истокарених степеница) лако израчунамо уз помоћ формуле за удубљење огледала. Пречник плохе сад постаје пречник рупе а удубљење дебљина картона или висина степенице.

### Равнање горње и доње површине огледала

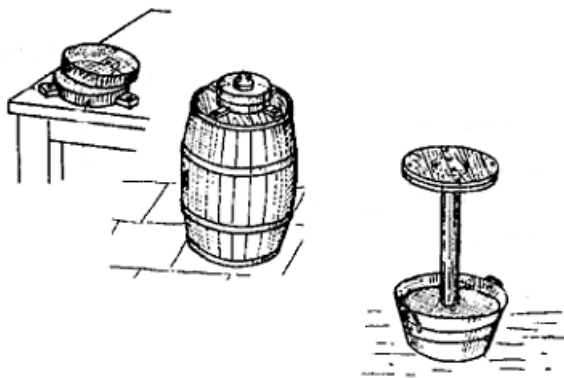
Први корак у изради огледала је равнање горње и доње површине стакленог диска. Код горње плоче, а то је она на којој ћемо израдити само огледало, довољно је да се уклоне све неравнине веће од неколико десетинки милиметра. Доња плоча може на себи имати удубине или оштећења, али се мора избрусити тако да буде потпуно равна, јер ће на њој лежати огледало и код израде и код рада у телескопу. Да бисмо поравнали површине огледала послужит ће мо се једноставном али ефикасном методом. Знамо да код брушења горњи диск (огледало) постаје удубљен, а доњи (алат) испупчен. Ако код брушења у правилним временским размацима замјењујемо горњи и доњи диск, оба диска постат ће приближно равна. Да би се осигурала апсолутна равнота овако брушених плоча, користи се и додатна, трећа, плоча. Наиме, ако ове три плоче у потпуности одговарају једна другој у свим могућим комбинацијама, оне могу бити само равне плоче. Кад плоче не би биле равне, неке њихове комбинације не би одговарале једна другој, односно код тих комбинација се плоче не би међусобно додиривале у свим тачкама. Поступак брушења равних плоча овом методом врло је једноставан. Прво одаберемо вријеме брушења једне плоче на другој, на примјер 5 или 10 минута. По истеку тог времена замијенимо плоче и опет

брусимо исто вријеме. Након тога једну од плоча уклонимо, и умјесто ње узмемо трећу плочу, па поновимо цијели поступак. Битно је код оваквог рада да се направе све комбинације, којих има 6. Означимо ли плоче словима А, В и С, можемо ове комбинације овако написати: бруси А на В, бруси В на С, бруси С на А, бруси А на С, бруси С на В, бруси В на А и бруси А на В. Ове комбинације могу се извести било којим редом, али је важно да се све изведу исти број пута. Најбоље је да их напишемо на комад папира, и да након завршеног брушења једне комбинације ту комбинацију прекрижимо. Кад смо тако извели свих 6 комбинација, укупно вријеме брушења једнако је шестоструком времену брушења једне комбинације, а сваки диск брушен је у 4 од 6 комбинација.

Ако су наши дискови од прозорског стакла, које је само по себи врло равно, равнање плоха можемо извести са корундом финоће #320 или чак #600, при чему ће вријеме брушења једне комбинације од 5 минута бити сасвим довољно. Ако је пак диск за огледало од Boral стакла које је прешано у калуп, његове површине најчешће имају по себи неравнине заостале од прешања које могу бити веће од милиметра. У том случају употребићемо најгрубљи корунд који имамо и њиме брусити све док се бар на једној плохи диска огледала не уклоне све неравнине. Ово може потрајати знатно дуже, па се за вријеме брушења једне комбинације може узети 10 минута. Највјеројатније ће требати неколико пута поновити све комбинације. Кад су неравнине уклоњене, потребно је доњу плоху поравнати са финијим брусним прахом, барем финоће #220. Ако смо почели брусити са врло грубим карборундумом (#40 или #70), бит ће прво потребно извршити поравнавање са карборундумом #120, па тек онда са #220. Не заборавите преконтролирати фазете!

### Стол за брушење и полирање

За брушење и полирање морамо имати одговарајућу радну површину. Ова површина мора бити равна и стабилна како се код брушења и полирања огледало не би мицало. Висина јој треба бити таква да, кад се на њој налази огледало припремљено за брушење, руке положене на огледало буду негдје у висини пупка. Плоча може бити нижа али никако не много виша. Ако је плоча нижа, морат ћемо се више или мање нагнути над огледало чиме постижемо већи притисак на њега, али убрзо долази до замора у леђима. Ако је плоча знатно виша, потребан притисак бит ће тешко одржавати и врло брзо ће нас почети бољети руке. Ту си можемо мало помоћи тако да на огледало ставимо утег који замјењује притисак руку. Код мањих огледала (пречника до око 150 mm) можемо радити и у сједећем положају. У том случају радна подлога може бити и обичан стол на који ћемо поставити прикладну радну



**Слика 13. Радни стол**

плочу (напр. радну даску описану у наставку овог текста). Поред тога радна плоча мора се лако чистити и треба бити у просторији која се такођер може лако очистити. Једини захтјев који је потребно задовољити је да у тој просторији не буде претопло, а никако не треба полирати на директном Сунцу.

Полирање захтијева температуру између 18 и 25 ступњева Целзијуса. Поступак брушења није тако осјетљив на температуру околине па се брусити може и на љетном сунцу, наравно док вама не постане претопло. Ако је прехладно, кочит ће вам се прсти па се зими ипак не може радити на отвореном. За овакав рад најбоље су подрумске просторије јер је у њима кроз цијелу годину стална температура, што је важно код тестирања и полирања. Међутим, сасвим се добро може радити и у гаражама, шупама, кухињама или купаоницама. Код рада у стану треба пазити на чистоћу да вас укућани не би избацили из стана или вам забранили даљњи рад.

Поступак рада захтијева да се горњи диск лагано окреће у једном, а доњи у другом смјеру. Обично се доњи диск причврсти на подлогу, па брусач хода око њега. Горњи диск је слободан и с њиме се врше покрети брушења и потребно окретање у другом смјеру. Радна плоча која омогућава ходање око ње обично је монтирана на малом столићу или треношцу (слика 13) који можемо и сами израдити. Амерички аматери врло радо у ову сврху користе бачве за нафту. Њихова предност је да су одговарајуће висине, да се могу донијети на жељено мјесто и онда напунити водом да би биле стабилне. Међутим, ако немамо мјеста за треножац или бачву, можемо се послужити било којом равном подлогом потребне висине, напр. столом или чак стројем за прање рубља. Пошто у том случају не можемо ходати око алата, он се мора окретати. Проблем се рјешава израдом даске за брушење која се састоји од три дијела: подлоге, која се причврсти на радну плочу, горње даске на коју се причвршћује алат и завртња који повезује ове двије плоче и око којег се горња плоча може окретати. Алат се на радну плочу, без обзира да

ли се ради о радној дасци или цијелом столићу, причврсти на исти начин: са три дрвене дашчице прикуцане на горњу даску. Да би алат могли лако уклонити, једна од тих дашчица је мало одмакнута од алата, а алат се углављује малим дрвеним клином. Клин се треба утиснути само толико да се алат код рада не миче. Ако је прејако утиснут, може доћи до деформација алата, а као посљедица тога и до неправилне плоче огледала. У већини случајева довољно је да се клин утисне руком, а ако то није довољно употрејбите малени чекић и врло лагане ударце.

### Опис поступка брушења

Брушење огледала одвија се у неколико фаза. У првој фази дуби се у стаклу удубина да би се добила потребна закривљеност огледала. Овај поступак често пута се назива грубо брушење. Кад је постигнута жељена закривљеност на цијелој површини огледала, приступа се фином брушењу. Поступком финог брушења смањују се неравнине настале код грубог брушења и истовремено се плоча све више приближава сфери. Завршни дио финог брушења припрема плочу за полирање. Полирање даје плочи огледала способност рефлексije свјетла. При крају полирања, кад су уклоњени сви, па и најфинији трагови брушења, приступа се оптичкој контроли и корекцији плоче огледала како би јој се дао потребан облик. За израду огледала потребно је набавити стаклени диск од којег ћемо израдити огледало, алат на којем ћемо брусити огледало (обично други стаклени диск), брусне прахове различитих финоћа, полирни прах и смолу за израду матрице за полирање. Поред тога потребно је припремити простор у којем ћемо радити и израдити једноставне уређаје за контролу процеса брушења и полирања.

За само брушење и полирање потребан нам је мали радни стол или сталак на којем можемо не-сметано радити, а сада дајемо кратки попис нај-нужнијих ствари, потребних за израду огледала пречника 15 cm.

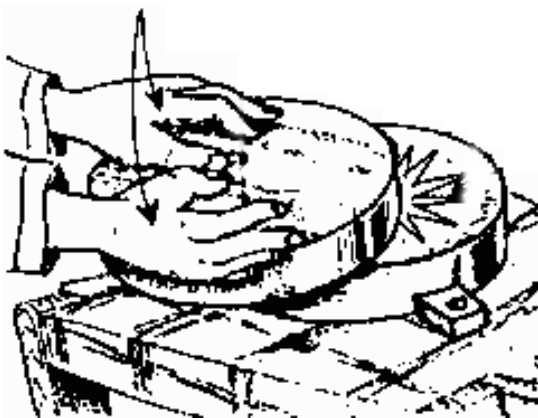
- стаклени диск дебљине 15 до 25 mm
- алат за брушење, најбоље још један стаклени диск истих димензија
- карборундум финоће #70 до #120 око 500 gr
- карборундум финоће #220 око 200 gr
- брусни прах (карборундум, корунд или сл.) финоће #320 око 100 gr
- брусни прах финоће #400 до #600 око 50 gr
- брусни прах финоће #800 до #1000 око 50 gr
- финији брусни прах, ако га можемо набавити 20 gr
- цериј оксид за полирање 100 gr
- смола за израду матрице 1 kg
- калофониј 1 kg
- пчелињи восак 100 gr

## Основни покрети код брушења

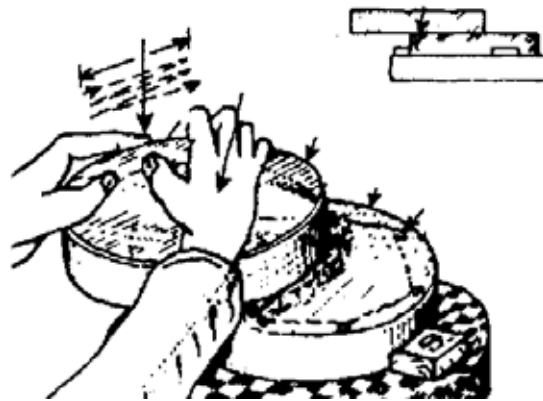
Поступак брушења састоји се у томе да горњи диск (будуће огледало) мичемо уз притисак алатом по доњем диску (алату) који је намазан танким слојем овлаженог брусног праха. Овисно о начину извођења покрета горњи диск се брже или спорије дуби при чему облик удубине овиси о покретима код брушења. Због тога постоји неколико различитих врста покрета са различитим утјецајем на облик и продубљивање удубине на огледалу. Да ствари што тачније прикажемо, послужит ћемо се графичким приказом извођења покрета.

Код оваквих скица црта се поглед на алат одозго и на слици алата (круг) скицира се пут који код извођења покрета прелази средиште огледала. Код основног покрета код брушења (слика 14). Огледало се поставља на алат центрично. На огледало лагано наслонимо обје руке и уз умјерени притисак мичемо огледало напријед-назад тако да средиште огледала прелази преко средишта алата. Отуда је покрет добио име централни или попречни, јер средиште огледала путује преко средишта алата. Дужина покрета изржава се у дијеловима пречника огледала, тако да напр. покрети од  $1/2$  пречника значе да код мицања огледала напријед-назад његово средиште превађује пут отприлике једнак половини пречника огледала. Кад на овај начин направимо 6 до 10 покрета напријед-назад, заокренемо огледало за неки кут (рецимо око 30 до 40 ступњева) удесно, а алат за нешто мањи кут (10 до 15 ступњева) улијево, односно, ако је алат фиксиран, помакнемо се за тај кут око њега, па опет направимо 6 до 10 покрета, итд. Овдје је **важно** истакнути да нити дужину покрета, нити ове кутеве закретања не смијемо изводити прецизно. Наиме, покушај да они буду увијек апсолутно једнаки доводе до периодичких одступања плоче огледала од сферног облика што се касније тешко или никако не може исправити. Важно је да просјечна дужина покрета и просјечни кутеви закретања буду слични наведеним вриједностима.

Погледајмо сад мало подробније што се код оваквог покрета дешава са огледалом и алатом. У



Слика 14. Основни положај приликом брушења



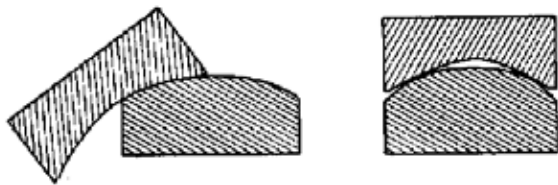
Слика 15. Пут средишта огледала по алату приликом брушења

тренутку кад су огледало и алат точно један на другоме, подједнако су оптерећене све тачке (слика 15) и алата и огледала. Међутим, кад се огледало помакне у крајњи положај површина додира између огледала и алата се смањује па се оптерећење на њој повећава. Како је брзина брушења овисна о оптерећењу, јасно је да ће се код овог положаја више трошити дијелови алата и огледала који су у том трену у додиру. Видимо да су то код алата рубни, а код огледала средишњи дијелови диска. На тај начин огледало постаје удубљено, а алат испупчен. Настала плоча је приближно сферног облика зато јер код плоча чији облик није сферан долази до контакта само у неким тачкама плоче, па се ти дијелови плоче знатно брже троше и облик се приближава сферном.

Једино двије сферне плоче истог полупречника закривљености можемо мицати једну по другој, а да при томе оне увијек буду у свим својим тачкама у контакту. Овај једноставан геометријски принцип и овисност брзине брушења о притиску омогућавају нам да на врло једноставан начин израдим сферне плоче врло велике прецизности.

Код тога стално закретање алата и огледала служи томе да се и алат и огледало једнако брсе по свим својим пречницима. Кад бисмо изоставили ово закретање, добили бисмо умјесто сферне, цилиндричну плочу.

Што је централни потез дужи, брже се ствара удубина на огледалу. Међутим, код покрета дужих од  $2/3$  пречника може доћи до одвајања (клацкања) огледала од алата што се по сваку цијену мора избјећи јер овакво клацкање због наглог оптерећења руба алата обично доводи до одламања комадића стакла с алата и парања плоче огледала. Због тога се централни покрети дужи од око  $2/3$  пречника не користе. Врло брзо се стекне осјећај код које дужине покрета огледало постаје нестабилно па брушач аутоматски скрати покрете да избјегне клацкање огледала. Поред тога, код дугих централних покрета (ово су покрети дужине  $1/2$  до  $2/3$  пречника) плоча огледала и плоча алата не добијају сферни већ хиперболични облик (слика 16). Хиперболичне плоче врло брзо и лако доводе се у сферни облик краћим



**Слика 16. Сферна (лево) и хиперболична површина (десно)**

централним потезима (потезима дужине око  $1/4$  пречника).

Због свега овог наведеног, дуги потези користе се код грубог брушења да би се што прије ископала потребна удубина огледала. Кад је удубина ископана, плоче се доведу у сферни облик краћим потезима који се онда даље користе и код финог брушења.

Код огледала већих пречника „копање” удубине централним потезима врло је споро, без обзира на дужину потеза. Због тога се често користи тзв. форсирано брушење које се састоји од тога да се руб огледала миче по тетивама алата, врло близу његовом рубу. Овакви потези врло брзо брису удубину огледала, али је добивени облик изразито неправилан, обично степенаст.

Ако се користе форсирани потези, прелази се на дуге централне потезе кад удубина скоро досегне потребну вриједност, па након неког времена и на кратке централне потезе да би се плоха довела у сферни облик. Још један недостатак централних потеза је тај да неки пута могу довести до појаве зона на огледалу које су обично последица преправилног понављања покрета брушења. Да се то избјегне може се користити „W” потез (слика 17).

Код овог потеза, који се обично користи за полирање и за фино брушење, можемо мијењати дужину потеза и његову ширину. Типичан W потез има дужину између  $1/4$  и  $1/3$  пречника огледала и ширину око  $1/5$  пречника огледала. Варирањем дужине и ширине W потеза, мјеста на којем се он изводи и мјеста притиска на огледалу постиже се већина корекција код завршног полирања, но о томе више касније.

Рецимо још на крају само то да, у случају да смо



**Слика 17. W потез**

претјерали с „копањем” и добили превелику удубину на огледалу, грешку врло једноставно можемо исправити тако да на кратко замијенимо мјеста алата и огледала. Дакле огледало дође, а алат горе. Сад ће се више трошити руб огледала и средина алата па ће се удубина смањити. Користите краће W или централне потезе и чешће контролирајте удубину и ускоро ће све бити у реду.

### Грубо брушење „копање”

Сврха грубог брушења је да се што прије и са што мање напора у стакленом диску изради удубина приближно сферног облика и потребне дубине. Због тога се у овој фази за рад користи најгрубљи карборундум. Грубоћа карборундума са којим ћемо радити овиси о величини стакленог диска и удубини коју је потребно направити. Ако је стаклени диск велик или је удубина дубока (рецимо више од неколико *mm*) грубо брушење започиње се карборундумом финоће #70 или чак #40. Код дискова пречника око 15 *cm* уз дубине плоче од 1 до 2 *mm*, овај карборундум је прегруб па је боље грубо брушење започети са карборундумом финоће #120. Код огледала мањег пречника и кад су удубине мање од 1 *mm*, може се почети брусити и са карборундумом финоће #220. Наиме, морамо рачунати да нам за сваку фракцију (тј. финоћу брусног праха) треба око 1 до 2 сата брушења да бисмо уклонили трагове брушења претходном, грубљом фракцијом. Ако је удубина мала, исплати се потрошити нешто више времена на грубо брушење фином фракцијом јер тада отпада тих сат до два брушења које бисмо ионако том фракцијом морали одрадити да уклонимо трагове грубље фракције.

Овдје је искуство најбољи водич. Због тога је увијек добро водити дневник брушења у који се записују најбитинији подаци о поступку брушења: фракција, потези, вријеме брушења и постигнути резултати (напр. удубљење огледала по завршетку рада).

Код грубог брушења користе се или дуги централни потези или форсирани потези. Форсирани потези обично се користе код већих огледала (пречника 15 *cm* и више) и кад су удубине веће од неколико *mm*. Брусни прах помијешамо са водом тако да добије облик блата или пасте. Груби прах готово одмах се слегне на дно посуде, а ако изнад њега застане нешто воде, не смета. Жлицом заграбимо прах и нанесемо га преко цијеле плоче алата са неколико потеза. Огледало поставимо одозго, и са два три лагана кружна потеза распоредимо брусни прах преко цијеле плоче огледала једнолико. Тек тада започињемо са брушењем. Груби брусни прах брзо се уситњава па га често треба додавати. Код додавања одвојимо стаклене дискове и као и прије нанесемо нови прах на алат. Прах се додаје кад се звук брушења утиша, што је сигуран знак да се прах уситнио. С времена на вријеме треба огледало и алат

опрати водом да се уклони стари прах и смрвљено стакло. Отприлике сваких пола сата, а пред крај грубог брушења и чешће, треба контролирати удубину огледала.

Пред крај грубог брушења морају се форсирани потези замијенити централним да би се облик плоче приближио сфери. Користимо нешто краће централне потезе ( $1/2$  до  $1/3$  пречника) да би се поправио облик плоче коју брусимо. Грубо брушење прекида се кад је удубина нешто мања од потребне. Врло је тешко рећи колико је то нешто мање јер ће се удубина повећавати и код финог брушења, али много спорије. Код огледала уобичајеног  $F$  броја (између  $F/5$  и  $F/10$ ) грубо брушење треба прекинути кад удубина буде 1 до 2 десетинке  $mm$  мања од потребне. По завршетку грубог брушења морамо добро опрати огледало, алат и радни стол. Заостане ли код тога ма и једно зрно грубог брусног праха, оно може касније доћи између огледала и алата и уз шкрипу изгребсти огледало. У том случају преостаје нам само да фино брушење поновимо од почетка, а то може значити десетак сати рада који се могао избјећи пажљивијим прањем и чишћењем.

## Фино брушење

Поступком финог брушења уклањају се велике неравнине на стаклу које су последица брушења грубим брусним прахом код израде удубине. Уз то се истовремено полупречник закривљености доводи на жељену вриједност. Догоди ли се да он постане премален (удубина превелика) не треба очајавати. Довољно је замијенити мјеста алата и огледала (дакле алат горе а огледало доље) и ускоро ће се удубина почети смањивати. Већ код финоће брусног праха од #600 удубина се практички не мијења, барем не толико да би нас то морало забрињавати. Једина последица полупречника закривљености који за неколико  $cm$  одступа од оног који желимо израдити је код Њутновог типа дурбина промјена жижне даљине односно дужине цијеви. Због тога је резање цијеви на мјеру добро оставити до тренутка кад огледало буде довршено јер ћемо тек тада знати његову тачну жижну даљину. Код финог брушења користе се краћи централни потези ( $1/4$  до  $1/3$  пречника) или  $W$  потези исте дужине и ширине око 2  $cm$ . Неке битније разлике међу њима нема, осим што  $W$  потези помажу избјегавању зона код брусача који преточно понављају своје покрете. Но вратимо се фином брушењу. По завршетку грубог брушења прелазимо на брушење са првом финијом фракцијом брусног праха. Напримјер, ако смо грубо брусиле са прахом финоће #120, сад брушење настављамо са прахом финоће #220 па #400 итд. За сваку фракцију треба потрошити око 1 сат рада да би се уклонили трагови брушења претходном фракцијом. Ако нисмо сигурни да су сви трагови уклоњени, боље је још мало продужити брушење. Код прве двије три фракције финоћу површине лако оцијенимо

проматрањем осушене и добро освијетљене плоче огледала малим повећалом. Цијела површина мора изгледати једнако, без већих уочљивих оштећења и огреботина. Обратите пажњу на руб огледала јер се он буси најспорије. Удубине (точкице или пикњице како се често називају) заостале од грубог брушења код полирања се појављују из ничега и више се не могу уклонити. Кад се огледало метализира истичу се као сивило плоче, а свјетло распршено на њима квари контраст слике и испире детаље. Зато будите врло пажљиви код процјењивања да ли су трагови претходне фракције уклоњени или нису. Многи аматери, посебно они неискусни, не желе рискирати па са сваком финоћом брусног праха брусе два пута дуже него што је то овдје препоручено, дакле око два сата по фракцији. На тај су начин сигурни да су сви трагови брушења претходном фракцијом уклоњени. Жели ли ко избјећи овај додатни рад, можемо си помоћи тако да два комадића стакла, међусобно брусимо неколико минута само оном фракцијом праха са којом тренутно радимо. Можемо си тако направити и цијелу серију стакалаца међусобно брушених само са једном фракцијом брусног праха, од оне најгрубље, до оне најфиније. Сад можемо успоређивати изглед плоче огледала и овако избрушеног стакалаца. Изгледа ли плоча огледала грубље, значи да трагови од брушења грубљом фракцијом још нису уклоњени, па брушење још треба наставити. Овдје је доста важно да стакалаца буду од исте врсте стакла као и огледало. *Boral* брушен истим брусним прахом као и прозорско стакло изгледа финије од њега јер је тврђи па нас то може заварати. Поновимо још једном: ако нисмо сигурни да су сви трагови брушења претходном фракцијом уклоњени, наставимо брушење све док не будемо потпуно сигурни да су сви трагови заиста уклоњени. Пазите на руб огледала!

## Израда матрице за полирање

Кад је фино брушење завршено, можемо приступити полирању огледала. Док смо код брушења између двије стаклене плоче наносили све финији и финији брусни прах и тако смањивали неравнине површине огледала и алата, код полирања поступак је нешто другачији. Код израде прецизних оптичких плоча као алат за полирање готово искључиво се користи смола. Смола је наине врло густа текућина која у току полирања мијења свој облик заједно са плохом огледала и тако јој се стално прилагођава. У иноземству се могу набавити већ готове смоле за полирање, но у нашој земљи то још није могуће, барем не у малим количинама, па ћемо смолу морати приредити сами. Готово свака књига о изради огледала износи и покоји „свој” рецепт за смолу за полирање, но главни састојци свих тих рецепата углавном су исти. За наше огледало потребно је око  $1/2$  до 1  $kg$  смоле за полирање (боље нешто више јер се лако може догодити да прву матрицу оштетимо

тип	калафониј %	восак %	битумен %	радна темп.
P10	70	29	30	35
P9,5	60	39	25	30
P9	50	49	20	25
P8,5	38	61	18	22
P8	15	84	15	20

**Табела 4: Састав смола за полирање за поједине радне температуре. Постоји се односе на тежину појединих састојака.**

па ћемо морати израдити нову). Набавимо зато слиједеће састојке: битумен око 1 kg, калафониј око 1 kg, пчелињи восак око 50 до 100 g.

Битумен мора бити тврд. Немојте куповати текући битумен који се користи за премазивање подова, аутомобила и сл. већ крути битумен који се мора топити на ватри. Врло добар је битумен за љепљење кровних лепенки, али га је тешко купити у количинама мањим од 25 kg. Постоји ли у вашој близини неко градилиште, покушајте замолити раднике да вам дају комадић те, за вас драгоцјене, црне масе. Врло је добра и црна столарска смола која се може добити и у малим количинама али је она знатно скупља од битумена.

Смолу за полирање добит ћемо тако да у некој старој посуди растопимо битумен, па му затим додајемо калафониј док смола не постане довољно тврда, како се то у оптичком жаргону каже. Тврдоћу можемо отприлике одредити тако да мању количину растопљене смоле охладимо текућом водом и онда у њу покушамо утиснути нокат. Смола је отприлике добре тврдоће кад нокат тешко улази у њу. Ако иде лагано, премекана је и треба додати још калофонија, или је отврднути дуготрајним кухањем. Ако нокат и код јаког притиска оставља само плитак траг, смола је претвда и треба је омекшати додавањем битумена. Не помаже ли ни то (што је прилично невјеројатно) можете додати неколико капи терпентина, но опрезно, јер и мала количина терпентина јако омекша смолу.

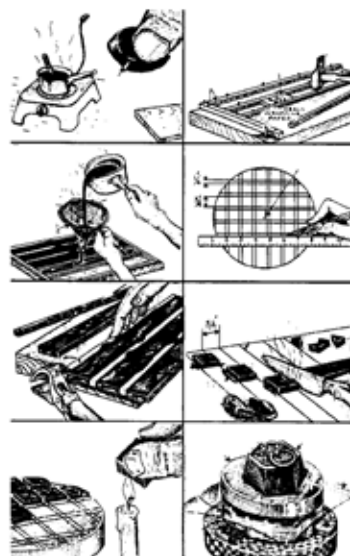
Тврдоћа смоле јако овиси о вањској температури. Са порастом температуре смола нагло постаје мекша, тако да смола која је добра за рад на собној температури (око 20 ступњева), може већ код 24 или 25 ступњева бити премекана, а испод 18 претврда. У табели 4 дати су рецепти за смолу за полирање.

Кад смо „скухали” смолу жељене тврдоће, можемо приступити изради матрице за полирање. Матрицу за полирање чини слој смоле дебео 3 до 8 mm, који својом закривљеношћу слиједи облик плоче огледала.

Обично се овај слој смоле наноси на алат за брушење јер он већ има потребну закривљеност подлоге, али се као подлога за смолу може користити и други комад стакла, метала или сл. Битно је да се дебелина слоја смоле не мијења значајно од средине

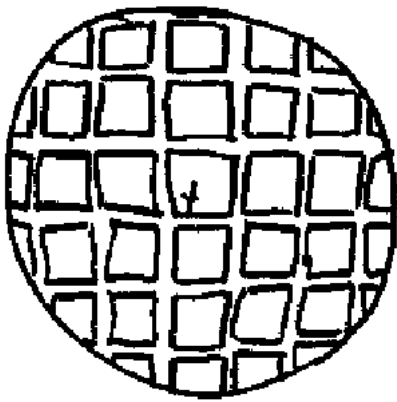
до руба подлоге (рецимо не више од око 1 mm). Да би се матрица брже прилагођавала плочи огледала, на њеној површини изрезају се квадратићи величине 15 до 25 mm, овисно о величини огледала, код чега је важно да се средина подлоге налази у близини руба средишњег квадратића (слика 18, 18a) како би се избјегла појава зона на плочи огледала. Најједноставнији начин израде матрице је да се по рубу алата залијепи трака масног папира која за око 1 cm вири изнад руба горње (закривљене) плоче алата.

Сад приредимо и смјесу праха за полирање и воде тако да личи на ријетко благо. Не додајте превише воде јер ће она, барем у почетку полирања, само сметати и успоравати процес полирања. Растопљена смола за полирање улије се у овако израђен калуп тако да твори слој дебљине 7 до 8 mm. Смола не смије бити преврућа да подлога не би пукла, а добро је да се и подлога загрије на 30 до 40 ступњева Целзијуса (таман толико да се још може држати у руци). Смола се загрије само толико да лагано тече, као мед. Кад је смола уливена у калуп, треба причекати док се толико не охлади да више не може тећи, али да још буде мекана. У међувремену плочу огледала намажемо прије припремљеном смјесом воде и праха за полирање. Кад смола довољно отврдне, уклонимо папир са руба подлоге и на смолу спустимо огледало, пазећи при томе да испод њега не заостану мјехури зрака. Најбоље је да га спустимо косо тако да додирне смолу на једном рубу подлоге па да онда полагано доведемо огледало у контакт са цијелом површином смоле. Код тога огледало мичемо лаганим кружним потезима и постепено повећавамо притисак на њега. Навлажимо ли водом задњу страну огледала лијепо ће се видјети који дијелови огледала су у додиру са смолом, а који још нису. Дијелови који су у контакту са смолом изгледају сасвим црно. Код овог поступка дио смоле



**Слика 18. Поступак израде матрице за полирање**





**Слика 18а. Положај квадратића смоле за полирање**

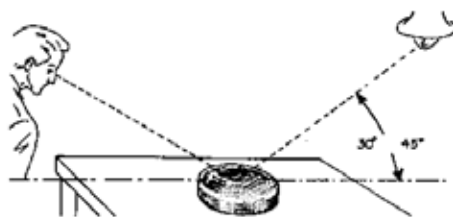
бит ће истиснут преко руба подлоге, а дебљина слоја смоле ће се смањити, али на то се не треба обазирати. Охлади ли се смола превише, тако да ни уз велики притисак више не успијевамо побољшати контакт огледала и смоле, смолу загријемо урањањем у топлу воду. Тек кад је огледало са свим својим дијеловима у контакту са смолом, овај дио посла је завршен. Заостане ли при томе неколико малих мјехурића зрака, не већих од око 1 *mm*, на њих се не требамо обазирати. Огледало сад одвојимо од смоле, оперемо и одложимо на страну. На смоли сад морамо изрезати квадратиће. Најбоље је да прво неким оштрим предметом зацртамо линије по којима ћемо резати. Само резање врло је прљав посао и најбоље је да се ради вани и у старом одијелу. Прво оштрим ножем уклонимо вишак смоле који је код формирања матрице био истиснут преко руба подлоге и то тако да је одрезани руб смоле мало закошен према горе (пречник горње плоче смоле треба бити нешто мањи (1 до 2 *mm*) од пречника огледала). Квадратиће изрезајемо оштрим ножем намазаним сапуницом или сличним алатом. Смола не смије бити прехладна јер ће иначе пуцати као стакло. Не покушавајте једним резом издубити цијели канал који треба бити широк 3 до 4 *mm* и исто толико дубок, већ сваким резом зарежите око 1 *mm* у дубину. Потребно је доста вјежбе да би се овај поступак извјежбао. Често пута се догоди да се код урезивања уништи матрица па је потребно излити нову. Код урезивања си можемо помоћи на неколико начина. Можемо на примјер канале истопити старим лемилом, па само рубове поправити ножем. Нешто више посла изискује израда дрвеног калупа у који се лијевају плочице смоле потребних димензија, које се затим нагло загрију на пламену и залијепе на подлогу. *Tehercau* препоруча искључиво овај начин израде матрица за полирање, а из својег искуства могу рећи да се на тај начин заиста најлакше израђује матрица која обично од прве испадне одлично.

Кад су канали готови, загријемо матрицу у топлој води (30 до 40 ступњева) и на њу поставимо огледало премазано смјесом за полирање. Огледало

оптеретимо са неколико *kg* терета и тако оставимо док се смола не охлади, дакле око четврт до пола сата. Овај поступак назива се топло прешање и он осигурава подударност плоча смоле и огледала прије почетка рада (тзв. контакт). Није ли контакт добар, огледало ће се неједнолико полирати, а добивена плоча бит ће неправилна и требат ће уложити много труда да се њен облик поправи на сферу. Добар контакт најважнији је за успјех полирања и каснијег коригирања зрцалне плоче. Осим тоглог прешања постоји и хладно прешање које се примењује у паузама код полирања, кад је контакт већ постигнут, па га само треба сачувати. Код хладног прешања једноставно се огледало премазано смјесом за полирање постави на матрицу и оптерети као и код тоглог прешања, али се сада тако остави неколико сати или чак и преко ноћи. При томе треба пазити да се смјеса за полирање не осуши па је добро руб огледала и матрице омотати влажном крпом. Осуши ли се смјеса за полирање, смола ће се залијепити на стакло и код покушаја одвајања огледала најчешће долази до ломљења матрице.

## Полирање

Кад је матрица спремна за полирање, припремимо смјесу воде и праха за полирање. У мало воде размутимо неколико жличица праха за полирање тако да добијемо ријетку пасту коју на огледало наносимо жличицом. Полирање започињемо са матрицом доље, дакле у истом положају као и код брушења огледала. Користимо *W* потезе средње дужине, и као и код брушења, међусобно закрећемо огледало и алат (матрицу). Код полирања је отпор кретању огледала често много већи него код брушења, али то нас не треба забрињавати ако је отпор једноличан. Међутим, запиње ли огледало или поскакује, то је сигуран знак да контакт између плоче огледала и смоле није добар па треба поновити топло прешање. Ако је отпор код полирања превелик, можемо код тоглог прешања између огледала и смоле уметнути комад мрежице за комарце и притиском је утиснути у смолу. Мрежицу наравно намажемо смјесом за полирање, да се не залијепи. Мрежицу уклонимо и хладним прешањем поправимо контакт. Површина квадратића смоле сад је подијељена на мноштво малих квадратића који смањују отпор код полирања и омогућавају лакше одржавање контакта. Код лоше



**Слика 19. Једноставан тест исполiranости**

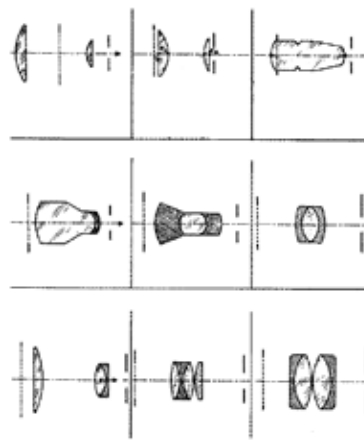
технике полирања они међутим могу бити узроком тзв. микрохрапавости плоче која може покварити квалитету слике будућег огледала. Она се обично јавља код форсираног полирања већим притиском и брзином и зато код полирања не треба журити.

Већ након десетак минута рада површина огледала почет ће се сјајити. Кад је алат доље, полирање обично почиње од средине. Да се огледало потпуно исполира, потребно је у просјеку 6 до 10 сати. У почетку полирања лако ћемо пратити како напредује полирање ако огледало окренемо према свјетлу и повећалом проматрамо његову површину. Још не-исполиране храпавости заостале од финог брушења виде се као ситне тамне тачкице. Пред крај полирања ових тачкица је мало и тешко се опажају, али се зато код металзирања могу појавити као мутноћа површине огледала. Не журите зато са завршетком полирања. Много сигурнији тест исполираности плоче је фокусирање слике жарне нити сијалице или Сунца на исполирану плочу. На добро исполираној плочи слика нити једва ће се видјети. Појављују ли се унутар слике сјајне тачкице, то су преостале рупице од брушења и оне су сигуран знак да полирање још није завршено.

Ако након неколико сати полирања на рубу остаје много тачкица које тешко излазе, можемо замијенити положај огледала и матрице. Кад је огледало доље, матрица више скида руб огледала па ће он ускоро бити исправно исполиран. Тек кад је огледало скоро сасвим исполирано, приступа се оптичким контролама и корекцијама облика плоче огледала. То се ради због тога што прерана контрола доводи до покушаја корекције, а кад је огледало добро коригирано аматер се тешко одлучује за наставак полирања да би уклонио преостале тачкице од брушења. Резултат је огледало са добро коригираном плочом, али и мноштвом тачкица које распршују свјетло и кваре контраст слике, посебно код планета или Мјесеца. А како се тачкице обично нагло појаве након алуминизације огледала, која није јефтина, тешко да ће огледало икад бити до краја исполирано. Такво огледало извор је многих разочарања и боље да га немаге. Зато причекајте са оптичким контролама док огледало не буде потпуно исполирано. Тада се мирно можете посветити корекцијама, не размишљајући о томе хоће ли се тачкице изгубити или не.

### Аматерска израда окулар

Иако израда сочива није тежа од израде огледала, она има своје специфичности. Као прво, сочива окулара знатно су мања од огледала и обично су пречника између 5 и 30 *mm*. Овако мале оптичке елементе не можемо израђивати техником која се користи за огледало. Сочива се обично израђују тако да се алат монтира на осовину која се прикладним мотором okreће. Брзина окретања расте са смањењем пречника сочива и за сочиво наведених



**Слика 20. Једноставни типови окулар** за самоградњу (горњи ред Хајгенсов и Рамсденов окулар)

пречника креће се између неколико десетака и неколико стотина окрета у минути. Поред тога, како се сочиво састоји од двије плоче, потребно је пазити на њихову концентричност, или по завршетку израде сочива извршити њено центрирање. За оба поступка потребан је додатни прибор. Но, највећа потешкоћа лежи у чињеници да су сочива у већини окулар израђена од неколико врста оптичких стакала како би се коригирале хроматска и друге аберације окулар. Како је оптичко стакло у нашој земљи практично немогуће набавити у малим количинама, што уосталом ни у иностранству није једноставно, јер се оптичко стакло углавном продаје у блоковима тежине десетак *kg*, сасвим је јасно да аматерско брушење окулар није јефтин хоби. Килограм обичног оптичког стакла стоји око 100 EUR, а специјална стакла могу коштати и двадесетак пута више. Што онда учинити? Прво, и најједноставније је искористити окулар старог дурбина или двогледа. Ови окулари у правилу су довољно квалитетни за дурбин описан у овом приручнику. Већина ових окулар је тзв. Келеровог типа, који се понекад назива и ахроматски Рамсденов окулар, али се могу наћи и егзотичне изведбе, посебно на двогледима руске производње. Окулари двогледа обично задовољавају на дурбинима код којих *F* број није мањи од 8 или 7, али има и лошијих. Чак и купња и растављање новог двогледа исплати се успоредимо ли цијену двогледа руске производње и окулара којег морамо куповати из иностранства. У сваком случају, ако купујете двоглед, удружите се са пријатељем, или другу половину двогледа искористите као тражило.

Поред тога, можемо покушати у продаваоницама рабљених ствари купити двоглед, повећало, објективе старих фотоапарата и сл. наравно ако су по цијени приступачни. Објектив фотоапарата може се у нужди употребијети као окулар за мало повећање, али се не може унапријед рећи хоће ли одређени објектив дати добру слику или неће. То се једноставно мора испробати. Поред тога, од сакупљених оптичких дијелова можемо покушати

сложити неки окулар. И ту је немогуће предвидјети исход. Само проба на нашем дурбину може показати да ли тако сложени окулар даје задовољавајућу слику или не. Од сакупљених сочива можемо пробати саставити један од четири типа окулара: *једноставна сочива*, *Хајгенсов окулар*, *Рамсденов окулар* и *Симетрични окулар*.

Сви остали типови окулара захтијевају међусобно усклађена сочива точно прописаних оптичких својстава и ту се слагањем из насумице сакупљених дијелова ништа не може направити.

### Једноставна сочива

Једноставно сочиво, обично планконвексно, може се користити за велика повећања. Није коригирано на боју, па најбоље ради код дурбина великог  $F$  броја, на примјер код рефрактора. Обично се користи за велика повећања. Недостатак им је малено видно поље добре слике које се креће између 15 и 25 ступњева. Предност им је велика удаљеност излазног отвора од задње плоче сочива, која је отприлике једнака жижној даљини сочива. Код окулара малих жижних даљина ово није занемарива предност, па ако имате рефрактор, свакако размотрите и овај тип окулара. Код овог типа окулара равна страна (или страна мање закривљености, ако сочива није планконвексна) окреће се према објективу.

### Хајгенсов окулар

Хајгенсов окулар састоји се од два позитивна сочива, обично планконвексног облика. Он је заснован на принципу да је комбинација два сочива, израђена од исте врсте стакла, ахроматична уколико су та два сочива размакнута за половину зброја својих жижних даљина. Другим ријечима, ако је жижна даљина првог сочива  $F_1$ , а другог сочива  $F_2$ , онда ћемо ахроматски окулар добити ако их поставимо на размак од  $D = (F_1 + F_2)/2$ . Најчешће се за овај окулар користе два сочива чије жижне даљине су у односу 1:3, при чему је сочиво мање жижне даљине ближе оку. Ово је тип тзв. негативног окулара, што значи да му се жижна даљина налази између сочива окулара. Код позитивних окулара (преостала три типа окулара описана у овом дијелу су позитивна) жижна даљина налази се испред првог сочива окулара, па се овакав окулар може користити и као повећало. Удаљеност излазног отвора од задње плоче сочива окулара је знатно мања од оне код једноставног сочива и износи око 0,3 жижне даљине окулара. Хајгенсов окулар има велико видно поље, неки пута и до 50 ступњева. На жалост, квалитета слике ограничена је аберацијама па овај окулар није могуће користити код  $F$  бројева мањих од 10, а најбоље ради на рефракторима. Из истих разлога окулари овог типа не раде се са жижним даљинама мањим од око 15  $mm$ . Већина једноставних микроскопских окулара овог је типа.

### Рамсденов окулар

И овај окулар заснован је на истом принципу ахроматичности као и Хајгенсов окулар, али је за разлику од њега позитиван. Рамсденов окулар састоји се од два идентична планконвексна сочива с трбусима окренутим један према другоме и размакнутим за  $2/3$  до  $3/4$  жижне даљине једног сочива. Видно поље нешто је веће, до 30 ступњева, а може се користити и на рефлекторима до  $F$  броја 7 или 6. Овај окулар заснива се на принципу да два иста сочива, размакнута за своју жижну даљину, творе ахроматски окулар. Но, како је у том положају излазни отвор на задњој плочи излазног сочива, смањује се мало размак између сочива да би се излазни отвор одмакнуо од задњег сочива, што резултира горе споменутим размаком између сочива. У том случају излазни отвор близу је задњој плочи окулара, обично 0,1 до 0,2 жижне даљине окулара иза ње. Жижну даљину комбинације два сочива можемо израчунати из формуле за жижну даљину два танка сочива, али је боље измјерити жижну даљину израђеног окулара, напр. мјерењем пречника излазног отвора окулара. Добри окулари могу се добити ако сочива и нису сасвим планконвексна, па чак и ако им се жижне даљине мало разликују. Као и прије, само проба на дурбину показује да ли је израђени окулар успио или није. Ово је одличан окулар за тражило!

### Симетрични окулар

Имамо ли срећу да смо набавили два иста или слична ахроматска сочива, можемо од њих направити симетрични окулар. Сочива једноставно монтирамо тако да су им трбуси окренути један према другом тако да се скоро дотичу (0,1 до 1  $mm$  размака сасвим задовољава). Пазите да се не дотакну, јер ће се сочиво оштетити. Овакав окулар има велико видно поље, неки пута и до 50 ступњева, велику удаљеност излазног отвора (око 0,8 жижне даљине) и углавном добро ради на већини дурбина до  $F$  броја 5 или чак 4. Неки пута се овај окулар погрешно назива *Plossl*.

Дакле, ако имате старих сочива, свакако покушајте нешто сложити јер увијек постоји шанса да се добије употребив окулар. Прошврљате по дућанима са рабљеном робом, фото дућанима и сл. питајте родбину, можда нетко има разбијени двоглед или сличну справу. И пустите машти на вољу. Зашто напр. не би од руске „трубе“ 10×30 узели окулар за свој астрономски дурбин (одличан окулар), од сочива из окретаца слике те исте трубе саставили симетрични окулар и монтирали на трубу коју ћете онда употријебити као тражило? За ту сврху можете израдити и Рамсденов окулар. Труба је додуше уништена, али добили сте окулар и тражило уз умјерену цијену.

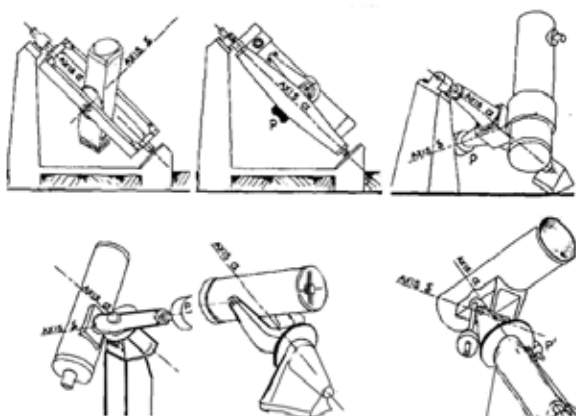
## Монтажа телескопа

Задатак монтаже телескопа је одржавање у идеалном односу елемената оптичког састава, те да омогућава гледање разних тачака небеске сфере. Основни увјети које мора задовољавати добра монтажа телескопа су:

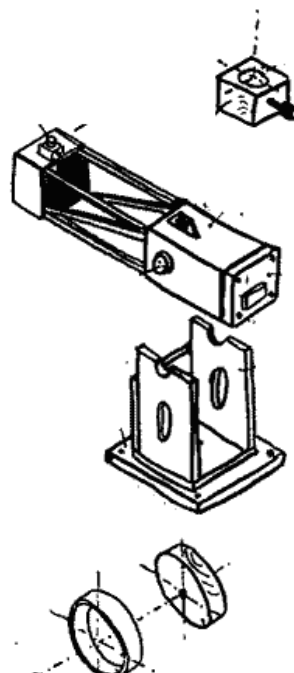
- велика стабилност и крутост конструкције
- лакоћа и прецизност помицања у обије оси
- балансираност, тежишта се морају налазити у осама помицања
- могућност вршења проматрања од хоризонта до зенита у свим правцима
- компактност конструкције, која омогућава боље коришћење простора, лакши транспорт и већу крутост
- могућност удобног проматрања у свим положајима телескопа
- једноставност конструкције те примјена јефтиних материјала

Од настанка телескопа до данас настао је читав низ монтажа које задовољавају ове опће, а и многе специфичне захтјеве. Без обзира на то повијесно богатство, у последње се вријеме стварају и радикално нове концепције механичких дјелова телескопа. Многе монтаже које су због неких својих недостатака готово пале у заборав данас се, захваљујући примјени нових материјала или рачунала, враћају поновно у употребу.

Опис тих монтажа се већ више пута могао наћи у књигама и часописима који се код нас објављују, па би се ми осврнули на једну мање познату, али веома интересантну монтажу, коју су те књиге занемаривале или приказивале као једноставну АЛТ/АЗ монтажу. **ДОБСОН** монтажа настала је из потребе да се „ни из чега” изради телескоп. Таква је конструкција била изазов веома софистицираним монтажама које су у америци израђивали аматери окупљени око часописа *Scientific American* и *Sky & Telescope*. Аутор те монтаже Џон Добсон (*John Dobson*) доказао је да се са веома скромним средствима може израдити добар и употребљив пријеносни инстру-



Слика 21. Примери монтажа телескопа



Слика 22. Добсон монтажа

мент. Данас, кад се због све већег свјетлосног загађења из многих мјеста више не могу вршити астрономска проматрања, све се више траже такви пријеносни инструменти. Њутнов телескоп на *Добсоно* монтажи ту напросто нема конкуренције.

## Џон Добсон

Ведантински редовник, живећи 23 године у манастиру, веома је тешко долазио до материјала и новца за израду телескопа. Посебан му је проблем била и забрана таквог рада у манастиру. Како би од других сакрио своју активност, ноћу би брусио огледало у лавору пуном воде, гушећи на тај начин звук брушења. Стаклени је диск био дно боце или бродско прозорско стакло, а абразив кварцни пијесак. Довршене би телескопе поклањао дјечи у сусједству, под увјетом да му омогуће проматрање са њима. Да би алуминизирао огледало од 18 инча скупљао је са дна базена упале новчиће двије године (45\$). Напуштањем манастира 1967. године за њега започиње веома плодан период популаризације астрономије и израде телескопа. У то вријеме се телескопи такве конструкције израђују само у астрономском клубу *San Francisco Sidewalks astronomers*. Тек се 1980. године јављају први такви комерцијални телескопи (*Coultter*) који носе Добсоново име. Данас многе творнице користе тај облик монтаже. Аматери у САД готово искључиво израђују такве телескопе, али Џон Добсон од тога нема ништа. Са 74 године престар је да нешто друго почиње радити, живи од милостиње, а оброке дијели са својим псом. Ипак, нема нити једног скупа АТМ на којем се појави а да се око њега не окупи гужва „обожаватеља”.

## Сталак или монтажа

Свака се Добсон монтажа састоји од подлоге, сандука и тубуса. Материјал за њену израду је најчешће укочено дрво или панел плоча, па је то и најјефтинија од свих монтажа. Начин спајања тубуса са сандуком и сандука са подлогом повећава јој крутост. Њој би од других монтажа највише сличила азимутално постављена виљушкаста монтажа. Изузетно је практична за неке облике рада. Од свих постојећих монтажа она је најлакша, па се лако преноси до мјеста проматрања. Наравно да, као и свака друга азимутална монтажа, има и читав низ веома озбиљних недостатака, али они ни најмање не сметају користимо ли ту монтажу у трагању за кометама, проматрању маглица или тражењу супернових звијезда у сусједним галаксијама. До данас је објављено много чланака о побољшању те монтаже, али се побољшавањем губе главне особине те монтаже а то су: ниска цијена и практичност.

## Тубус

Функција је тубуса да оптичке елементе држи у оптичкој оси на фиксној удаљености, те да онемогућава улазак свјетла са стране у телескоп (паразитско свјетло). Такођер тубус мора омогућавати слободну циркулацију зрака у телескопу ради постизања уједначене температуре. Иако на први поглед то изгледа лак задатак, при покушајима израде, може нам се десити да наш тубус „не задовољи”. Сам назив „тубус” или цијев може нас навести на помисао да је неопходно да тај елемент тако и изгледа. Цијев, без обзира на нека веома добра својства, се готово ни не користи, јер нам разне комбинирани конструкције дају боље резултате. Како би се паразитско свјетло свело на најмању мјеру у тубус се стављају посебни елементи „дијафрагме” чији је задатак да хватају свјетло које се рефлектирало са стијенки тубуса. Ради упијања свјетла сва се унутрашњост тубуса боја црном мат бојом. Оригиналне су Добсон монтаже користиле картонски тубус. Данас се чешће користи тубус од фибергласа за мање инструменте, а решеткасти тубус за веће.

Изузетно је важно да се решетка изради у облику спојених трокута како би деформације тубуса под разним оптерећењима биле што мање. Ради лакшег спајања тубуса са оси висине која се ослања на сандук, централни се дио Добсон телескопа израђује у облику четворокута, а често и цијели тубус.

У нашем случају тубус је четвртаста конструкција дрвених летвица, на неким мјестима затворена шпер плочом. Такав је одабир материјала и конструкције био увјетован првенствено цијеном и лакоћом израде.

## Носач објектива

Овај изузетно важан дио телескопа има функцију да у било којем положају телескопа огледалу пружа такав ослонац да се деформације које настају због властите тежине огледала сведу у подношљиве оквире, те омогућава намјештање огледала у оптичку ос. Тенденција, да се објективи израђују од све тањих дискова стакла, потакнула је развој носача објектива, како у професионалној тако и у аматерској примјени. Како је и веома комплицирани носач лакши и јефтинији од дебелог огледала, та ће се тенденција „стањивања” сигурно и наставити.

У нашем је случају носач од панел плоче, а може се замијенити тежим материјалом, требамо ли са задње стране балансирати тубус. Како су наша огледала веома дебела, одлучили смо се за најједноставнији начин хватања, љепљењем.

## Носач секундарног огледала „паук”

Налази се у оптичкој оси телескопа и носи секундарно огледало. Носачи огледала и само огледало смањују количину свјетла које стиже до објектива, а уједно кваре квалитет слике. Ради тога је потребно да су што мањих димензија.

Дифракција свјетла на носачима ствара грешку која се види у облику кракова на сјајним звијездама. Грешка је нешто мања користимо ли четири умјесто три носача. Посебним обликом носача она се готово може избјећи. За телескопе са Добсон монтажом израђује се најједноставнији такав носач, јер се за врсту рада за коју се користе ти инструменти, та грешка не уочава.

## Носач окулара и фокусер

Његов је задатак да врши фину промјену удаљености између објектива и окулара, а да се притом они не помичу ван оптичке оси. Овај се дио телескопа углавном купује готов, али се, ако смо скромнијих захтијева, може и изградити. Са цијеном од 50 до 150 EUR, такав би нас елемент коштао у самоградњи колико и сам телескоп. Код израде или набаве морамо одлучити за који пречник окулара ће тај фокусер бити кориштен. Стандардни пречник окулара је 25 mm (1.25"), 32 mm (2"), 51 mm, а окулари који се најчешће користе су од 32 mm.

## Лежајеви

Код Добсон монтаже користимо клизне лежајеве које сами израђујемо од комада пластичне цијеви или пластичне плоче. У ту се сврху најчешће користи пластика *Тефлон*, али могу послужити и друге пластичне масе. Обично се о лежајевима размишља као о елементима код којих је веома важно да је трење што мање. То није случај са лежајима код те монтаже. Лежајеви ту имају вишеструку функцију, осим као лежајеви служе и као клизне спојке.

## Сандук

Дио телескопа на који се ослањају осовине тубуса, а он се наслања на подлогу, зовемо сандук. Тај елемент монтаже мора имати веома велику кр-утоост и добро гушити вибрације. Дрво је веома захвалан материјал за његову израду. Сандук се може приликом транспорта користити као кутија за пријенос елемената телескопа.

## Подлога

То је плоча на коју се ослања сандук. У зависно-сти од захтјева које си поставимо за телескоп, она може бити више или мање комплицирана. Добро је ако постоји могућност њезина фиксирања за тло. На њој су заљепљени пластична плоча или три комада *Тефлона* који служе као аксиални лежај азимутне оси.

## Балансирање

Код сваке је монтаже балансирање важно ради што мањег оптерећења на погонске механизме. Код *Добсона* то је основни увјет рада. Телескоп свој положај одржава само захваљујући трењу у лежаје-вима. Свака и мало већа сила наш ће телескоп помакнути, па итекако требамо пазити да нам се због лошег балансирања, телескоп не почиње сам мицати.

## Бојање

Бојање телескопа има наравно улогу да дрво штити од влаге приликом проматрања, али од њега овиси и завршни изглед телескопа. Традиционална боја телескопа (бијела) готово се и не користи за *Добсон* монтаже. Једино боје и слике на мотоциклима (чоперима) могу превазићи боје *Добсон* телескопа на којима њихови власници испољавају своју креати-вност. И онако нитко тај телескоп неће доживјети као нешто посебно лијепо, зато ако имате смисла за цртање или пријатеља...

## Центрирање Њутновог рефлектора

Да би наш рефлектор давао квалитетну слику, морамо све његове елементе довести на заједничку оптичку и механичку ос. Овај поступак назива се центрирање (или јустирање) и кад се једном научи, не представља посебан проблем и не одузима много времена. Центрирање се може грубо подијелити на механичко и оптичко центрирање. Код механичког центрирања осигуравамо окомитост окуларног тубуса на тубус дурбина и подешавамо носач се-кундарног огледала тако да се центар секундарног огледала налази на механичкој оси тубуса. Ово центрирање обично се проводи код првог саста-вљања инструмента. Ако је инструмент добро изра-

ђен, механичко центрирање више није потребно понављати, осим у случају да је инструмент јако ударен или сл. С друге стране, оптичко центрирање потребно је чешће контролирати јер се, овисно о конструкцији дурбина, може догодити да и мањи ударци, премијештање инструмента или промјене околне температуре, покваре оптичко центрирање. Предност рефлектора са великим  $F$  бројем је та да је квалитета слике знатно мање осјетљива на мале неточности у центрирању. Тако наприклад, ре-флектори са малим  $F$  бројем (4 до 5) морају бити врло точно центрирани, при чему је неки пута по-требно користити и посебна помагала за ту сврху. Рефлектори средњих и великих  $F$  бројева (8 и више) могу се врло једноставно центрирати без посебних помагала.

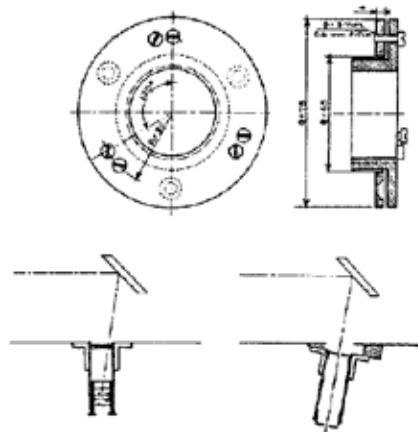
## Механичко центрирање

Окомитост окуларног тубуса на ос главног тубуса обично је довољно добро осигурана самом механичком конструкцијом окуларног тубуса. Су-мњамо ли међутим, да она није добра, можемо је провјерити (слика 23) и по потреби дотјерати по-длагањем листића тамо гдје је то потребно.

Положај центра секундарног огледала морамо подесити код монтаже носача секундарног огледала у тубус инструмента.

## Оптичко центрирање

Оптичко центрирање почињемо провјером положаја секундарног огледала. Окуларну цијев затворимо заслоном који у средини има рупицу пречника 2 до 3 *mm*. Најбоље је да од комадића пластике или дрвета истокаримо овакво помагало за центрирање, али ће исто тако добро послужити и обичан округли комадић картона, под увјетом да је точно израђен. Пречник рупице није јако важан, али је потребно да она буде точно у средини (оси) окуларног тубуса. Кад кроз ову рупицу погледамо према секундарном огледалу, оно мора бити у средини окуларне цијеви. Ако није (слика 24),

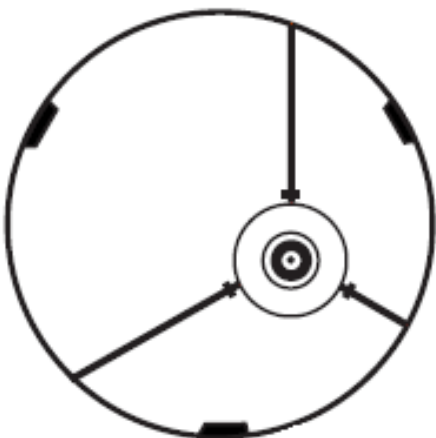


Слика 23. мјерење окомитости окуларног тубуса

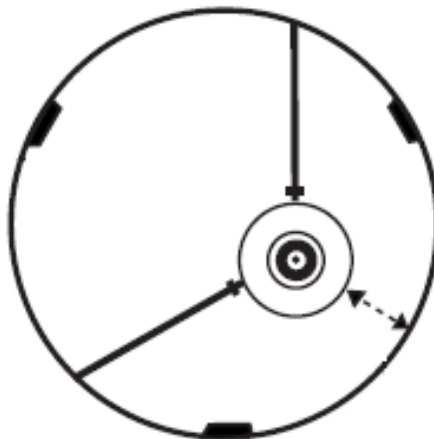


Слика 24.

подешавањем носача секундарног огледала морамо га довести у тај положај. Након тога подешавамо само секундарно огледало окретањем или нагињањем његовог носача уз помоћ вијака који се на њему налазе (обично три завртња распоређена под 120 ступњева) тако дуго док слика примарног огледала коју видимо у секундарном огледалу не буде у средини секундарног огледала (слика 25). Код тога се прво секундарно огледало ротира око оси главног тубуса док слика примарног огледала не дође у средину секундарног огледала, гледано у смјеру оси тубуса. Сад се уз помоћ три завртња подеси нагиб огледала тако да слика примарног огледала буде точно у средини секундарног. То се обично ради тако да се мало помакне један од три завртња секундарног огледала уз истовремено гледање слике примарног огледала у њему. Према помаку те слике одређујемо да ли вијак треба окретати улијево или удесно, или је потребно пријећи на други или трећи вијак. Овдје је вјежба најбољи учитељ. Кад смо то постигли, обратимо пажњу на сјену секундарног огледала и његовог носача на примарном огледалу. Уз помоћ три завртња на носачу примарног огледала, нагињемо примарно огледало тако дуго док сјена секундарног огледала не падне у средину примарног огледала (слика 26). Кад смо то постигли,

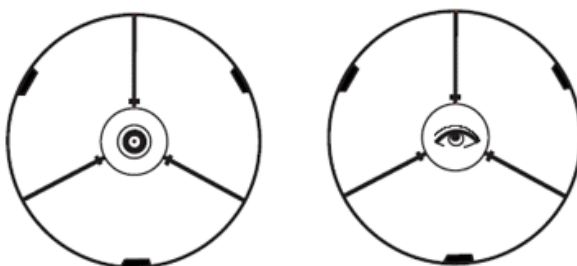


Слика 25.



Слика 26.

инструмент је намјештен и спреман за проматрање (слика 27).



Слика 27.

Након мало вјежбања, поступак центрирања постаје врло једноставан и брз. Углавном је потребно само мало поправити положај секундарног и примарног огледала, за што је довољно неколико минута рада. Добро је прије сваког проматрања провјерити да ли је инструмент најустиран, како не бисмо проматрали са неподешеним инструментом.

Аутори овог зналачког рада о телескопима уопште и пре свега о прављењу огледала су светски познати проналазач малих планета Корадо Корлевић и Жељко Андреић. Корадо је из Звјездарнице у Вишњању открио преко хиљаду астероида. Признато му је и откриће две комете. Тренутно се бави радовима на изградњи опсерваторије у Тићану и популаризацијом астрономије. Жељко је активан на проблему решавања светлосног загађења у Хрватској и члан је научног тима Хрватске метеорске мреже.

Редакција

#### Astronomy telescopes - Korado Korlević

This is a brief review of basic concepts concerning astronomical telescopes. The paper also contains an introduction to the procedure of mirror grinding..





# Астрономске ефемериде за 2010. годину

## Координате Народне опсерваторије

Ефемериде су урађене за координате Народне опсерваторије у Београду:

$$\varphi = 44^{\circ} 49' 30'' \text{ односно } 44.82505^{\circ}$$

$$\lambda = 20^{\circ} 27' 03'' \text{ односно } 20.45083^{\circ}$$

$$h = 115 \text{ m}$$

## Коришћени временски системи

За приказ временских тренутака коришћено је зонско и светско време. Зонско време је време које показују часовници, тако да никакво додатно прерачунавање није потребно. Оно је коришћено претежно за податке о појавама (излаз, залаз и сл.), док је светско време коришћено претежно за податке о положају небеског тела, или за величине које су независне од положаја посматрачке станице. У периоду од 28. 3. до 31. 10. (летње рачунање времена), зонско време (*CEST* – *Central European Summer Time*) је везано са светским временом (*UT*) следећом релацијом:  $CEST = UT + 2^h$ . Ван тог периода (зимско рачунање времена), зонско време (*CET* – *Central European Time*) је везано са светским временом (*UT*) на следећи начин:  $CET = UT + 1^h$ . Ефемеридска поправка ( $\Delta T$ ) представља везу између светског (*UT*) и динамичког времена (*DT*) и за 2010. годину износи приближно  $67^s$ .

Основна епоха ефемерида (коришћен положај у тачке) је епоха према датуму, односно урачунате су поправке за прецесију, нутацију и аберацију. Подаци за сва небеска тела, осим за Месец, су геоцентрични. Подаци за Месец су топоцентрични, осим растојања Земља – Месец, које је такође геоцентрично. За топоцентричне податке је обрачуната и поправка за хоризонтску паралаксу и атмосферску рефракцију. Подаци за излаз, залаз и сумраке су увек топоцентрични.

## Годишња доба

Подаци су дати по зонском времену:

$$\text{Пролеће: } 20. 03. \text{ у } 18^h 33^m$$

$$\text{Лето: } 21. 06. \text{ у } 13^h 29^m$$

$$\text{Јесен: } 23. 09. \text{ у } 05^h 10^m$$

$$\text{Зима: } 22. 12. \text{ у } 00^h 39^m$$

## Положаји Земље

Подаци су дати по зонском времену:

$$\text{Перихел: } 02. 01. \text{ у } 22^h$$

$$\text{Афел: } 06. 07. \text{ у } 16^h$$

## Подаци о помрачењима

Подаци су дати по зонском времену:

1. Прстенасто помрачење Сунца 15. јануара, од  $U1 = 06^h 14^m$  до  $U4 = 09^h 59^m$ . Максимум помрачења је у  $08^h 06^m$ . Видљиво из централне Африке, Индијског океана и Источне Азије.
2. Делимично помрачење Месеца 26. јуна, од  $U1 = 10^h 57^m$  до  $U4 = 16^h 19^m$ . Није видљиво из наших крајева.
3. Потпуно помрачење Сунца 11. јула, од  $U1 = 20^h 15^m$  до  $U4 = 22^h 51^m$ . Максимум помрачења је у  $21^h 33^m$ . Видљиво из Пацифика, Аргентине и Чилеа.
4. Потпуно помрачење Месеца 21. децембра, од  $P1 = 06^h 29^m$  до  $P4 = 12^h 04^m$ . Максимум помрачења у  $09^h 16^m$ . Видљиво из наших крајева ујутро, пре Месечевог залаза (за више детаља о овом помрачењу погледати на страни 103, подаци лубазношћу <http://eclipse.gsfc.nasa.gov/eclipse.html>).

Више података о овогодишњим помрачењима може да се нађе на Интернет адреси: <http://sunearth.gsfc.nasa.gov/eclipse/eclipse.html>

## Табеле

У табели *Календар* дати су за сваки дан: датум, назив дана у недељи, јулијански дан (*JD*) који почиње у  $12^h$  *UT* и гриничко звездано време ( $S_0$ ) у  $0^h$  *UT*.

У табели *Сунце* дати су за сваки дан: датум, тренутак горње кулминације (*T*), тренутак изласка, тренутак заласка, подаци о астрономском сумраку (почетак јутарњег и крај вечерњег сумрака, када се Сунце налази  $18^{\circ}$  испод хоризонта), ректасцензија ( $\alpha$ ), деклинација ( $\delta$ ), геоцентрично растојање ( $\Delta$ ), угловни пречник диска (*D*), позициони угао осе ротације (*P*) мерен у математички позитивном смеру од праваца према правом северном небеском по-

лу, и хелиографске координате центра диска ( $B_0$  и  $L_0$ ).

У табели *Месец*, за сваки дан је приказан: датум, тренутак горње кулминације (Т), тренутак изласка, тренутак заласка, старост од фазе младог месеца (А) изражена у данима, ректасцензија ( $\alpha$ ), деклинација ( $\delta$ ), геоцентрично растојање ( $\Delta$ ), фаза (Р), пречник диска (D), либрација по латитуди ( $L_1$ ), позитивна према лунарном северу и либрација по лонгитуди ( $L_2$ ), позитивна према лунарном истоку (десно).

У табелама *Меркур* и *Венера*, за сваки трећи дан су дати: датум, тренутак горње кулминације (Т), тренутак изласка, тренутак заласка, елонгација (Е) позитивна према истоку, ректасцензија ( $\alpha$ ), деклинација ( $\delta$ ), хелиоцентрично растојање ( $\Delta_c$ ), геоцентрично растојање ( $\Delta_g$ ), фаза (Р), пречник диска (D) и визуелна магнитуда (V).

У табелама за *Марс*, *Јупитер* и *Сатурн*, за сваки шести дан је приказано: датум, тренутак горње кулминације (Т), тренутак изласка, тренутак зала-

ска, ректасцензија ( $\alpha$ ), деклинација ( $\delta$ ), хелиоцентрично растојање ( $\Delta_c$ ), геоцентрично растојање ( $\Delta_g$ ), пречник диска (D) и визуелна магнитуда (V).

Табеле *Уран* и *Нептун* дају исте податке као и табеле за *Марс*, *Јупитер* и *Сатурн*, само су подаци приказани за сваки дванаести дан у години.

Табела *Фазе, перигеј и апогеј Месеца*, приказује датум, време и назив појаве.

Табела *Метеори* даје основне податке о ово-годишњој активности метеорских ројева: назив роја, ознаку роја, датум почетка и датум краја активности, датум и време када се очекује максимум активности, лонгитуду Сунца ( $\lambda_c$ ) у тренутку максимума активности, координате радијанта ( $\alpha$  и  $\delta$ ), атмосферску, односно привидну брзину честица (V), популациони индекс (r) и зенитну часовну фреквенцију (ZHR).

Подаци о метеорској активности су променљиви, а детаљније информације могу да се нађу на Интернет адреси: <http://www.imo.net>

Фазе, перигеј и апогеј Месеца								
Зонско време								
Датум	Време	Појава	Датум	Време	Појава	Датум	Време	Појава
d m	h m		d m	h m		d m	h m	
01. 01.	22 00	Перигеј	06. 05.	06 16	Последња чет.	08. 09.	06 00	Перигеј
07. 01.	11 40	Последња чет.	07. 05.	00 00	Апогеј	08. 09.	12 30	Млад месец
15. 01.	08 13	Млад месец	14. 05.	03 06	Млад месец	15. 09.	07 55	Прва четврт
17. 01.	03 00	Апогеј	20. 05.	11 00	Перигеј	21. 09.	10 00	Апогеј
23. 01.	11 57	Прва четврт	21. 05.	01 38	Прва четврт	23. 09.	11 19	Пун месец
30. 01.	07 19	Пун месец	28. 05.	01 08	Пун месец	01. 10.	05 54	Последња чет.
30. 01.	10 00	Перигеј	03. 06.	19 00	Апогеј	06. 10.	16 00	Перигеј
06. 02.	00 48	Последња чет.	05. 06.	00 16	Последња чет.	07. 10.	20 45	Млад месец
13. 02.	03 00	Апогеј	12. 06.	13 16	Млад месец	14. 10.	23 32	Прва четврт
14. 02.	03 53	Млад месец	15. 06.	17 00	Перигеј	18. 10.	20 00	Апогеј
22. 02.	01 42	Прва четврт	19. 06.	06 27	Прва четврт	23. 10.	03 38	Пун месец
27. 02.	23 00	Перигеј	26. 06.	13 31	Пун месец	30. 10.	14 46	Последња чет.
28. 02.	17 39	Пун месец	01. 07.	12 00	Апогеј	03. 11.	18 00	Перигеј
07. 03.	16 42	Последња чет.	04. 07.	16 39	Последња чет.	06. 11.	05 52	Млад месец
12. 03.	11 00	Апогеј	11. 07.	21 41	Млад месец	13. 11.	17 42	Прва четврт
15. 03.	22 03	Млад месец	13. 07.	13 00	Перигеј	15. 11.	13 00	Апогеј
23. 03.	11 57	Прва четврт	18. 07.	12 12	Прва четврт	21. 11.	18 29	Пун месец
28. 03.	07 00	Перигеј	26. 07.	03 38	Пун месец	28. 11.	21 37	Последња чет.
30. 03.	04 26	Пун месец	29. 07.	02 00	Апогеј	30. 11.	20 00	Перигеј
06. 04.	11 37	Последња чет.	03. 08.	07 03	Последња чет.	05. 12.	18 37	Млад месец
09. 04.	05 00	Апогеј	10. 08.	05 09	Млад месец	13. 12.	10 00	Апогеј
14. 04.	14 31	Млад месец	10. 08.	20 00	Перигеј	13. 12.	15 00	Прва четврт
21. 04.	20 15	Прва четврт	16. 08.	20 18	Прва четврт	21. 12.	09 15	Пун месец
24. 04.	23 00	Перигеј	24. 08.	19 06	Пун месец	25. 12.	13 00	Перигеј
28. 04.	14 19	Пун месец	25. 08.	08 00	Апогеј	28. 12.	05 19	Последња чет.
			01. 09.	19 25	Последња чет.			

Календар											
Светско време - 0h UT											
Датум	Дан	JD	So			Датум	Дан	JD	So		
d m	D	245...	h m s			d m	D	245...	h m s		
01. 01.	ПЕТ	5198	06 42 10			03. 03.	СРЕ	5259	10 42 40		
02. 01.	СУБ	5199	06 46 07			04. 03.	ЧЕТ	5260	10 46 37		
03. 01.	НЕД	5200	06 50 03			05. 03.	ПЕТ	5261	10 50 33		
04. 01.	ПОН	5201	06 53 60			06. 03.	СУБ	5262	10 54 30		
05. 01.	УТО	5202	06 57 56			07. 03.	НЕД	5263	10 58 26		
06. 01.	СРЕ	5203	07 01 53			08. 03.	ПОН	5264	11 02 23		
07. 01.	ЧЕТ	5204	07 05 50			09. 03.	УТО	5265	11 06 19		
08. 01.	ПЕТ	5205	07 09 46			10. 03.	СРЕ	5266	11 10 16		
09. 01.	СУБ	5206	07 13 43			11. 03.	ЧЕТ	5267	11 14 13		
10. 01.	НЕД	5207	07 17 39			12. 03.	ПЕТ	5268	11 18 09		
11. 01.	ПОН	5208	07 21 36			13. 03.	СУБ	5269	11 22 06		
12. 01.	УТО	5209	07 25 32			14. 03.	НЕД	5270	11 26 02		
13. 01.	СРЕ	5210	07 29 29			15. 03.	ПОН	5271	11 29 59		
14. 01.	ЧЕТ	5211	07 33 25			16. 03.	УТО	5272	11 33 55		
15. 01.	ПЕТ	5212	07 37 22			17. 03.	СРЕ	5273	11 37 52		
16. 01.	СУБ	5213	07 41 19			18. 03.	ЧЕТ	5274	11 41 48		
17. 01.	НЕД	5214	07 45 15			19. 03.	ПЕТ	5275	11 45 45		
18. 01.	ПОН	5215	07 49 12			20. 03.	СУБ	5276	11 49 42		
19. 01.	УТО	5216	07 53 08			21. 03.	НЕД	5277	11 53 38		
20. 01.	СРЕ	5217	07 57 05			22. 03.	ПОН	5278	11 57 35		
21. 01.	ЧЕТ	5218	08 01 01			23. 03.	УТО	5279	12 01 31		
22. 01.	ПЕТ	5219	08 04 58			24. 03.	СРЕ	5280	12 05 28		
23. 01.	СУБ	5220	08 08 54			25. 03.	ЧЕТ	5281	12 09 24		
24. 01.	НЕД	5221	08 12 51			26. 03.	ПЕТ	5282	12 13 21		
25. 01.	ПОН	5222	08 16 48			27. 03.	СУБ	5283	12 17 17		
26. 01.	УТО	5223	08 20 44			28. 03.	НЕД	5284	12 21 14		
27. 01.	СРЕ	5224	08 24 41			29. 03.	ПОН	5285	12 25 11		
28. 01.	ЧЕТ	5225	08 28 37			30. 03.	УТО	5286	12 29 07		
29. 01.	ПЕТ	5226	08 32 34			31. 03.	СРЕ	5287	12 33 04		
30. 01.	СУБ	5227	08 36 30			01. 04.	ЧЕТ	5288	12 36 60		
31. 01.	НЕД	5228	08 40 27			02. 04.	ПЕТ	5289	12 40 57		
01. 02.	ПОН	5229	08 44 24			03. 04.	СУБ	5290	12 44 53		
02. 02.	УТО	5230	08 48 20			04. 04.	НЕД	5291	12 48 50		
03. 02.	СРЕ	5231	08 52 17			05. 04.	ПОН	5292	12 52 46		
04. 02.	ЧЕТ	5232	08 56 13			06. 04.	УТО	5293	12 56 43		
05. 02.	ПЕТ	5233	09 00 10			07. 04.	СРЕ	5294	13 00 40		
06. 02.	СУБ	5234	09 04 06			08. 04.	ЧЕТ	5295	13 04 36		
07. 02.	НЕД	5235	09 08 03			09. 04.	ПЕТ	5296	13 08 33		
08. 02.	ПОН	5236	09 11 59			10. 04.	СУБ	5297	13 12 29		
09. 02.	УТО	5237	09 15 56			11. 04.	НЕД	5298	13 16 26		
10. 02.	СРЕ	5238	09 19 53			12. 04.	ПОН	5299	13 20 22		
11. 02.	ЧЕТ	5239	09 23 49			13. 04.	УТО	5300	13 24 19		
12. 02.	ПЕТ	5240	09 27 46			14. 04.	СРЕ	5301	13 28 15		
13. 02.	СУБ	5241	09 31 42			15. 04.	ЧЕТ	5302	13 32 12		
14. 02.	НЕД	5242	09 35 39			16. 04.	ПЕТ	5303	13 36 08		
15. 02.	ПОН	5243	09 39 35			17. 04.	СУБ	5304	13 40 05		
16. 02.	УТО	5244	09 43 32			18. 04.	НЕД	5305	13 44 02		
17. 02.	СРЕ	5245	09 47 28			19. 04.	ПОН	5306	13 47 58		
18. 02.	ЧЕТ	5246	09 51 25			20. 04.	УТО	5307	13 51 55		
19. 02.	ПЕТ	5247	09 55 21			21. 04.	СРЕ	5308	13 55 51		
20. 02.	СУБ	5248	09 59 18			22. 04.	ЧЕТ	5309	13 59 48		
21. 02.	НЕД	5249	10 03 15			23. 04.	ПЕТ	5310	14 03 44		
22. 02.	ПОН	5250	10 07 11			24. 04.	СУБ	5311	14 07 41		
23. 02.	УТО	5251	10 11 08			25. 04.	НЕД	5312	14 11 37		
24. 02.	СРЕ	5252	10 15 04			26. 04.	ПОН	5313	14 15 34		
25. 02.	ЧЕТ	5253	10 19 01			27. 04.	УТО	5314	14 19 31		
26. 02.	ПЕТ	5254	10 22 57			28. 04.	СРЕ	5315	14 23 27		
27. 02.	СУБ	5255	10 26 54			29. 04.	ЧЕТ	5316	14 27 24		
28. 02.	НЕД	5256	10 30 51			30. 04.	ПЕТ	5317	14 31 20		
01. 03.	ПОН	5257	10 34 47			01. 05.	СУБ	5318	14 35 17		
02. 03.	УТО	5258	10 38 44			02. 05.	НЕД	5319	14 39 13		
03. 05.	ПОН	5320	14 43 10			04. 05.	УТО	5321	14 47 06		
04. 05.	СРЕ	5322	14 51 03			05. 05.	ЧЕТ	5323	14 54 60		
06. 05.	ПЕТ	5324	14 58 56			07. 05.	СУБ	5325	15 02 53		
08. 05.	НЕД	5326	15 06 49			09. 05.	ПОН	5327	15 10 46		
10. 05.	УТО	5328	15 14 42			11. 05.	СРЕ	5329	15 18 39		
12. 05.	ЧЕТ	5330	15 22 35			13. 05.	ПЕТ	5331	15 26 32		
14. 05.	СУБ	5332	15 30 29			15. 05.	НЕД	5333	15 34 25		
16. 05.	ПОН	5334	15 38 22			17. 05.	УТО	5335	15 42 18		
18. 05.	СРЕ	5336	15 46 15			19. 05.	ЧЕТ	5337	15 50 11		
20. 05.	ПЕТ	5338	15 54 08			21. 05.	СУБ	5339	15 58 04		
22. 05.	НЕД	5340	16 02 01			23. 05.	ПОН	5341	16 05 58		
24. 05.	УТО	5342	16 09 54			25. 05.	СРЕ	5343	16 13 51		
26. 05.	ЧЕТ	5344	16 17 47			27. 05.	ПЕТ	5345	16 21 44		
28. 05.	СУБ	5346	16 25 40			29. 05.	НЕД	5347	16 29 37		
30. 05.	ПОН	5348	16 33 34			31. 05.	УТО	5349	16 37 30		
01. 06.	СРЕ	5350	16 41 27			02. 06.	ЧЕТ	5351	16 45 23		
03. 06.	ПЕТ	5352	16 49 20			04. 06.	СУБ	5353	16 53 16		
05. 06.	НЕД	5354	16 57 13			06. 06.	ПОН	5355	17 01 09		
07. 06.	УТО	5356	17 05 06			08. 06.	СРЕ	5357	17 09 03		
09. 06.	ЧЕТ	5358	17 12 59			10. 06.	ПЕТ	5359	17 16 56		
11. 06.	СУБ	5360	17 20 52			12. 06.	НЕД	5361	17 24 49		
13. 06.	ПОН	5362	17 28 45			14. 06.	УТО	5363	17 32 42		
15. 06.	СРЕ	5364	17 36 38			16. 06.	ЧЕТ	5365	17 40 35		
17. 06.	ПЕТ	5366	17 44 32			18. 06.	СУБ	5367	17 48 28		
19. 06.	НЕД	5368	17 52 25			20. 06.	ПОН	5369	17 56 21		
21. 06.	УТО	5370	18 00 18			22. 06.	СРЕ	5371	18 04 14		
23. 06.	ЧЕТ	5372	18 08 11			24. 06.	ПЕТ	5373	18 12 07		
25. 06.	СУБ	5374	18 16 04			26. 06.	НЕД	5375	18 20 01		
27. 06.	ПОН	5376	18 23 57			28. 06.	УТО	5377	18 27 54		
29. 06.	СРЕ	5378	18 31 50			30. 06.	ЧЕТ	5379	18 35 47		
01. 07.	ПЕТ	5380	18 39 43			02. 07.	СУБ	5381	18 43 40		

Календар											
Светско време - 0h UT											
Датум	Дан	JD	So	Датум	Дан	JD	So	Датум	Дан	JD	So
d m	D	245...	h m s	d m	D	245...	h m s	d m	D	245...	h m s
03. 07.	СУБ	5381	18 43 40	02. 09.	ЧЕТ	5442	22 44 10	02. 11.	УТО	5503	02 44 40
04. 07.	НЕД	5382	18 47 36	03. 09.	ПЕТ	5443	22 48 06	03. 11.	СРЕ	5504	02 48 36
05. 07.	ПОН	5383	18 51 33	04. 09.	СУБ	5444	22 52 03	04. 11.	ЧЕТ	5505	02 52 33
06. 07.	УТО	5384	18 55 30	05. 09.	НЕД	5445	22 55 59	05. 11.	ПЕТ	5506	02 56 29
07. 07.	СРЕ	5385	18 59 26	06. 09.	ПОН	5446	22 59 56	06. 11.	СУБ	5507	03 00 26
08. 07.	ЧЕТ	5386	19 03 23	07. 09.	УТО	5447	23 03 53	07. 11.	НЕД	5508	03 04 22
09. 07.	ПЕТ	5387	19 07 19	08. 09.	СРЕ	5448	23 07 49	08. 11.	ПОН	5509	03 08 19
10. 07.	СУБ	5388	19 11 16	09. 09.	ЧЕТ	5449	23 11 46	09. 11.	УТО	5510	03 12 15
11. 07.	НЕД	5389	19 15 12	10. 09.	ПЕТ	5450	23 15 42	10. 11.	СРЕ	5511	03 16 12
12. 07.	ПОН	5390	19 19 09	11. 09.	СУБ	5451	23 19 39	11. 11.	ЧЕТ	5512	03 20 09
13. 07.	УТО	5391	19 23 06	12. 09.	НЕД	5452	23 23 35	12. 11.	ПЕТ	5513	03 24 05
14. 07.	СРЕ	5392	19 27 02	13. 09.	ПОН	5453	23 27 32	13. 11.	СУБ	5514	03 28 02
15. 07.	ЧЕТ	5393	19 30 59	14. 09.	УТО	5454	23 31 28	14. 11.	НЕД	5515	03 31 58
16. 07.	ПЕТ	5394	19 34 55	15. 09.	СРЕ	5455	23 35 25	15. 11.	ПОН	5516	03 35 55
17. 07.	СУБ	5395	19 38 52	16. 09.	ЧЕТ	5456	23 39 22	16. 11.	УТО	5517	03 39 51
18. 07.	НЕД	5396	19 42 48	17. 09.	ПЕТ	5457	23 43 18	17. 11.	СРЕ	5518	03 43 48
19. 07.	ПОН	5397	19 46 45	18. 09.	СУБ	5458	23 47 15	18. 11.	ЧЕТ	5519	03 47 44
20. 07.	УТО	5398	19 50 41	19. 09.	НЕД	5459	23 51 11	19. 11.	ПЕТ	5520	03 51 41
21. 07.	СРЕ	5399	19 54 38	20. 09.	ПОН	5460	23 55 08	20. 11.	СУБ	5521	03 55 38
22. 07.	ЧЕТ	5400	19 58 35	21. 09.	УТО	5461	23 59 04	21. 11.	НЕД	5522	03 59 34
23. 07.	ПЕТ	5401	20 02 31	22. 09.	СРЕ	5462	00 03 01	22. 11.	ПОН	5523	04 03 31
24. 07.	СУБ	5402	20 06 28	23. 09.	ЧЕТ	5463	00 06 57	23. 11.	УТО	5524	04 07 27
25. 07.	НЕД	5403	20 10 24	24. 09.	ПЕТ	5464	00 10 54	24. 11.	СРЕ	5525	04 11 24
26. 07.	ПОН	5404	20 14 21	25. 09.	СУБ	5465	00 14 51	25. 11.	ЧЕТ	5526	04 15 20
27. 07.	УТО	5405	20 18 17	26. 09.	НЕД	5466	00 18 47	26. 11.	ПЕТ	5527	04 19 17
28. 07.	СРЕ	5406	20 22 14	27. 09.	ПОН	5467	00 22 44	27. 11.	СУБ	5528	04 23 13
29. 07.	ЧЕТ	5407	20 26 10	28. 09.	УТО	5468	00 26 40	28. 11.	НЕД	5529	04 27 10
30. 07.	ПЕТ	5408	20 30 07	29. 09.	СРЕ	5469	00 30 37	29. 11.	ПОН	5530	04 31 07
31. 07.	СУБ	5409	20 34 04	30. 09.	ЧЕТ	5470	00 34 33	30. 11.	УТО	5531	04 35 03
01. 08.	НЕД	5410	20 37 60	01. 10.	ПЕТ	5471	00 38 30	01. 12.	СРЕ	5532	04 38 60
02. 08.	ПОН	5411	20 41 57	02. 10.	СУБ	5472	00 42 26	02. 12.	ЧЕТ	5533	04 42 56
03. 08.	УТО	5412	20 45 53	03. 10.	НЕД	5473	00 46 23	03. 12.	ПЕТ	5534	04 46 53
04. 08.	СРЕ	5413	20 49 50	04. 10.	ПОН	5474	00 50 20	04. 12.	СУБ	5535	04 50 49
05. 08.	ЧЕТ	5414	20 53 46	05. 10.	УТО	5475	00 54 16	05. 12.	НЕД	5536	04 54 46
06. 08.	ПЕТ	5415	20 57 43	06. 10.	СРЕ	5476	00 58 13	06. 12.	ПОН	5537	04 58 42
07. 08.	СУБ	5416	21 01 39	07. 10.	ЧЕТ	5477	01 02 09	07. 12.	УТО	5538	05 02 39
08. 08.	НЕД	5417	21 05 36	08. 10.	ПЕТ	5478	01 06 06	08. 12.	СРЕ	5539	05 06 36
09. 08.	ПОН	5418	21 09 33	09. 10.	СУБ	5479	01 10 02	09. 12.	ЧЕТ	5540	05 10 32
10. 08.	УТО	5419	21 13 29	10. 10.	НЕД	5480	01 13 59	10. 12.	ПЕТ	5541	05 14 29
11. 08.	СРЕ	5420	21 17 26	11. 10.	ПОН	5481	01 17 55	11. 12.	СУБ	5542	05 18 25
12. 08.	ЧЕТ	5421	21 21 22	12. 10.	УТО	5482	01 21 52	12. 12.	НЕД	5543	05 22 22
13. 08.	ПЕТ	5422	21 25 19	13. 10.	СРЕ	5483	01 25 48	13. 12.	ПОН	5544	05 26 18
14. 08.	СУБ	5423	21 29 15	14. 10.	ЧЕТ	5484	01 29 45	14. 12.	УТО	5545	05 30 15
15. 08.	НЕД	5424	21 33 12	15. 10.	ПЕТ	5485	01 33 42	15. 12.	СРЕ	5546	05 34 12
16. 08.	ПОН	5425	21 37 08	16. 10.	СУБ	5486	01 37 38	16. 12.	ЧЕТ	5547	05 38 08
17. 08.	УТО	5426	21 41 05	17. 10.	НЕД	5487	01 41 35	17. 12.	ПЕТ	5548	05 42 05
18. 08.	СРЕ	5427	21 45 02	18. 10.	ПОН	5488	01 45 31	18. 12.	СУБ	5549	05 46 01
19. 08.	ЧЕТ	5428	21 48 58	19. 10.	УТО	5489	01 49 28	19. 12.	НЕД	5550	05 49 58
20. 08.	ПЕТ	5429	21 52 55	20. 10.	СРЕ	5490	01 53 24	20. 12.	ПОН	5551	05 53 54
21. 08.	СУБ	5430	21 56 51	21. 10.	ЧЕТ	5491	01 57 21	21. 12.	УТО	5552	05 57 51
22. 08.	НЕД	5431	22 00 48	22. 10.	ПЕТ	5492	02 01 17	22. 12.	СРЕ	5553	06 01 47
23. 08.	ПОН	5432	22 04 44	23. 10.	СУБ	5493	02 05 14	23. 12.	ЧЕТ	5554	06 05 44
24. 08.	УТО	5433	22 08 41	24. 10.	НЕД	5494	02 09 11	24. 12.	ПЕТ	5555	06 09 41
25. 08.	СРЕ	5434	22 12 37	25. 10.	ПОН	5495	02 13 07	25. 12.	СУБ	5556	06 13 37
26. 08.	ЧЕТ	5435	22 16 34	26. 10.	УТО	5496	02 17 04	26. 12.	НЕД	5557	06 17 34
27. 08.	ПЕТ	5436	22 20 30	27. 10.	СРЕ	5497	02 20 60	27. 12.	ПОН	5558	06 21 30
28. 08.	СУБ	5437	22 24 27	28. 10.	ЧЕТ	5498	02 24 57	28. 12.	УТО	5559	06 25 27
29. 08.	НЕД	5438	22 28 24	29. 10.	ПЕТ	5499	02 28 53	29. 12.	СРЕ	5560	06 29 23
30. 08.	ПОН	5439	22 32 20	30. 10.	СУБ	5500	02 32 50	30. 12.	ЧЕТ	5561	06 33 20
31. 08.	УТО	5440	22 36 17	31. 10.	НЕД	5501	02 36 46	31. 12.	ПЕТ	5562	06 37 16
01. 09.	СРЕ	5441	22 40 13	01. 11.	ПОН	5502	02 40 43				

Сунце												
Зонско време						Светско време - 0h UT						
Датум	T	Израз	Залаз	Сумрак		α	δ	Δ	D	P	Bo	Lo
d m	h m	h m	h m	h m	h m	h m	o '	Aj	' "	o	o	o
01. 01.	11 42	07 18	16 06	05 30	17 54	18 45.5	-23 02	0.9833	32 32	02.1	-3.0	032.9
02. 01.	11 42	07 18	16 07	05 30	17 55	18 49.9	-22 57	0.9833	32 32	01.6	-3.1	019.8
03. 01.	11 43	07 18	16 08	05 30	17 55	18 54.3	-22 51	0.9833	32 32	01.1	-3.2	006.6
04. 01.	11 43	07 18	16 09	05 30	17 56	18 58.7	-22 45	0.9833	32 32	00.7	-3.4	353.4
05. 01.	11 44	07 18	16 10	05 30	17 57	19 03.1	-22 39	0.9833	32 32	00.2	-3.5	340.2
06. 01.	11 44	07 18	16 11	05 30	17 58	19 07.5	-22 32	0.9833	32 32	-00.3	-3.6	327.1
07. 01.	11 44	07 17	16 12	05 30	17 59	19 11.9	-22 25	0.9833	32 32	-00.8	-3.7	313.9
08. 01.	11 45	07 17	16 13	05 30	18 00	19 16.2	-22 17	0.9834	32 32	-01.3	-3.8	300.7
09. 01.	11 45	07 17	16 14	05 30	18 01	19 20.6	-22 09	0.9834	32 32	-01.8	-3.9	287.6
10. 01.	11 46	07 16	16 15	05 30	18 02	19 24.9	-22 00	0.9834	32 32	-02.2	-4.0	274.4
11. 01.	11 46	07 16	16 16	05 29	18 03	19 29.3	-21 51	0.9835	32 32	-02.7	-4.1	261.2
12. 01.	11 46	07 16	16 18	05 29	18 04	19 33.6	-21 42	0.9835	32 31	-03.2	-4.2	248.1
13. 01.	11 47	07 15	16 19	05 29	18 05	19 38.0	-21 32	0.9836	32 31	-03.7	-4.3	234.9
14. 01.	11 47	07 15	16 20	05 29	18 06	19 42.3	-21 22	0.9836	32 31	-04.1	-4.4	221.7
15. 01.	11 48	07 14	16 21	05 29	18 07	19 46.6	-21 11	0.9837	32 31	-04.6	-4.5	208.6
16. 01.	11 48	07 14	16 23	05 28	18 08	19 50.9	-20 60	0.9837	32 31	-05.1	-4.6	195.4
17. 01.	11 48	07 13	16 24	05 28	18 09	19 55.2	-20 48	0.9838	32 31	-05.5	-4.7	182.2
18. 01.	11 49	07 12	16 25	05 27	18 10	19 59.4	-20 36	0.9839	32 31	-06.0	-4.8	169.1
19. 01.	11 49	07 12	16 26	05 27	18 11	20 03.7	-20 24	0.9839	32 31	-06.5	-4.9	155.9
20. 01.	11 49	07 11	16 28	05 26	18 13	20 07.9	-20 11	0.9840	32 30	-06.9	-5.0	142.7
21. 01.	11 49	07 10	16 29	05 26	18 14	20 12.2	-19 58	0.9841	32 30	-07.4	-5.1	129.6
22. 01.	11 50	07 09	16 30	05 25	18 15	20 16.4	-19 45	0.9842	32 30	-07.8	-5.2	116.4
23. 01.	11 50	07 09	16 32	05 25	18 16	20 20.6	-19 31	0.9843	32 30	-08.3	-5.3	103.2
24. 01.	11 50	07 08	16 33	05 24	18 17	20 24.8	-19 17	0.9844	32 30	-08.7	-5.4	090.1
25. 01.	11 50	07 07	16 35	05 23	18 18	20 29.0	-19 02	0.9844	32 30	-09.2	-5.5	076.9
26. 01.	11 51	07 06	16 36	05 22	18 19	20 33.2	-18 48	0.9846	32 29	-09.6	-5.6	063.7
27. 01.	11 51	07 05	16 37	05 22	18 21	20 37.3	-18 32	0.9847	32 29	-10.0	-5.6	050.6
28. 01.	11 51	07 04	16 39	05 21	18 22	20 41.4	-18 17	0.9848	32 29	-10.5	-5.7	037.4
29. 01.	11 51	07 03	16 40	05 20	18 23	20 45.6	-18 01	0.9849	32 29	-10.9	-5.8	024.2
30. 01.	11 51	07 02	16 42	05 19	18 24	20 49.7	-17 45	0.9850	32 28	-11.3	-5.9	011.1
31. 01.	11 52	07 01	16 43	05 18	18 26	20 53.8	-17 28	0.9851	32 28	-11.7	-5.9	357.9
01. 02.	11 52	06 59	16 44	05 17	18 27	20 57.9	-17 11	0.9853	32 28	-12.1	-6.0	344.7
02. 02.	11 52	06 58	16 46	05 16	18 28	21 02.0	-16 54	0.9854	32 28	-12.5	-6.1	331.6
03. 02.	11 52	06 57	16 47	05 15	18 29	21 06.0	-16 37	0.9856	32 27	-12.9	-6.2	318.4
04. 02.	11 52	06 56	16 49	05 14	18 30	21 10.1	-16 19	0.9857	32 27	-13.3	-6.2	305.2
05. 02.	11 52	06 55	16 50	05 13	18 32	21 14.1	-16 01	0.9859	32 27	-13.7	-6.3	292.1
06. 02.	11 52	06 53	16 52	05 12	18 33	21 18.1	-15 43	0.9861	32 26	-14.1	-6.4	278.9
07. 02.	11 52	06 52	16 53	05 11	18 34	21 22.1	-15 24	0.9862	32 26	-14.5	-6.4	265.7
08. 02.	11 52	06 51	16 54	05 10	18 35	21 26.1	-15 06	0.9864	32 26	-14.9	-6.5	252.6
09. 02.	11 52	06 49	16 56	05 09	18 37	21 30.1	-14 47	0.9866	32 25	-15.2	-6.5	239.4
10. 02.	11 52	06 48	16 57	05 08	18 38	21 34.1	-14 27	0.9868	32 25	-15.6	-6.6	226.2
11. 02.	11 52	06 47	16 59	05 06	18 39	21 38.0	-14 08	0.9869	32 25	-16.0	-6.6	213.1
12. 02.	11 52	06 45	17 00	05 05	18 41	21 42.0	-13 48	0.9871	32 24	-16.3	-6.7	199.9
13. 02.	11 52	06 44	17 02	05 04	18 42	21 45.9	-13 28	0.9873	32 24	-16.7	-6.7	186.7
14. 02.	11 52	06 42	17 03	05 02	18 43	21 49.8	-13 08	0.9875	32 24	-17.0	-6.8	173.6
15. 02.	11 52	06 41	17 04	05 01	18 44	21 53.7	-12 47	0.9877	32 23	-17.4	-6.8	160.4
16. 02.	11 52	06 39	17 06	05 00	18 46	21 57.6	-12 27	0.9879	32 23	-17.7	-6.9	147.2
17. 02.	11 52	06 38	17 07	04 58	18 47	22 01.5	-12 06	0.9881	32 22	-18.0	-6.9	134.1
18. 02.	11 52	06 36	17 09	04 57	18 48	22 05.4	-11 45	0.9883	32 22	-18.3	-7.0	120.9
19. 02.	11 52	06 35	17 10	04 55	18 50	22 09.2	-11 24	0.9885	32 22	-18.7	-7.0	107.7
20. 02.	11 52	06 33	17 11	04 54	18 51	22 13.1	-11 02	0.9887	32 21	-19.0	-7.0	094.6
21. 02.	11 52	06 31	17 13	04 52	18 52	22 16.9	-10 41	0.9889	32 21	-19.3	-7.1	081.4
22. 02.	11 52	06 30	17 14	04 51	18 53	22 20.7	-10 19	0.9891	32 20	-19.6	-7.1	068.2
23. 02.	11 52	06 28	17 16	04 49	18 55	22 24.5	-09 57	0.9893	32 20	-19.9	-7.1	055.0
24. 02.	11 51	06 26	17 17	04 48	18 56	22 28.4	-09 35	0.9896	32 20	-20.1	-7.1	041.9
25. 02.	11 51	06 25	17 18	04 46	18 57	22 32.1	-09 13	0.9898	32 19	-20.4	-7.2	028.7
26. 02.	11 51	06 23	17 20	04 44	18 59	22 35.9	-08 50	0.9900	32 19	-20.7	-7.2	015.5
27. 02.	11 51	06 21	17 21	04 43	19 00	22 39.7	-08 28	0.9902	32 18	-21.0	-7.2	002.4
28. 02.	11 51	06 20	17 22	04 41	19 01	22 43.5	-08 05	0.9905	32 18	-21.2	-7.2	349.2
01. 03.	11 51	06 18	17 24	04 39	19 03	22 47.2	-07 43	0.9907	32 17	-21.5	-7.2	336.0
02. 03.	11 50	06 16	17 25	04 38	19 04	22 51.0	-07 20	0.9910	32 17	-21.7	-7.2	322.8

Сунце												
Зонско време						Светско време - 0h UT						
Датум	T	Израз	Залаз	Сумрак		α	δ	Δ	D	P	Bo	Lo
d m	h m	h m	h m	h m	h m	h m	o '	Aj	' "	o	o	o
03. 03.	11 50	06 14	17 27	04 36	19 05	22 54.7	-06 57	0.9912	32 16	-22.0	-7.2	309.7
04. 03.	11 50	06 13	17 28	04 34	19 07	22 58.4	-06 34	0.9915	32 16	-22.2	-7.2	296.5
05. 03.	11 50	06 11	17 29	04 32	19 08	23 02.2	-06 11	0.9917	32 15	-22.5	-7.3	283.3
06. 03.	11 49	06 09	17 31	04 31	19 09	23 05.9	-05 48	0.9920	32 15	-22.7	-7.3	270.1
07. 03.	11 49	06 07	17 32	04 29	19 11	23 09.6	-05 24	0.9922	32 14	-22.9	-7.3	257.0
08. 03.	11 49	06 06	17 33	04 27	19 12	23 13.3	-05 01	0.9925	32 14	-23.1	-7.3	243.8
09. 03.	11 49	06 04	17 34	04 25	19 13	23 17.0	-04 38	0.9928	32 13	-23.3	-7.3	230.6
10. 03.	11 48	06 02	17 36	04 23	19 15	23 20.7	-04 14	0.9930	32 13	-23.5	-7.2	217.4
11. 03.	11 48	06 00	17 37	04 21	19 16	23 24.4	-03 51	0.9933	32 12	-23.7	-7.2	204.3
12. 03.	11 48	05 58	17 38	04 19	19 18	23 28.0	-03 27	0.9936	32 12	-23.9	-7.2	191.1
13. 03.	11 48	05 56	17 40	04 17	19 19	23 31.7	-03 03	0.9938	32 11	-24.1	-7.2	177.9
14. 03.	11 47	05 55	17 41	04 15	19 20	23 35.4	-02 40	0.9941	32 11	-24.2	-7.2	164.7
15. 03.	11 47	05 53	17 42	04 14	19 22	23 39.1	-02 16	0.9944	32 10	-24.4	-7.2	151.5
16. 03.	11 47	05 51	17 44	04 12	19 23	23 42.7	-01 52	0.9947	32 10	-24.6	-7.2	138.4
17. 03.	11 47	05 49	17 45	04 10	19 25	23 46.4	-01 29	0.9949	32 09	-24.7	-7.1	125.2
18. 03.	11 46	05 47	17 46	04 08	19 26	23 50.0	-01 05	0.9952	32 09	-24.9	-7.1	112.0
19. 03.	11 46	05 45	17 47	04 06	19 28	23 53.7	-00 41	0.9955	32 08	-25.0	-7.1	098.8
20. 03.	11 46	05 43	17 49	04 04	19 29	23 57.3	-00 17	0.9957	32 07	-25.1	-7.1	085.6
21. 03.	11 45	05 42	17 50	04 02	19 30	00 01.0	00 06	0.9960	32 07	-25.2	-7.0	072.5
22. 03.	11 45	05 40	17 51	03 59	19 32	00 04.6	00 30	0.9963	32 06	-25.4	-7.0	059.3
23. 03.	11 45	05 38	17 53	03 57	19 33	00 08.3	00 54	0.9966	32 06	-25.5	-7.0	046.1
24. 03.	11 44	05 36	17 54	03 55	19 35	00 11.9	01 17	0.9968	32 05	-25.6	-6.9	032.9
25. 03.	11 44	05 34	17 55	03 53	19 36	00 15.6	01 41	0.9971	32 05	-25.7	-6.9	019.7
26. 03.	11 44	05 32	17 56	03 51	19 38	00 19.2	02 05	0.9974	32 04	-25.8	-6.8	006.5
27. 03.	11 44	05 30	17 58	03 49	19 39	00 22.8	02 28	0.9977	32 04	-25.8	-6.8	353.3
28. 03.	12 43	06 29	18 59	04 47	20 41	00 26.5	02 52	0.9980	32 03	-25.9	-6.8	340.2
29. 03.	12 43	06 27	19 00	04 45	20 42	00 30.1	03 15	0.9982	32 03	-26.0	-6.7	327.0
30. 03.	12 43	06 25	19 01	04 43	20 44	00 33.8	03 38	0.9985	32 02	-26.0	-6.7	313.8
31. 03.	12 42	06 23	19 03	04 41	20 46	00 37.4	04 02	0.9988	32 02	-26.1	-6.6	300.6
01. 04.	12 42	06 21	19 04	04 38	20 47	00 41.0	04 25	0.9991	32 01	-26.2	-6.6	287.4
02. 04.	12 42	06 19	19 05	04 36	20 49	00 44.7	04 48	0.9994	32 00	-26.2	-6.5	274.2
03. 04.	12 42	06 17	19 06	04 34	20 50	00 48.3	05 11	0.9997	32 00	-26.2	-6.4	261.0
04. 04.	12 41	06 16	19 08	04 32	20 52	00 52.0	05 34	1.0000	31 59	-26.2	-6.4	247.8
05. 04.	12 41	06 14	19 09	04 30	20 53	00 55.6	05 57	1.0003	31 59	-26.3	-6.3	234.6
06. 04.	12 41	06 12	19 10	04 27	20 55	00 59.3	06 20	1.0006	31 58	-26.3	-6.3	221.4
07. 04.	12 40	06 10	19 11	04 25	20 57	01 02.9	06 42	1.0009	31 58	-26.3	-6.2	208.2
08. 04.	12 40	06 08	19 13	04 23	20 58	01 06.6	07 05	1.0012	31 57	-26.3	-6.1	195.0
09. 04.	12 40	06 07	19 14	04 21	21 00	01 10.3	07 27	1.0014	31 56	-26.3	-6.1	181.8
10. 04.	12 40	06 05	19 15	04 19	21 02	01 13.9	07 50	1.0017	31 56	-26.2	-6.0	168.6
11. 04.	12 39	06 03	19 16	04 16	21 03	01 17.6	08 12	1.0020	31 55	-26.2	-5.9	155.4
12. 04.	12 39	06 01	19 18	04 14	21 05	01 21.3	08 34	1.0023	31 55	-26.2	-5.9	142.2
13. 04.	12 39	05 59	19 19	04 12	21 07	01 25.0	08 56	1.0026	31 54	-26.1	-5.8	129.0
14. 04.	12 39	05 58	19 20	04 10	21 09	01 28.7	09 17	1.0029	31 54	-26.1	-5.7	115.8
15. 04.	12 38	05 56	19 21	04 08	21 10	01 32.4	09 39	1.0032	31 53	-26.0	-5.6	102.6
16. 04.	12 38	05 54	19 23	04 05	21 12	01 36.1	10 00	1.0034	31 53	-26.0	-5.6	089.4
17. 04.	12 38	05 52	19 24	04 03	21 14	01 39.8	10 22	1.0037	31 52	-25.9	-5.5	076.2
18. 04.	12 38	05 51	19 25	04 01	21 16	01 43.5	10 43	1.0040	31 52	-25.8	-5.4	063.0
19. 04.	12 37	05 49	19 26	03 59	21 18	01 47.2	11 04	1.0043	31 51	-25.7	-5.3	049.8
20. 04.	12 37	05 47	19 28	03 56	21 19	01 50.9	11 24	1.0045	31 51	-25.7	-5.2	036.6
21. 04.	12 37	05 46	19 29	03 54	21 21	01 54.7	11 45	1.0048	31 50	-25.6	-5.1	023.4
22. 04.	12 37	05 44	19 30	03 52	21 23	01 58.4	12 05	1.0051	31 50	-25.5	-5.0	010.2
23. 04.	12 37	05 42	19 31	03 50	21 25	02 02.2	12 25	1.0053	31 49	-25.3	-5.0	357.0
24. 04.	12 36	05 41	19 33	03 47	21 27	02 05.9	12 45	1.0056	31 49	-25.2	-4.9	343.8
25. 04.	12 36	05 39	19 34	03 45	21 29	02 09.7	13 05	1.0059	31 48	-25.1	-4.8	330.5
26. 04.	12 36	05 38	19 35	03 43	21 31	02 13.5	13 25	1.0061	31 48	-25.0	-4.7	317.3
27. 04.	12 36	05 36	19 36	03 41	21 32	02 17.2	13 44	1.0064	31 47	-24.8	-4.6	304.1
28. 04.	12 36	05 35	19 38	03 39	21 34	02 21.0	14 03	1.0066	31 47	-24.7	-4.5	290.9
29. 04.	12 36	05 33	19 39	03 36	21 36	02 24.8	14 22	1.0069	31 46	-24.5	-4.4	277.7
30. 04.	12 36	05 32	19 40	03 34	21 38	02 28.6	14 40	1.0072	31 46	-24.3	-4.3	264.5
01. 05.	12 35	05 30	19 41	03 32	21 40	02 32.4	14 59	1.0074	31 45	-24.2	-4.2	251.3
02. 05.	12 35	05 29	19 43	03 30	21 42	02 36.3	15 17	1.0077	31 45	-24.0	-4.1	238.0



Сунце												
Зонско време						Светско време - 0h UT						
Датум	T	Израз	Залаз	Сумрак		α	δ	Δ	D	P	Bo	Lo
d m	h m	h m	h m	h m	h m	h m	o '	Aj	' "	o	o	o
03. 05.	12 35	05 27	19 44	03 28	21 44	02 40.1	15 35	1.0079	31 44	-23.8	-4.0	224.8
04. 05.	12 35	05 26	19 45	03 26	21 46	02 43.9	15 52	1.0082	31 44	-23.6	-3.9	211.6
05. 05.	12 35	05 24	19 46	03 23	21 48	02 47.8	16 10	1.0084	31 43	-23.4	-3.8	198.4
06. 05.	12 35	05 23	19 47	03 21	21 50	02 51.6	16 27	1.0087	31 43	-23.2	-3.7	185.2
07. 05.	12 35	05 22	19 49	03 19	21 52	02 55.5	16 43	1.0089	31 42	-23.0	-3.6	172.0
08. 05.	12 35	05 20	19 50	03 17	21 54	02 59.4	17 00	1.0092	31 42	-22.8	-3.5	158.7
09. 05.	12 35	05 19	19 51	03 15	21 56	03 03.3	17 16	1.0094	31 41	-22.5	-3.4	145.5
10. 05.	12 35	05 18	19 52	03 13	21 58	03 07.2	17 32	1.0097	31 41	-22.3	-3.3	132.3
11. 05.	12 35	05 16	19 53	03 11	22 00	03 11.1	17 48	1.0099	31 40	-22.0	-3.1	119.1
12. 05.	12 35	05 15	19 55	03 09	22 02	03 15.0	18 03	1.0101	31 40	-21.8	-3.0	105.8
13. 05.	12 35	05 14	19 56	03 07	22 04	03 18.9	18 18	1.0104	31 40	-21.5	-2.9	092.6
14. 05.	12 35	05 13	19 57	03 05	22 06	03 22.9	18 33	1.0106	31 39	-21.3	-2.8	079.4
15. 05.	12 35	05 12	19 58	03 03	22 08	03 26.8	18 47	1.0108	31 39	-21.0	-2.7	066.2
16. 05.	12 35	05 11	19 59	03 01	22 10	03 30.8	19 02	1.0110	31 38	-20.7	-2.6	052.9
17. 05.	12 35	05 10	20 00	02 59	22 12	03 34.7	19 15	1.0112	31 38	-20.4	-2.5	039.7
18. 05.	12 35	05 09	20 01	02 57	22 14	03 38.7	19 29	1.0114	31 38	-20.2	-2.4	026.5
19. 05.	12 35	05 08	20 02	02 55	22 16	03 42.7	19 42	1.0116	31 37	-19.9	-2.2	013.3
20. 05.	12 35	05 07	20 04	02 53	22 18	03 46.7	19 55	1.0118	31 37	-19.6	-2.1	000.0
21. 05.	12 35	05 06	20 05	02 51	22 20	03 50.7	20 07	1.0120	31 36	-19.3	-2.0	346.8
22. 05.	12 35	05 05	20 06	02 49	22 22	03 54.7	20 19	1.0122	31 36	-18.9	-1.9	333.6
23. 05.	12 35	05 04	20 07	02 48	22 24	03 58.7	20 31	1.0124	31 36	-18.6	-1.8	320.4
24. 05.	12 35	05 03	20 08	02 46	22 26	04 02.7	20 42	1.0126	31 35	-18.3	-1.7	307.1
25. 05.	12 35	05 02	20 09	02 44	22 28	04 06.8	20 53	1.0128	31 35	-18.0	-1.5	293.9
26. 05.	12 35	05 01	20 10	02 42	22 29	04 10.8	21 04	1.0129	31 35	-17.6	-1.4	280.7
27. 05.	12 35	05 01	20 11	02 41	22 31	04 14.9	21 14	1.0131	31 34	-17.3	-1.3	267.4
28. 05.	12 36	05 00	20 12	02 39	22 33	04 18.9	21 24	1.0133	31 34	-16.9	-1.2	254.2
29. 05.	12 36	04 59	20 12	02 38	22 35	04 23.0	21 34	1.0134	31 34	-16.6	-1.1	241.0
30. 05.	12 36	04 59	20 13	02 36	22 37	04 27.1	21 43	1.0136	31 33	-16.2	-0.9	227.7
31. 05.	12 36	04 58	20 14	02 35	22 38	04 31.1	21 52	1.0138	31 33	-15.9	-0.8	214.5
01. 06.	12 36	04 57	20 15	02 33	22 40	04 35.2	22 01	1.0139	31 33	-15.5	-0.7	201.3
02. 06.	12 36	04 57	20 16	02 32	22 42	04 39.3	22 09	1.0141	31 33	-15.1	-0.6	188.0
03. 06.	12 36	04 56	20 17	02 31	22 43	04 43.4	22 16	1.0143	31 32	-14.7	-0.5	174.8
04. 06.	12 37	04 56	20 17	02 29	22 45	04 47.5	22 24	1.0144	31 32	-14.3	-0.3	161.6
05. 06.	12 37	04 55	20 18	02 28	22 46	04 51.6	22 31	1.0146	31 32	-14.0	-0.2	148.3
06. 06.	12 37	04 55	20 19	02 27	22 47	04 55.8	22 37	1.0147	31 31	-13.6	-0.1	135.1
07. 06.	12 37	04 55	20 20	02 26	22 49	04 59.9	22 43	1.0148	31 31	-13.2	0.0	121.9
08. 06.	12 37	04 54	20 20	02 25	22 50	05 04.0	22 49	1.0150	31 31	-12.8	0.2	108.6
09. 06.	12 38	04 54	20 21	02 24	22 51	05 08.2	22 54	1.0151	31 31	-12.4	0.3	095.4
10. 06.	12 38	04 54	20 22	02 24	22 52	05 12.3	22 59	1.0152	31 30	-12.0	0.4	082.2
11. 06.	12 38	04 54	20 22	02 23	22 53	05 16.4	23 04	1.0153	31 30	-11.5	0.5	068.9
12. 06.	12 38	04 54	20 23	02 22	22 54	05 20.6	23 08	1.0154	31 30	-11.1	0.6	055.7
13. 06.	12 38	04 54	20 23	02 22	22 55	05 24.7	23 11	1.0156	31 30	-10.7	0.8	042.4
14. 06.	12 39	04 53	20 24	02 21	22 56	05 28.9	23 15	1.0157	31 30	-10.3	0.9	029.2
15. 06.	12 39	04 53	20 24	02 21	22 57	05 33.1	23 18	1.0157	31 30	-09.9	1.0	016.0
16. 06.	12 39	04 53	20 24	02 20	22 58	05 37.2	23 20	1.0158	31 29	-09.4	1.1	002.7
17. 06.	12 39	04 53	20 25	02 20	22 58	05 41.4	23 22	1.0159	31 29	-09.0	1.2	349.5
18. 06.	12 39	04 54	20 25	02 20	22 59	05 45.5	23 24	1.0160	31 29	-08.6	1.4	336.3
19. 06.	12 40	04 54	20 25	02 20	22 59	05 49.7	23 25	1.0161	31 29	-08.1	1.5	323.0
20. 06.	12 40	04 54	20 26	02 20	22 59	05 53.9	23 26	1.0161	31 29	-07.7	1.6	309.8
21. 06.	12 40	04 54	20 26	02 20	23 00	05 58.0	23 26	1.0162	31 29	-07.2	1.7	296.6
22. 06.	12 40	04 54	20 26	02 20	23 00	06 02.2	23 26	1.0163	31 29	-06.8	1.8	283.3
23. 06.	12 40	04 54	20 26	02 21	23 00	06 06.3	23 26	1.0163	31 28	-06.4	1.9	270.1
24. 06.	12 41	04 55	20 26	02 21	23 00	06 10.5	23 25	1.0164	31 28	-05.9	2.1	256.8
25. 06.	12 41	04 55	20 26	02 22	23 00	06 14.6	23 24	1.0164	31 28	-05.5	2.2	243.6
26. 06.	12 41	04 55	20 27	02 22	22 59	06 18.8	23 22	1.0165	31 28	-05.0	2.3	230.4
27. 06.	12 41	04 56	20 27	02 23	22 59	06 22.9	23 20	1.0165	31 28	-04.6	2.4	217.1
28. 06.	12 42	04 56	20 26	02 24	22 59	06 27.1	23 18	1.0165	31 28	-04.1	2.5	203.9
29. 06.	12 42	04 57	20 26	02 24	22 58	06 31.2	23 15	1.0166	31 28	-03.7	2.6	190.7
30. 06.	12 42	04 57	20 26	02 25	22 58	06 35.4	23 11	1.0166	31 28	-03.2	2.7	177.4
01. 07.	12 42	04 58	20 26	02 26	22 57	06 39.5	23 08	1.0166	31 28	-02.8	2.9	164.2
02. 07.	12 42	04 58	20 26	02 27	22 56	06 43.7	23 04	1.0167	31 28	-02.3	3.0	150.9

Сунце												
Зонско време						Светско време - 0h UT						
Датум	T	Израз	Залаз	Сумрак		α	δ	Δ	D	P	Bo	Lo
d m	h m	h m	h m	h m	h m	h m	o '	Aj	' "	o	o	o
03. 07.	12 43	04 59	20 26	02 28	22 55	06 47.8	22 59	1.0167	31 28	-01.9	3.1	137.7
04. 07.	12 43	05 00	20 25	02 30	22 55	06 51.9	22 54	1.0167	31 28	-01.4	3.2	124.5
05. 07.	12 43	05 00	20 25	02 31	22 54	06 56.0	22 49	1.0167	31 28	-00.9	3.3	111.2
06. 07.	12 43	05 01	20 25	02 32	22 53	07 00.1	22 43	1.0167	31 28	-00.5	3.4	098.0
07. 07.	12 43	05 02	20 24	02 34	22 52	07 04.3	22 37	1.0167	31 28	00.0	3.5	084.8
08. 07.	12 43	05 02	20 24	02 35	22 50	07 08.4	22 31	1.0167	31 28	00.4	3.6	071.5
09. 07.	12 44	05 03	20 23	02 37	22 49	07 12.5	22 24	1.0167	31 28	00.9	3.7	058.3
10. 07.	12 44	05 04	20 23	02 38	22 48	07 16.6	22 16	1.0167	31 28	01.3	3.8	045.1
11. 07.	12 44	05 05	20 22	02 40	22 47	07 20.6	22 09	1.0166	31 28	01.8	3.9	031.8
12. 07.	12 44	05 05	20 22	02 41	22 45	07 24.7	22 01	1.0166	31 28	02.2	4.0	018.6
13. 07.	12 44	05 06	20 21	02 43	22 44	07 28.8	21 52	1.0166	31 28	02.7	4.1	005.4
14. 07.	12 44	05 07	20 21	02 45	22 42	07 32.8	21 43	1.0165	31 28	03.1	4.2	352.1
15. 07.	12 44	05 08	20 20	02 46	22 41	07 36.9	21 34	1.0165	31 28	03.6	4.3	338.9
16. 07.	12 44	05 09	20 19	02 48	22 39	07 40.9	21 25	1.0164	31 28	04.0	4.4	325.7
17. 07.	12 44	05 10	20 18	02 50	22 37	07 45.0	21 15	1.0164	31 28	04.4	4.5	312.4
18. 07.	12 45	05 11	20 18	02 52	22 36	07 49.0	21 05	1.0163	31 28	04.9	4.6	299.2
19. 07.	12 45	05 12	20 17	02 54	22 34	07 53.0	20 54	1.0162	31 29	05.3	4.7	286.0
20. 07.	12 45	05 13	20 16	02 55	22 32	07 57.0	20 43	1.0162	31 29	05.7	4.8	272.7
21. 07.	12 45	05 14	20 15	02 57	22 30	08 01.0	20 32	1.0161	31 29	06.2	4.9	259.5
22. 07.	12 45	05 15	20 14	02 59	22 29	08 05.0	20 20	1.0160	31 29	06.6	5.0	246.3
23. 07.	12 45	05 16	20 13	03 01	22 27	08 09.0	20 08	1.0159	31 29	07.0	5.1	233.0
24. 07.	12 45	05 17	20 12	03 03	22 25	08 13.0	19 56	1.0158	31 29	07.5	5.1	219.8
25. 07.	12 45	05 18	20 11	03 05	22 23	08 16.9	19 43	1.0157	31 30	07.9	5.2	206.6
26. 07.	12 45	05 19	20 10	03 07	22 21	08 20.9	19 30	1.0156	31 30	08.3	5.3	193.4
27. 07.	12 45	05 20	20 09	03 09	22 19	08 24.8	19 17	1.0155	31 30	08.7	5.4	180.1
28. 07.	12 45	05 21	20 08	03 11	22 17	08 28.7	19 03	1.0154	31 30	09.1	5.5	166.9
29. 07.	12 45	05 22	20 07	03 13	22 15	08 32.7	18 49	1.0153	31 30	09.5	5.5	153.7
30. 07.	12 45	05 23	20 05	03 15	22 13	08 36.6	18 35	1.0152	31 30	09.9	5.6	140.4
31. 07.	12 45	05 24	20 04	03 17	22 11	08 40.5	18 21	1.0151	31 31	10.4	5.7	127.2
01. 08.	12 45	05 25	20 03	03 19	22 09	08 44.4	18 06	1.0150	31 31	10.8	5.8	114.0
02. 08.	12 45	05 26	20 02	03 20	22 07	08 48.2	17 51	1.0149	31 31	11.1	5.8	100.8
03. 08.	12 45	05 28	20 00	03 22	22 05	08 52.1	17 35	1.0148	31 31	11.5	5.9	087.5
04. 08.	12 44	05 29	19 59	03 24	22 03	08 56.0	17 19	1.0146	31 32	11.9	6.0	074.3
05. 08.	12 44	05 30	19 58	03 26	22 01	08 59.8	17 03	1.0145	31 32	12.3	6.1	061.1
06. 08.	12 44	05 31	19 56	03 28	21 58	09 03.7	16 47	1.0144	31 32	12.7	6.1	047.9
07. 08.	12 44	05 32	19 55	03 30	21 56	09 07.5	16 30	1.0142	31 32	13.1	6.2	034.6
08. 08.	12 44	05 33	19 54	03 32	21 54	09 11.3	16 14	1.0141	31 33	13.4	6.2	021.4
09. 08.	12 44	05 35	19 52	03 34	21 52	09 15.1	15 57	1.0139	31 33	13.8	6.3	008.2
10. 08.	12 44	05 36	19 51	03 36	21 50	09 18.9	15 39	1.0138	31 33	14.2	6.4	355.0
11. 08.	12 44	05 37	19 49	03 38	21 47	09 22.7	15 22	1.0136	31 34	14.5	6.4	341.8
12. 08.	12 43	05 38	19 48	03 40	21 45	09 26.5	15 04	1.0134	31 34	14.9	6.5	328.5
13. 08.	12 43	05 39	19 46	03 42	21 43	09 30.3	14 46	1.0132	31 34	15.2	6.5	315.3
14. 08.	12 43	05 40	19 45	03 43	21 41	09 34.0	14 27	1.0131	31 35	15.6	6.6	302.1
15. 08.	12 43	05 42	19 43	03 45	21 39	09 37.8	14 09	1.0129	31 35	15.9	6.6	288.9
16. 08.	12 43	05 43	19 41	03 47	21 36	09 41.5	13 50	1.0127	31 35	16.3	6.7	275.7
17. 08.	12 42	05 44	19 40	03 49	21 34	09 45.3	13 31	1.0125	31 36	16.6	6.7	262.4
18. 08.	12 42	05 45	19 38	03 51	21 32	09 49.0	13 12	1.0123	31 36	16.9	6.8	249.2
19. 08.	12 42	05 46	19 37	03 53	21 30	09 52.7	12 52	1.0121	31 36	17.3	6.8	236.0
20. 08.	12 42	05 47	19 35	03 54	21 27	09 56.4	12 33	1.0119	31 37	17.6	6.9	222.8
21. 08.	12 41	05 49	19 33	03 56	21 25	10 00.1	12 13	1.0117	31 37	17.9	6.9	209.6
22. 08.	12 41	05 50	19 32	03 58	21 23	10 03.8	11 53	1.0115	31 37	18.2	6.9	196.4
23. 08.	12 41	05 51	19 30	04 00	21 21	10 07.5	11 33	1.0113	31 38	18.5	7.0	183.2
24. 08.	12 41	05 52	19 28	04 01	21 18	10 11.2	11 13	1.0111	31 38	18.8	7.0	169.9
25. 08.	12 40	05 53	19 26	04 03	21 16	10 14.9	10 52	1.0109	31 39	19.1	7.0	156.7
26. 08.	12 40	05 55	19 25	04 05	21 14	10 18.5	10 31	1.0106	31 39	19.4	7.1	143.5
27. 08.	12 40	05 56	19 23	04 06	21 12	10 22.2	10 10	1.0104	31 39	19.7	7.1	130.3
28. 08.	12 40	05 57	19 21	04 08	21 09	10 25.8	09 49	1.0102	31 40	20.0	7.1	117.1
29. 08.	12 39	05 58	19 19	04 10	21 07	10 29.5	09 28	1.0100	31 40	20.2	7.1	103.9
30. 08.	12 39	05 59	19 18	04 11	21 05	10 33.1	09 07	1.0098	31 41	20.5	7.2	090.7
31. 08.	12 39	06 00	19 16	04 13	21 03	10 36.8	08 45	1.0095	31 41	20.8	7.2	077.5
01. 09.	12 38	06 02	19 14	04 15	21 00	10 40.4	08 24	1.0093	31 42	21.0	7.2	064.2

Сунце													
Зонско време						Светско време - 0h UT							
Датум	T	Израз	Залаз	Сумрак		α	δ	Δ	D	P	Bo	Lo	
d m	h m	h m	h m	h m	h m	h m	o '	Aj	' "	o	o	o	
02. 09.	12 38	06 03	19 12	04 16	20 58	10 44.0	08 02	1.0091	31 42	21.3	7.2	051.0	
03. 09.	12 38	06 04	19 10	04 18	20 56	10 47.6	07 40	1.0088	31 42	21.5	7.2	037.8	
04. 09.	12 37	06 05	19 09	04 20	20 54	10 51.3	07 18	1.0086	31 43	21.8	7.2	024.6	
05. 09.	12 37	06 06	19 07	04 21	20 51	10 54.9	06 56	1.0084	31 43	22.0	7.2	011.4	
06. 09.	12 37	06 07	19 05	04 23	20 49	10 58.5	06 34	1.0081	31 44	22.2	7.2	358.2	
07. 09.	12 36	06 09	19 03	04 24	20 47	11 02.1	06 11	1.0079	31 44	22.4	7.3	345.0	
08. 09.	12 36	06 10	19 01	04 26	20 45	11 05.7	05 49	1.0076	31 45	22.7	7.3	331.8	
09. 09.	12 36	06 11	18 59	04 27	20 43	11 09.3	05 26	1.0074	31 45	22.9	7.3	318.6	
10. 09.	12 35	06 12	18 57	04 29	20 40	11 12.9	05 03	1.0071	31 46	23.1	7.3	305.4	
11. 09.	12 35	06 13	18 56	04 30	20 38	11 16.5	04 41	1.0068	31 46	23.3	7.3	292.2	
12. 09.	12 35	06 15	18 54	04 32	20 36	11 20.1	04 18	1.0066	31 47	23.5	7.2	279.0	
13. 09.	12 34	06 16	18 52	04 33	20 34	11 23.7	03 55	1.0063	31 47	23.7	7.2	265.8	
14. 09.	12 34	06 17	18 50	04 35	20 32	11 27.3	03 32	1.0060	31 48	23.8	7.2	252.6	
15. 09.	12 34	06 18	18 48	04 36	20 30	11 30.8	03 09	1.0058	31 48	24.0	7.2	239.4	
16. 09.	12 33	06 19	18 46	04 38	20 27	11 34.4	02 46	1.0055	31 49	24.2	7.2	226.2	
17. 09.	12 33	06 20	18 44	04 39	20 25	11 38.0	02 23	1.0052	31 49	24.4	7.2	213.0	
18. 09.	12 32	06 22	18 42	04 40	20 23	11 41.6	01 60	1.0049	31 50	24.5	7.2	199.8	
19. 09.	12 32	06 23	18 40	04 42	20 21	11 45.2	01 36	1.0047	31 50	24.7	7.1	186.6	
20. 09.	12 32	06 24	18 39	04 43	20 19	11 48.8	01 13	1.0044	31 51	24.8	7.1	173.4	
21. 09.	12 31	06 25	18 37	04 45	20 17	11 52.4	00 50	1.0041	31 51	24.9	7.1	160.2	
22. 09.	12 31	06 26	18 35	04 46	20 15	11 55.9	00 26	1.0038	31 52	25.1	7.1	147.0	
23. 09.	12 31	06 28	18 33	04 47	20 13	11 59.5	00 03	1.0035	31 52	25.2	7.0	133.8	
24. 09.	12 30	06 29	18 31	04 49	20 11	12 03.1	-00 20	1.0033	31 53	25.3	7.0	120.6	
25. 09.	12 30	06 30	18 29	04 50	20 09	12 06.7	-00 44	1.0030	31 54	25.4	7.0	107.4	
26. 09.	12 30	06 31	18 27	04 51	20 07	12 10.3	-01 07	1.0027	31 54	25.5	6.9	094.2	
27. 09.	12 29	06 32	18 25	04 53	20 05	12 13.9	-01 30	1.0024	31 55	25.6	6.9	081.0	
28. 09.	12 29	06 34	18 23	04 54	20 03	12 17.5	-01 54	1.0021	31 55	25.7	6.9	067.8	
29. 09.	12 29	06 35	18 22	04 55	20 01	12 21.1	-02 17	1.0019	31 56	25.8	6.8	054.6	
30. 09.	12 28	06 36	18 20	04 57	19 59	12 24.7	-02 40	1.0016	31 56	25.9	6.8	041.4	
01. 10.	12 28	06 37	18 18	04 58	19 57	12 28.3	-03 04	1.0013	31 57	26.0	6.7	028.2	
02. 10.	12 28	06 38	18 16	04 59	19 55	12 32.0	-03 27	1.0010	31 57	26.0	6.7	015.0	
03. 10.	12 27	06 40	18 14	05 01	19 53	12 35.6	-03 50	1.0007	31 58	26.1	6.6	001.8	
04. 10.	12 27	06 41	18 12	05 02	19 51	12 39.2	-04 13	1.0005	31 58	26.1	6.6	348.6	
05. 10.	12 27	06 42	18 10	05 03	19 49	12 42.9	-04 36	1.0002	31 59	26.2	6.5	335.4	
06. 10.	12 26	06 43	18 09	05 05	19 47	12 46.5	-04 60	0.9999	31 59	26.2	6.5	322.2	
07. 10.	12 26	06 45	18 07	05 06	19 45	12 50.1	-05 23	0.9996	32 00	26.2	6.4	309.0	
08. 10.	12 26	06 46	18 05	05 07	19 43	12 53.8	-05 46	0.9993	32 01	26.3	6.4	295.8	
09. 10.	12 26	06 47	18 03	05 08	19 42	12 57.5	-06 08	0.9990	32 01	26.3	6.3	282.6	
10. 10.	12 25	06 48	18 01	05 10	19 40	13 01.1	-06 31	0.9988	32 02	26.3	6.2	269.4	
11. 10.	12 25	06 50	17 59	05 11	19 38	13 04.8	-06 54	0.9985	32 02	26.3	6.2	256.2	
12. 10.	12 25	06 51	17 58	05 12	19 36	13 08.5	-07 17	0.9982	32 03	26.3	6.1	243.0	
13. 10.	12 25	06 52	17 56	05 13	19 35	13 12.2	-07 39	0.9979	32 03	26.3	6.0	229.9	
14. 10.	12 24	06 54	17 54	05 15	19 33	13 15.9	-08 01	0.9976	32 04	26.2	6.0	216.7	
15. 10.	12 24	06 55	17 52	05 16	19 31	13 19.6	-08 24	0.9973	32 04	26.2	5.9	203.5	
16. 10.	12 24	06 56	17 51	05 17	19 30	13 23.3	-08 46	0.9970	32 05	26.2	5.8	190.3	
17. 10.	12 24	06 57	17 49	05 18	19 28	13 27.1	-09 08	0.9967	32 06	26.1	5.7	177.1	
18. 10.	12 23	06 59	17 47	05 20	19 26	13 30.8	-09 30	0.9964	32 06	26.1	5.7	163.9	
19. 10.	12 23	07 00	17 46	05 21	19 25	13 34.6	-09 52	0.9962	32 07	26.0	5.6	150.7	
20. 10.	12 23	07 01	17 44	05 22	19 23	13 38.3	-10 13	0.9959	32 07	25.9	5.5	137.5	
21. 10.	12 23	07 03	17 42	05 23	19 22	13 42.1	-10 35	0.9956	32 08	25.9	5.4	124.3	
22. 10.	12 23	07 04	17 41	05 25	19 20	13 45.9	-10 56	0.9953	32 08	25.8	5.3	111.1	
23. 10.	12 23	07 05	17 39	05 26	19 18	13 49.7	-11 17	0.9950	32 09	25.7	5.3	097.9	
24. 10.	12 22	07 07	17 37	05 27	19 17	13 53.5	-11 38	0.9948	32 09	25.6	5.2	084.8	
25. 10.	12 22	07 08	17 36	05 28	19 16	13 57.3	-11 59	0.9945	32 10	25.5	5.1	071.6	
26. 10.	12 22	07 09	17 34	05 30	19 14	14 01.1	-12 20	0.9942	32 10	25.4	5.0	058.4	
27. 10.	12 22	07 11	17 33	05 31	19 13	14 04.9	-12 40	0.9940	32 11	25.2	4.9	045.2	
28. 10.	12 22	07 12	17 31	05 32	19 11	14 08.8	-13 00	0.9937	32 11	25.1	4.8	032.0	
29. 10.	12 22	07 13	17 30	05 33	19 10	14 12.6	-13 20	0.9934	32 12	25.0	4.7	018.8	
30. 10.	12 22	07 15	17 28	05 34	19 09	14 16.5	-13 40	0.9932	32 12	24.8	4.6	005.6	
31. 10.	11 22	06 16	16 27	04 36	18 07	14 20.4	-13 60	0.9929	32 13	24.7	4.5	352.4	
01. 11.	11 22	06 17	16 25	04 37	18 06	14 24.3	-14 19	0.9927	32 13	24.5	4.4	339.3	

Сунце												
Зонско време						Светско време - 0h UT						
Датум	T	Излаз	Залаз	Сумрак		α	δ	Δ	D	P	Bo	Lo
d m	h m	h m	h m	h m	h m	h m	o '	Aj	' "	o	o	o
02. 11.	11 22	06 19	16 24	04 38	18 05	14 28.2	-14 39	0.9924	32 14	24.4	4.3	326.1
03. 11.	11 22	06 20	16 23	04 39	18 04	14 32.2	-14 57	0.9922	32 14	24.2	4.2	312.9
04. 11.	11 22	06 22	16 21	04 41	18 02	14 36.1	-15 16	0.9919	32 15	24.0	4.1	299.7
05. 11.	11 22	06 23	16 20	04 42	18 01	14 40.1	-15 35	0.9917	32 15	23.8	4.0	286.5
06. 11.	11 22	06 24	16 19	04 43	18 00	14 44.0	-15 53	0.9914	32 16	23.6	3.9	273.3
07. 11.	11 22	06 26	16 17	04 44	17 59	14 48.0	-16 11	0.9912	32 16	23.4	3.8	260.1
08. 11.	11 22	06 27	16 16	04 45	17 58	14 52.0	-16 28	0.9909	32 17	23.2	3.7	247.0
09. 11.	11 22	06 28	16 15	04 47	17 57	14 56.0	-16 46	0.9907	32 17	22.9	3.6	233.8
10. 11.	11 22	06 30	16 14	04 48	17 56	15 00.1	-17 03	0.9904	32 18	22.7	3.4	220.6
11. 11.	11 22	06 31	16 13	04 49	17 55	15 04.1	-17 20	0.9902	32 18	22.5	3.3	207.4
12. 11.	11 22	06 33	16 12	04 50	17 54	15 08.2	-17 36	0.9900	32 19	22.2	3.2	194.2
13. 11.	11 22	06 34	16 10	04 51	17 53	15 12.2	-17 52	0.9897	32 19	22.0	3.1	181.0
14. 11.	11 23	06 35	16 09	04 52	17 52	15 16.3	-18 08	0.9895	32 20	21.7	3.0	167.9
15. 11.	11 23	06 37	16 08	04 54	17 52	15 20.4	-18 24	0.9893	32 20	21.4	2.9	154.7
16. 11.	11 23	06 38	16 07	04 55	17 51	15 24.5	-18 39	0.9890	32 21	21.2	2.8	141.5
17. 11.	11 23	06 39	16 06	04 56	17 50	15 28.7	-18 54	0.9888	32 21	20.9	2.6	128.3
18. 11.	11 23	06 41	16 06	04 57	17 49	15 32.8	-19 09	0.9886	32 21	20.6	2.5	115.1
19. 11.	11 23	06 42	16 05	04 58	17 49	15 36.9	-19 23	0.9884	32 22	20.3	2.4	101.9
20. 11.	11 24	06 43	16 04	04 59	17 48	15 41.1	-19 37	0.9882	32 22	20.0	2.3	88.8
21. 11.	11 24	06 45	16 03	05 00	17 48	15 45.3	-19 50	0.9880	32 23	19.7	2.2	75.6
22. 11.	11 24	06 46	16 02	05 01	17 47	15 49.5	-20 03	0.9878	32 23	19.3	2.0	62.4
23. 11.	11 24	06 47	16 01	05 02	17 46	15 53.7	-20 16	0.9876	32 23	19.0	1.9	49.2
24. 11.	11 25	06 49	16 01	05 04	17 46	15 57.9	-20 29	0.9874	32 24	18.7	1.8	36.0
25. 11.	11 25	06 50	16 00	05 05	17 45	16 02.1	-20 41	0.9872	32 24	18.3	1.7	22.9
26. 11.	11 25	06 51	16 00	05 06	17 45	16 06.4	-20 52	0.9870	32 25	18.0	1.5	09.7
27. 11.	11 26	06 52	15 59	05 07	17 45	16 10.6	-21 04	0.9868	32 25	17.6	1.4	356.5
28. 11.	11 26	06 53	15 58	05 08	17 44	16 14.9	-21 15	0.9867	32 25	17.3	1.3	343.3
29. 11.	11 26	06 55	15 58	05 09	17 44	16 19.2	-21 25	0.9865	32 26	16.9	1.2	330.1
30. 11.	11 27	06 56	15 57	05 10	17 44	16 23.5	-21 35	0.9863	32 26	16.5	1.0	317.0
01. 12.	11 27	06 57	15 57	05 11	17 43	16 27.8	-21 45	0.9862	32 26	16.2	0.9	303.8
02. 12.	11 27	06 58	15 57	05 12	17 43	16 32.1	-21 54	0.9860	32 26	15.8	0.8	290.6
03. 12.	11 28	06 59	15 56	05 13	17 43	16 36.4	-22 03	0.9859	32 27	15.4	0.7	277.4
04. 12.	11 28	07 00	15 56	05 14	17 43	16 40.8	-22 11	0.9857	32 27	15.0	0.5	264.2
05. 12.	11 29	07 01	15 56	05 14	17 43	16 45.1	-22 19	0.9856	32 27	14.6	0.4	251.1
06. 12.	11 29	07 02	15 56	05 15	17 43	16 49.5	-22 27	0.9854	32 28	14.2	0.3	237.9
07. 12.	11 30	07 03	15 56	05 16	17 43	16 53.9	-22 34	0.9853	32 28	13.8	0.1	224.7
08. 12.	11 30	07 04	15 55	05 17	17 43	16 58.2	-22 41	0.9852	32 28	13.3	0.0	211.5
09. 12.	11 30	07 05	15 55	05 18	17 43	17 02.6	-22 47	0.9850	32 28	12.9	-0.1	198.4
10. 12.	11 31	07 06	15 55	05 19	17 43	17 07.0	-22 53	0.9849	32 29	12.5	-0.2	185.2
11. 12.	11 31	07 07	15 55	05 20	17 43	17 11.4	-22 58	0.9848	32 29	12.0	-0.4	172.0
12. 12.	11 32	07 08	15 55	05 20	17 43	17 15.8	-23 03	0.9846	32 29	11.6	-0.5	158.8
13. 12.	11 32	07 09	15 56	05 21	17 44	17 20.2	-23 07	0.9845	32 29	11.2	-0.6	145.7
14. 12.	11 33	07 10	15 56	05 22	17 44	17 24.6	-23 11	0.9844	32 30	10.7	-0.8	132.5
15. 12.	11 33	07 11	15 56	05 22	17 44	17 29.0	-23 15	0.9843	32 30	10.3	-0.9	119.3
16. 12.	11 34	07 11	15 56	05 23	17 44	17 33.5	-23 18	0.9842	32 30	09.8	-1.0	106.1
17. 12.	11 34	07 12	15 56	05 24	17 45	17 37.9	-23 20	0.9841	32 30	09.4	-1.1	093.0
18. 12.	11 35	07 13	15 57	05 24	17 45	17 42.3	-23 23	0.9840	32 30	08.9	-1.3	079.8
19. 12.	11 35	07 13	15 57	05 25	17 45	17 46.8	-23 24	0.9839	32 31	08.4	-1.4	066.6
20. 12.	11 36	07 14	15 58	05 26	17 46	17 51.2	-23 25	0.9838	32 31	08.0	-1.5	053.4
21. 12.	11 36	07 14	15 58	05 26	17 46	17 55.6	-23 26	0.9838	32 31	07.5	-1.6	040.3
22. 12.	11 37	07 15	15 59	05 27	17 47	18 00.1	-23 26	0.9837	32 31	07.0	-1.8	027.1
23. 12.	11 37	07 15	15 59	05 27	17 47	18 04.5	-23 26	0.9836	32 31	06.6	-1.9	013.9
24. 12.	11 38	07 16	16 00	05 27	17 48	18 08.9	-23 25	0.9836	32 31	06.1	-2.0	000.7
25. 12.	11 38	07 16	16 00	05 28	17 49	18 13.4	-23 24	0.9835	32 31	05.6	-2.1	347.6
26. 12.	11 39	07 16	16 01	05 28	17 49	18 17.8	-23 22	0.9835	32 31	05.1	-2.3	334.4
27. 12.	11 39	07 17	16 02	05 29	17 50	18 22.3	-23 20	0.9835	32 32	04.6	-2.4	321.2
28. 12.	11 40	07 17	16 02	05 29	17 51	18 26.7	-23 18	0.9834	32 32	04.2	-2.5	308.0
29. 12.	11 40	07 17	16 03	05 29	17 51	18 31.1	-23 15	0.9834	32 32	03.7	-2.6	294.9
30. 12.	11 41	07 17	16 04	05 29	17 52	18 35.5	-23 11	0.9834	32 32	03.2	-2.7	281.7
31. 12.	11 41	07 18	16 05	05 30	17 53	18 40.0	-23 07	0.9834	32 32	02.7	-2.9	268.5

Месец											
Зонско време				Светско време - 0h UT							
Датум	Т	Израз	Залаз	А	α	δ	Δ	Р	Д	L1	L2
d m	h m	h m	h m	d	h m	o '	km	%	' "	o	o
01. 01.	- -	17 06	07 46	15.5	06 57.0	23 07	361 860	100	33 50	0.93	-0.13
02. 01.	00 53	18 29	08 26	16.5	08 01.0	19 25	359 366	098	33 54	0.85	0.02
03. 01.	01 51	19 51	08 57	17.5	09 01.6	14 22	358 702	093	33 45	2.58	1.82
04. 01.	02 45	21 10	09 24	18.5	09 58.4	08 28	359 861	086	33 26	4.13	3.50
05. 01.	03 36	22 26	09 48	19.5	10 52.1	02 13	362 636	076	32 58	5.38	4.92
06. 01.	04 25	23 40	10 11	20.5	11 43.8	-04 01	366 662	066	32 26	6.25	6.02
07. 01.	05 13	- -	10 35	21.5	12 34.6	-09 52	371 503	055	31 53	6.75	6.77
08. 01.	06 01	00 52	11 01	22.5	13 25.4	-15 06	376 722	044	31 20	6.83	7.12
09. 01.	06 50	02 03	11 30	23.5	14 16.9	-19 30	381 942	034	30 50	6.57	7.13
10. 01.	07 41	03 12	12 05	24.5	15 09.6	-22 53	386 879	025	30 24	5.98	6.82
11. 01.	08 33	04 16	12 47	25.5	16 03.3	-25 08	391 349	016	30 01	5.10	6.22
12. 01.	09 26	05 14	13 37	26.5	16 57.4	-26 09	395 254	010	29 43	4.02	5.38
13. 01.	10 17	06 03	14 33	27.5	17 51.1	-25 55	398 563	005	29 28	2.75	4.35
14. 01.	11 07	06 44	15 35	28.5	18 43.5	-24 31	401 284	002	29 16	1.38	3.17
15. 01.	11 54	07 17	16 38	29.5	19 33.8	-22 03	403 437	000	29 08	0.03	1.87
16. 01.	12 39	07 44	17 42	00.7	20 21.8	-18 43	405 030	000	29 04	-0.57	0.48
17. 01.	13 22	08 08	18 45	01.7	21 07.7	-14 41	406 045	003	29 03	-1.22	0.92
18. 01.	14 03	08 28	19 47	02.7	21 51.7	-10 08	406 433	006	29 05	-4.00	-1.68
19. 01.	14 43	08 47	20 49	03.7	22 34.7	-05 14	406 113	012	29 12	-4.95	-2.33
20. 01.	15 23	09 06	21 52	04.7	23 17.2	00 08	404 990	019	29 24	-4.12	-3.10
21. 01.	16 05	09 25	22 56	05.7	00 00.3	05 00	402 966	027	29 41	-5.52	-6.00
22. 01.	16 49	09 47	- -	06.7	00 44.9	10 02	399 971	036	30 03	-5.22	-5.12
23. 01.	17 36	10 12	00 03	07.7	01 32.0	14 46	395 989	046	30 31	-5.22	-6.52
24. 01.	18 27	10 43	01 12	08.7	02 22.6	18 59	391 079	056	31 03	-5.57	-6.25
25. 01.	19 24	11 22	02 23	09.7	03 17.4	22 21	385 400	066	31 40	-4.27	-6.35
26. 01.	20 24	12 13	03 32	10.7	04 16.6	24 34	379 228	076	32 18	-3.30	-6.88
27. 01.	21 27	13 17	04 36	11.7	05 19.5	25 16	372 951	085	32 55	-2.65	-5.87
28. 01.	22 30	14 32	05 31	12.7	06 24.4	24 12	367 054	093	33 27	-0.27	-3.23
29. 01.	23 31	15 55	06 16	13.7	07 29.2	21 20	362 068	098	33 51	0.03	-2.97
30. 01.	- -	17 19	06 53	14.7	08 31.9	16 53	358 499	100	34 03	1.82	-0.93
31. 01.	00 29	18 42	07 23	15.7	09 31.7	11 14	356 739	099	34 01	3.48	1.00
01. 02.	01 23	20 03	07 49	16.7	10 28.4	04 54	356 985	095	33 46	4.90	3.00
02. 02.	02 14	21 20	08 13	17.7	11 22.9	-01 37	359 198	089	33 20	5.95	4.78
03. 02.	03 05	22 36	08 37	18.7	12 16.1	-07 54	363 110	081	32 47	6.58	6.20
04. 02.	03 55	23 50	09 03	19.7	13 08.9	-13 35	368 288	071	32 10	6.80	7.18
05. 02.	04 45	- -	09 32	20.7	14 02.0	-18 25	374 215	061	31 33	6.62	7.70
06. 02.	05 37	01 02	10 06	21.7	14 55.8	-22 11	380 381	050	30 58	6.08	7.75
07. 02.	06 29	02 09	10 46	22.7	15 50.2	-24 46	386 344	040	30 27	5.27	7.38
08. 02.	07 22	03 09	11 33	23.7	16 44.8	-26 06	391 763	030	30 01	4.22	6.67
09. 02.	08 14	04 01	12 28	24.7	17 38.9	-26 09	396 415	022	29 40	2.98	5.65
10. 02.	09 04	04 44	13 27	25.7	18 31.6	-25 01	400 179	014	29 25	1.65	4.45
11. 02.	09 52	05 19	14 30	26.7	19 22.4	-22 49	403 027	008	29 14	0.25	3.12
12. 02.	10 37	05 48	15 33	27.7	20 10.9	-19 41	404 989	004	29 07	-0.87	1.72
13. 02.	11 20	06 13	16 37	28.7	20 57.3	-15 49	406 133	001	29 04	-1.53	0.30
14. 02.	12 02	06 34	17 39	29.7	21 41.8	-11 22	406 538	000	29 05	-2.30	-0.90
15. 02.	12 43	06 54	18 42	00.9	22 25.2	-06 32	406 270	001	29 09	-3.22	-1.58
16. 02.	13 23	07 13	19 44	01.9	23 07.9	-01 29	405 372	003	29 17	-4.35	-2.35
17. 02.	14 04	07 32	20 48	02.9	23 50.9	03 40	403 856	008	29 29	-5.72	-3.25
18. 02.	14 46	07 53	21 53	03.9	00 34.9	08 42	401 706	013	29 44	-5.37	-4.28
19. 02.	15 32	08 16	23 00	04.9	01 20.8	13 27	398 892	021	30 03	-5.32	-5.52
20. 02.	16 21	08 44	- -	05.9	02 09.5	17 43	395 386	030	30 27	-5.58	-6.95
21. 02.	17 14	09 19	00 09	06.9	03 01.6	21 14	391 190	039	30 54	-4.18	-6.65
22. 02.	18 11	10 04	01 17	07.9	03 57.4	23 45	386 365	050	31 25	-3.10	-6.63
23. 02.	19 10	11 00	02 21	08.9	04 56.6	24 57	381 051	061	31 58	-2.30	-6.97
24. 02.	20 11	12 07	03 18	09.9	05 58.3	24 36	375 489	071	32 32	-1.75	-5.67
25. 02.	21 11	13 24	04 06	10.9	07 00.8	22 35	370 021	081	33 04	0.62	-4.77
26. 02.	22 09	14 45	04 45	11.9	08 02.6	18 58	365 075	089	33 29	1.10	-2.23
27. 02.	23 05	16 08	05 18	12.9	09 02.5	13 58	361 120	096	33 47	2.78	-2.00
28. 02.	23 58	17 30	05 46	13.9	10 00.3	07 59	358 597	099	33 52	4.27	0.02
01. 03.	- -	18 51	06 12	14.9	10 56.2	01 30	357 838	100	33 45	5.47	2.00
02. 03.	00 50	20 10	06 37	15.9	11 51.0	-05 03	358 989	097	33 26	6.27	3.88

Месец												
Зонско време				Светско време - 0h UT								
Датум	Т	Израз	Залаз	A	$\alpha$	$\delta$	$\Delta$	P	D	L1	L2	
d m	h m	h m	h m	d	h m	o '	km	%	' "	o	o	
03. 03.	01 42	21 28	07 03	16.9	12 45.6	-11 11	361 974	092	32 58	6.63	5.48	
04. 03.	02 34	22 43	07 31	17.9	13 40.5	-16 34	366 507	085	32 23	6.57	6.65	
05. 03.	03 27	23 54	08 04	18.9	14 36.0	-20 55	372 144	076	31 47	6.12	7.33	
06. 03.	04 21	- -	08 43	19.9	15 32.2	-24 01	378 367	067	31 11	5.35	7.52	
07. 03.	05 15	00 59	09 29	20.9	16 28.4	-25 47	384 660	057	30 38	4.32	7.22	
08. 03.	06 08	01 55	10 22	21.9	17 24.0	-26 13	390 571	047	30 10	3.12	6.50	
09. 03.	06 59	02 42	11 20	22.9	18 17.9	-25 24	395 746	037	29 47	1.80	5.48	
10. 03.	07 48	03 20	12 21	23.9	19 09.7	-23 27	399 947	028	29 30	0.43	4.23	
11. 03.	08 35	03 51	13 25	24.9	19 59.0	-20 33	403 050	020	29 19	0.93	2.85	
12. 03.	09 18	04 17	14 28	25.9	20 46.0	-16 52	405 025	013	29 13	-1.73	1.42	
13. 03.	10 01	04 39	15 31	26.9	21 31.1	-12 35	405 926	007	29 12	-2.52	0.00	
14. 03.	10 41	05 00	16 33	27.9	22 14.9	-07 51	405 860	003	29 15	-3.43	-0.67	
15. 03.	11 22	05 19	17 36	28.9	22 58.0	-02 50	404 965	001	29 21	-4.55	-1.47	
16. 03.	12 03	05 39	18 39	00.1	23 41.2	02 18	403 387	000	29 31	-5.90	-2.42	
17. 03.	12 46	05 59	19 45	01.1	00 25.4	07 23	401 259	001	29 43	-5.52	-3.52	
18. 03.	13 31	06 22	20 52	02.1	01 11.2	12 13	398 685	005	29 58	-5.43	-4.80	
19. 03.	14 18	06 49	22 00	03.1	01 59.4	16 35	395 738	010	30 16	-5.68	-4.25	
20. 03.	15 10	07 22	23 07	04.1	02 50.6	20 15	392 458	016	30 35	-4.23	-5.88	
21. 03.	16 05	08 03	- -	05.1	03 44.9	22 57	388 866	025	30 57	-3.10	-5.72	
22. 03.	17 02	08 54	00 12	06.1	04 42.2	24 26	384 987	034	31 21	-2.23	-5.75	
23. 03.	18 01	09 55	01 10	07.1	05 41.5	24 30	380 874	045	31 47	-1.60	-4.03	
24. 03.	18 59	11 06	02 00	08.1	06 41.6	23 02	376 632	056	32 12	0.87	-4.58	
25. 03.	19 56	12 22	02 41	09.1	07 41.2	20 04	372 437	067	32 37	0.75	-3.43	
26. 03.	20 50	13 42	03 15	10.1	08 39.4	15 45	368 543	078	32 59	2.37	-2.58	
27. 03.	21 43	15 01	03 44	11.1	09 35.9	10 22	365 266	087	33 14	3.83	-0.02	
28. 03.	23 35	17 21	05 11	12.1	10 31.0	04 16	362 949	094	33 22	5.08	0.33	
29. 03.	- -	18 40	05 36	13.1	11 25.3	-02 08	361 909	098	33 21	5.98	1.40	
30. 03.	00 27	19 59	06 01	14.1	12 19.7	-08 25	362 367	100	33 09	6.47	3.08	
31. 03.	01 19	21 17	06 29	15.1	13 14.8	-14 12	364 398	099	32 49	6.53	4.57	
01. 04.	02 13	22 32	07 00	16.1	14 11.0	-19 05	367 897	095	32 21	6.18	5.70	
02. 04.	03 07	23 42	07 37	17.1	15 08.4	-22 47	372 594	089	31 50	5.47	6.40	
03. 04.	04 03	- -	08 21	18.1	16 06.4	-25 09	378 089	082	31 18	4.47	6.62	
04. 04.	04 58	00 43	09 12	19.1	17 03.9	-26 05	383 923	073	30 47	3.27	6.38	
05. 04.	05 51	01 35	10 10	20.1	17 59.9	-25 40	389 630	064	30 20	1.95	5.73	
06. 04.	06 42	02 17	11 11	21.1	18 53.5	-24 02	394 796	054	29 57	0.57	4.75	
07. 04.	07 29	02 51	12 14	22.1	19 44.3	-21 23	399 090	044	29 40	0.82	3.53	
08. 04.	08 14	03 19	13 18	23.1	20 32.4	-17 54	402 285	035	29 29	-1.87	2.18	
09. 04.	08 57	03 43	14 20	24.1	21 18.3	-13 46	404 259	026	29 24	-2.63	0.77	
10. 04.	09 39	04 04	15 23	25.1	22 02.6	-09 10	404 994	019	29 24	-3.55	0.58	
11. 04.	10 19	04 24	16 25	26.1	22 46.0	-04 14	404 562	012	29 29	-4.65	-0.17	
12. 04.	11 00	04 44	17 29	27.1	23 29.4	00 52	403 106	006	29 38	-5.97	-1.08	
13. 04.	11 43	05 04	18 34	28.1	00 13.6	05 58	400 820	003	29 50	-5.57	-2.20	
14. 04.	12 27	05 26	19 41	29.1	00 59.4	10 53	397 925	000	30 05	-5.47	-3.55	
15. 04.	13 15	05 53	20 49	00.5	01 47.6	15 24	394 644	000	30 21	-5.67	-3.10	
16. 04.	14 06	06 24	21 58	01.5	02 38.8	19 15	391 179	002	30 38	-4.22	-4.87	
17. 04.	15 00	07 03	23 05	02.5	03 33.1	22 11	387 690	007	30 56	-3.07	-4.83	
18. 04.	15 58	07 51	- -	03.5	04 30.2	23 56	384 293	013	31 14	-2.20	-4.95	
19. 04.	16 56	08 50	00 05	04.5	05 29.1	24 17	381 055	021	31 31	-1.55	-3.23	
20. 04.	17 54	09 57	00 57	05.5	06 28.6	23 08	378 012	031	31 48	0.93	-3.67	
21. 04.	18 50	11 11	01 40	06.5	07 27.2	20 32	375 191	042	32 05	0.67	-2.28	
22. 04.	19 43	12 27	02 16	07.5	08 24.2	16 39	372 629	053	32 19	2.23	-1.07	
23. 04.	20 35	13 44	02 46	08.5	09 19.3	11 44	370 403	064	32 32	3.68	-0.03	
24. 04.	21 25	15 01	03 12	09.5	10 12.8	06 04	368 635	075	32 41	4.93	0.82	
25. 04.	22 15	16 18	03 37	10.5	11 05.4	00 01	367 489	084	32 45	5.87	0.45	
26. 04.	23 06	17 34	04 01	11.5	11 58.1	-06 09	367 148	092	32 43	6.43	1.77	
27. 04.	23 58	18 51	04 27	12.5	12 51.6	-11 59	367 778	097	32 35	6.58	3.03	
28. 04.	- -	20 07	04 56	13.5	13 46.6	-17 09	369 484	099	32 21	6.32	4.15	
29. 04.	00 53	21 20	05 31	14.5	14 43.4	-21 19	372 270	100	32 02	5.68	4.98	
30. 04.	01 48	22 26	06 12	15.5	15 41.6	-24 15	376 023	097	31 38	4.73	5.48	
01. 05.	02 44	23 23	07 01	16.5	16 40.2	-25 46	380 513	093	31 13	3.55	5.58	
02. 05.	03 39	- -	07 57	17.5	17 38.0	-25 51	385 421	086	30 47	2.20	5.28	

Месец												
Зонско време				Светско време - 0h UT								
Датум	Т	Израз	Залаз	А	α	δ	Δ	Р	Д	L1	L2	
d m	h m	h m	h m	d	h m	o ' "	km	%	' "	o	o	
03. 05.	04 32	00 10	08 58	18.5	18 33.6	-24 37	390 375	079	30 24	0.78	4.63	
04. 05.	05 22	00 48	10 01	19.5	19 26.4	-22 16	394 993	070	30 04	0.63	3.67	
05. 05.	06 09	01 19	11 05	20.5	20 16.1	-18 59	398 929	061	29 49	-2.00	2.48	
06. 05.	06 52	01 45	12 08	21.5	21 03.2	-15 01	401 898	052	29 39	-2.73	1.18	
07. 05.	07 34	02 07	13 11	22.5	21 48.2	-10 32	403 699	042	29 35	-3.62	0.18	
08. 05.	08 15	02 27	14 13	23.5	22 31.9	-05 42	404 230	033	29 37	-4.68	-0.50	
09. 05.	08 56	02 47	15 15	24.5	23 15.3	00 40	403 487	025	29 43	-5.97	-1.32	
10. 05.	09 37	03 07	16 19	25.5	23 59.2	04 25	401 562	017	29 55	-5.52	-2.33	
11. 05.	10 21	03 29	17 25	26.5	00 44.6	09 24	398 635	010	30 10	-5.35	-3.58	
12. 05.	11 08	03 53	18 34	27.5	01 32.4	14 03	394 953	005	30 28	-5.52	-3.12	
13. 05.	11 58	04 23	19 44	28.5	02 23.2	18 08	390 814	001	30 47	-4.02	-4.93	
14. 05.	12 52	05 00	20 53	29.5	03 17.4	21 22	386 529	000	31 06	-4.83	-3.02	
15. 05.	13 49	05 46	21 57	01.0	04 14.8	23 27	382 398	001	31 24	-3.97	-3.32	
16. 05.	14 49	06 42	22 53	02.0	05 14.5	24 09	378 671	005	31 40	-1.33	-3.83	
17. 05.	15 48	07 48	23 39	03.0	06 14.9	23 19	375 530	010	31 53	-0.88	-2.50	
18. 05.	16 46	09 02	- -	04.0	07 14.5	20 59	373 073	018	32 03	0.52	-1.28	
19. 05.	17 40	10 18	00 17	05.0	08 12.1	17 20	371 323	028	32 10	2.13	-0.15	
20. 05.	18 32	11 35	00 49	06.0	09 07.3	12 38	370 243	039	32 15	3.63	0.90	
21. 05.	19 22	12 50	01 16	07.0	10 00.3	07 12	369 769	050	32 16	4.90	0.08	
22. 05.	20 11	14 05	01 40	08.0	10 52.0	01 20	369 837	062	32 16	5.87	1.10	
23. 05.	21 00	15 19	02 04	09.0	11 43.1	-04 37	370 413	072	32 13	6.48	2.10	
24. 05.	21 50	16 34	02 29	10.0	12 34.8	-10 22	371 494	082	32 07	6.70	3.03	
25. 05.	22 42	17 49	02 56	11.0	13 27.8	-15 36	373 104	090	31 58	6.52	3.85	
26. 05.	23 36	19 02	03 28	12.0	14 22.7	-19 60	375 275	095	31 46	5.97	4.50	
27. 05.	- -	20 10	04 05	13.0	15 19.5	-23 18	378 020	099	31 31	5.07	4.90	
28. 05.	00 32	21 11	04 51	14.0	16 17.5	-25 18	381 303	100	31 14	3.92	5.03	
29. 05.	01 27	22 02	05 44	15.0	17 15.6	-25 54	385 024	099	30 55	2.58	4.85	
30. 05.	02 22	22 44	06 43	16.0	18 12.4	-25 08	389 011	096	30 37	1.15	4.37	
31. 05.	03 13	23 18	07 47	17.0	19 06.8	-23 08	393 031	091	30 19	0.32	3.60	
01. 06.	04 01	23 46	08 51	18.0	19 58.2	-20 07	396 812	084	30 04	-0.27	2.60	
02. 06.	04 47	- -	09 55	19.0	20 46.6	-16 20	400 067	077	29 52	-2.93	1.42	
03. 06.	05 29	00 09	10 58	20.0	21 32.6	-11 58	402 526	068	29 45	-3.75	0.12	
04. 06.	06 10	00 30	12 00	21.0	22 16.8	-07 13	403 961	059	29 43	-4.77	-0.78	
05. 06.	06 51	00 50	13 02	22.0	23 00.2	-02 14	404 210	049	29 46	-5.98	-1.50	
06. 06.	07 31	01 10	14 04	23.0	23 43.7	02 50	403 194	040	29 55	-5.47	-2.35	
07. 06.	08 14	01 30	15 09	24.0	00 28.3	07 50	400 931	031	30 08	-5.23	-3.40	
08. 06.	08 59	01 53	16 15	25.0	01 15.0	12 34	397 536	022	30 26	-5.32	-4.70	
09. 06.	09 47	02 21	17 25	26.0	02 04.5	16 51	393 224	014	30 47	-5.72	-4.32	
10. 06.	10 39	02 54	18 34	27.0	02 57.7	20 24	388 295	008	31 09	-4.45	-4.27	
11. 06.	11 36	03 36	19 42	28.0	03 54.5	22 55	383 117	003	31 32	-3.52	-4.57	
12. 06.	12 36	04 29	20 42	29.0	04 54.4	24 05	378 090	000	31 52	-2.87	-3.17	
13. 06.	13 37	05 33	21 34	00.5	05 55.9	23 43	373 603	000	32 09	-0.43	-2.05	
14. 06.	14 37	06 46	22 16	01.5	06 57.3	21 45	369 986	003	32 20	0.12	-1.13	
15. 06.	15 34	08 04	22 50	02.5	07 56.9	18 21	367 469	009	32 26	1.82	-0.35	
16. 06.	16 28	09 22	23 19	03.5	08 53.9	13 47	366 153	016	32 27	3.40	0.37	
17. 06.	17 19	10 40	23 45	04.5	09 48.3	08 24	366 009	026	32 22	4.77	0.92	
18. 06.	18 09	11 55	- -	05.5	10 40.6	02 34	366 900	037	32 14	5.82	2.10	
19. 06.	18 57	13 10	00 09	06.5	11 31.7	-03 23	368 628	048	32 04	6.52	3.18	
20. 06.	19 47	14 24	00 33	07.5	12 22.7	-09 08	370 974	059	31 52	6.80	4.08	
21. 06.	20 37	15 37	00 59	08.5	13 14.5	-14 25	373 744	070	31 39	6.68	4.77	
22. 06.	21 30	16 50	01 29	09.5	14 07.8	-18 56	376 785	079	31 26	6.20	5.23	
23. 06.	22 24	17 59	02 04	10.5	15 02.9	-22 28	379 999	087	31 13	5.38	5.45	
24. 06.	23 19	19 02	02 45	11.5	15 59.4	-24 49	383 325	094	30 59	4.28	5.43	
25. 06.	- -	19 56	03 35	12.5	16 56.6	-25 49	386 723	098	30 46	2.98	5.15	
26. 06.	00 13	20 41	04 32	13.5	17 53.3	-25 29	390 148	100	30 32	1.57	4.63	
27. 06.	01 05	21 17	05 34	14.5	18 48.2	-23 53	393 533	100	30 20	0.08	3.88	
28. 06.	01 55	21 47	06 38	15.5	19 40.6	-21 11	396 770	098	30 08	-0.63	2.93	
29. 06.	02 41	22 12	07 43	16.5	20 30.1	-17 37	399 716	094	29 58	-1.27	1.82	
30. 06.	03 25	22 34	08 46	17.5	21 17.1	-13 23	402 190	089	29 51	-2.02	0.58	
01. 07.	04 07	22 54	09 48	18.5	22 02.0	-08 43	403 995	082	29 47	-4.97	0.72	
02. 07.	04 47	23 14	10 50	19.5	22 45.7	-03 47	404 939	074	29 47	-4.12	-1.97	



Месец											
Зонско време				Светско време - 0h UT							
Датум	Т	Израз	Залаз	А	α	δ	Δ	Р	Д	L1	L2
d m	h m	h m	h m	d	h m	o '	km	%	' "	o	o
03. 07.	05 27	23 33	11 51	20.5	23 28.9	01 15	404 851	065	29 52	-5.53	-2.68
04. 07.	06 08	23 55	12 54	21.5	00 12.8	06 16	403 612	056	30 01	-5.22	-3.53
05. 07.	06 51	- -	13 59	22.5	00 58.2	11 04	401 173	046	30 16	-5.20	-4.57
06. 07.	07 37	00 20	15 06	23.5	01 46.0	15 29	397 570	036	30 35	-5.50	-5.85
07. 07.	08 27	00 49	16 14	24.5	02 37.2	19 17	392 944	027	30 58	-4.12	-5.45
08. 07.	09 21	01 27	17 22	25.5	03 32.0	22 11	387 538	018	31 23	-3.05	-5.40
09. 07.	10 19	02 14	18 26	26.5	04 30.5	23 54	381 699	010	31 49	-2.30	-5.75
10. 07.	11 19	03 12	19 22	27.5	05 31.8	24 08	375 855	005	32 12	-1.78	-4.50
11. 07.	12 21	04 22	20 09	28.5	06 34.0	22 46	370 477	001	32 31	0.53	-3.62
12. 07.	13 20	05 40	20 48	00.2	07 35.5	19 49	366 025	000	32 44	1.20	-1.02
13. 07.	14 17	07 01	21 20	01.2	08 34.9	15 31	362 883	002	32 50	2.88	-0.65
14. 07.	15 11	08 22	21 48	02.2	09 31.6	10 13	361 297	007	32 47	4.38	0.35
15. 07.	16 03	09 40	22 13	03.2	10 26.0	04 19	361 334	014	32 38	5.57	2.03
16. 07.	16 54	10 58	22 38	04.2	11 18.7	-01 47	362 883	024	32 23	6.38	3.57
17. 07.	17 44	12 13	23 04	05.2	12 10.6	-07 43	365 688	034	32 04	6.77	4.83
18. 07.	18 34	13 28	23 32	06.2	13 02.7	-13 10	369 407	045	31 45	6.75	5.80
19. 07.	19 26	14 41	- -	07.2	13 55.7	-17 54	373 680	056	31 25	6.32	6.42
20. 07.	20 20	15 51	00 05	08.2	14 50.0	-21 39	378 182	067	31 06	5.57	6.68
21. 07.	21 14	16 55	00 44	09.2	15 45.6	-24 15	382 657	076	30 49	4.53	6.62
22. 07.	22 08	17 51	01 31	10.2	16 41.8	-25 35	386 924	085	30 34	3.28	6.25
23. 07.	23 00	18 39	02 25	11.2	17 37.8	-25 36	390 874	091	30 21	1.90	5.63
24. 07.	23 50	19 18	03 25	12.2	18 32.5	-24 21	394 452	096	30 11	0.45	4.80
25. 07.	- -	19 50	04 28	13.2	19 25.1	-21 60	397 628	099	30 02	-1.00	3.80
26. 07.	00 37	20 16	05 32	14.2	20 15.2	-18 42	400 377	100	29 54	-1.62	2.68
27. 07.	01 22	20 39	06 36	15.2	21 02.7	-14 40	402 662	099	29 49	-2.35	1.45
28. 07.	02 04	21 00	07 39	16.2	21 48.2	-10 08	404 418	097	29 46	-3.25	0.15
29. 07.	02 45	21 19	08 40	17.2	22 32.3	-05 16	405 554	092	29 46	-4.35	-0.83
30. 07.	03 25	21 39	09 41	18.2	23 15.6	00 14	405 955	087	29 49	-5.70	-1.53
31. 07.	04 05	21 59	10 43	19.2	23 59.1	04 47	405 500	079	29 55	-5.33	-2.27
01. 08.	04 47	22 22	11 46	20.2	00 43.7	09 38	404 076	071	30 06	-5.23	-3.12
02. 08.	05 31	22 49	12 51	21.2	01 30.1	14 09	401 606	062	30 21	-5.45	-4.13
03. 08.	06 18	23 22	13 57	22.2	02 19.3	18 07	398 068	052	30 40	-5.95	-5.37
04. 08.	07 08	- -	15 03	23.2	03 11.9	21 19	393 518	042	31 03	-4.77	-6.88
05. 08.	08 03	00 03	16 08	24.2	04 07.9	23 28	388 112	032	31 28	-3.88	-6.75
06. 08.	09 01	00 55	17 07	25.2	05 07.2	24 18	382 115	022	31 55	-1.25	-5.02
07. 08.	10 02	01 58	17 58	26.2	06 08.4	23 37	375 899	014	32 20	-0.82	-5.72
08. 08.	11 02	03 11	18 41	27.2	07 10.0	21 20	369 926	007	32 42	0.50	-4.87
09. 08.	12 01	04 31	19 16	28.2	08 10.6	17 35	364 705	002	32 58	2.20	-2.40
10. 08.	12 57	05 53	19 47	29.2	09 09.2	12 36	360 729	000	33 06	3.78	-0.25
11. 08.	13 51	07 15	20 14	00.9	10 05.6	06 47	358 392	001	33 04	5.10	0.27
12. 08.	14 44	08 36	20 40	01.9	11 00.3	00 34	357 918	005	32 53	6.07	2.28
13. 08.	15 36	09 55	21 06	02.9	11 54.0	-05 37	359 314	012	32 35	6.60	4.15
14. 08.	16 28	11 12	21 34	03.9	12 47.5	-11 25	362 378	021	32 12	6.68	5.68
15. 08.	17 21	12 28	22 06	04.9	13 41.6	-16 29	366 742	031	31 47	6.35	6.82
16. 08.	18 15	13 41	22 44	05.9	14 36.5	-20 34	371 954	042	31 21	5.65	7.48
17. 08.	19 10	14 48	23 29	06.9	15 32.3	-23 30	377 554	053	30 57	4.65	7.70
18. 08.	20 04	15 47	- -	07.9	16 28.6	-25 09	383 133	063	30 36	3.43	7.52
19. 08.	20 57	16 37	00 20	08.9	17 24.5	-25 29	388 375	073	30 19	2.08	6.97
20. 08.	21 47	17 19	01 18	09.9	18 19.1	-24 34	393 060	081	30 05	0.67	6.15
21. 08.	22 35	17 52	02 20	10.9	19 11.7	-22 31	397 064	088	29 54	0.75	5.10
22. 08.	23 20	18 21	03 24	11.9	20 01.9	-19 30	400 337	093	29 47	-1.88	3.93
23. 08.	- -	18 45	04 28	12.9	20 49.7	-15 43	402 879	097	29 43	-2.62	2.67
24. 08.	00 03	19 06	05 30	13.9	21 35.5	-11 20	404 714	099	29 42	-3.50	1.35
25. 08.	00 44	19 26	06 32	14.9	22 19.9	-06 35	405 873	100	29 43	-4.58	0.03
26. 08.	01 25	19 45	07 34	15.9	23 03.5	-01 36	406 369	098	29 46	-5.92	-0.73
27. 08.	02 05	20 06	08 35	16.9	23 47.0	03 25	406 193	095	29 52	-5.50	-1.47
28. 08.	02 46	20 28	09 37	17.9	00 31.2	08 19	405 313	090	30 01	-5.37	-2.28
29. 08.	03 28	20 53	10 41	18.9	01 17.0	12 55	403 675	084	30 12	-5.52	-3.18
30. 08.	04 14	21 23	11 46	19.9	02 05.1	17 01	401 225	076	30 27	-5.97	-4.23
31. 08.	05 02	22 00	12 51	20.9	02 56.0	20 25	397 925	067	30 44	-4.72	-5.47
01. 09.	05 54	22 45	13 54	21.9	03 50.0	22 52	393 777	058	31 05	-3.73	-6.92

Месец											
Зонско време				Светско време - 0h UT							
Датум	Т	Израз	Залаз	А	α	δ	Δ	Р	Д	L1	L2
d m	h m	h m	h m	d	h m	o '	km	%	' "	o	o
02. 09.	06 49	23 42	14 54	22.9	04 46.9	24 08	388 851	047	31 29	-2.98	-6.68
03. 09.	07 46	- -	15 47	23.9	05 46.0	24 01	383 304	037	31 54	-0.43	-6.82
04. 09.	08 45	00 48	16 32	24.9	06 46.0	22 25	377 398	026	32 18	0.02	-5.37
05. 09.	09 43	02 03	17 10	25.9	07 45.8	19 19	371 498	017	32 41	1.65	-4.37
06. 09.	10 40	03 23	17 43	26.9	08 44.4	14 55	366 057	009	32 58	3.22	-3.82
07. 09.	11 35	04 44	18 12	27.9	09 41.5	09 30	361 571	003	33 08	4.60	-1.63
08. 09.	12 29	06 05	18 38	28.9	10 37.2	03 25	358 506	000	33 09	5.68	0.30
09. 09.	13 22	07 26	19 05	00.6	11 32.1	-02 53	357 217	001	33 01	6.35	1.85
10. 09.	14 16	08 47	19 34	01.6	12 26.8	-08 58	357 874	004	32 44	6.58	3.88
11. 09.	15 10	10 06	20 05	02.6	13 22.2	-14 28	360 420	010	32 20	6.35	5.62
12. 09.	16 06	11 23	20 42	03.6	14 18.4	-19 01	364 581	018	31 53	5.72	6.92
13. 09.	17 02	12 35	21 25	04.6	15 15.5	-22 25	369 927	027	31 24	4.75	7.72
14. 09.	17 57	13 38	22 16	05.6	16 12.9	-24 29	375 950	037	30 57	3.55	8.00
15. 09.	18 52	14 33	23 12	06.6	17 09.8	-25 11	382 144	048	30 32	2.22	7.82
16. 09.	19 43	15 18	- -	07.6	18 05.2	-24 35	388 070	058	30 12	0.80	7.22
17. 09.	20 32	15 54	00 13	08.6	18 58.4	-22 50	393 386	067	29 56	0.63	6.33
18. 09.	21 18	16 24	01 17	09.6	19 49.0	-20 04	397 863	076	29 45	-2.00	5.20
19. 09.	22 02	16 49	02 20	10.6	20 37.2	-16 31	401 378	084	29 39	-2.75	3.95
20. 09.	22 43	17 11	03 23	11.6	21 23.2	-12 21	403 896	090	29 37	-3.63	2.62
21. 09.	23 24	17 32	04 24	12.6	22 07.7	-07 45	405 452	095	29 38	-4.72	1.28
22. 09.	- -	17 52	05 26	13.6	22 51.4	-02 52	406 122	098	29 43	-4.03	0.03
23. 09.	00 04	18 12	06 27	14.6	23 35.0	02 07	406 003	100	29 50	-5.60	-0.73
24. 09.	00 45	18 34	07 30	15.6	00 19.2	07 03	405 188	099	29 59	-5.45	-1.58
25. 09.	01 28	18 58	08 33	16.6	01 04.8	11 44	403 755	097	30 11	-5.58	-2.52
26. 09.	02 12	19 27	09 38	17.6	01 52.5	15 58	401 751	094	30 24	-4.02	-3.57
27. 09.	03 00	20 01	10 42	18.6	02 42.8	19 33	399 201	088	30 38	-4.73	-4.75
28. 09.	03 50	20 44	11 46	19.6	03 35.8	22 14	396 107	081	30 55	-3.72	-4.08
29. 09.	04 43	21 35	12 46	20.6	04 31.5	23 48	392 470	072	31 13	-2.92	-5.62
30. 09.	05 39	22 36	13 40	21.6	05 29.1	24 04	388 312	062	31 32	-0.30	-5.37
01. 10.	06 35	23 45	14 26	22.6	06 27.6	22 56	383 699	052	31 52	0.18	-5.43
02. 10.	07 31	- -	15 06	23.6	07 26.0	20 24	378 767	041	32 13	1.37	-5.85
03. 10.	08 26	01 00	15 40	24.6	08 23.3	16 34	373 739	030	32 31	2.88	-4.65
04. 10.	09 20	02 18	16 09	25.6	09 19.4	11 40	368 928	020	32 46	4.27	-3.85
05. 10.	10 13	03 36	16 36	26.6	10 14.4	05 59	364 719	011	32 56	5.40	-1.43
06. 10.	11 06	04 56	17 03	27.6	11 08.7	00 07	361 528	005	32 59	6.17	0.72
07. 10.	11 59	06 16	17 30	28.6	12 03.3	-06 16	359 737	001	32 53	6.52	1.27
08. 10.	12 54	07 37	18 01	00.2	12 58.7	-12 02	359 621	000	32 40	6.42	3.22
09. 10.	13 50	08 56	18 36	01.2	13 55.4	-17 02	361 280	002	32 19	5.88	4.92
10. 10.	14 47	10 12	19 17	02.2	14 53.4	-20 58	364 610	007	31 53	4.97	6.25
11. 10.	15 45	11 22	20 06	03.2	15 52.2	-23 34	369 319	014	31 25	3.78	7.12
12. 10.	16 42	12 22	21 02	04.2	16 50.8	-24 45	374 973	022	30 58	2.42	7.47
13. 10.	17 36	13 12	22 03	05.2	17 47.9	-24 33	381 073	031	30 32	0.95	7.35
14. 10.	18 27	13 52	23 07	06.2	18 42.6	-23 06	387 126	041	30 10	0.50	6.82
15. 10.	19 14	14 25	- -	07.2	19 34.5	-20 36	392 700	051	29 52	-0.10	5.95
16. 10.	19 59	14 52	00 11	08.2	20 23.5	-17 16	397 459	061	29 41	-2.82	4.83
17. 10.	20 41	15 15	01 14	09.2	21 10.1	-13 17	401 177	070	29 34	-3.68	3.58
18. 10.	21 22	15 36	02 16	10.2	21 54.8	-08 50	403 737	078	29 33	-4.75	2.25
19. 10.	22 02	15 57	03 17	11.2	22 38.5	-04 05	405 122	085	29 37	-4.05	0.93
20. 10.	22 43	16 17	04 18	12.2	23 21.9	-00 50	405 400	091	29 45	-5.60	0.33
21. 10.	23 25	16 38	05 20	13.2	00 05.9	05 44	404 696	096	29 56	-5.42	-0.52
22. 10.	- -	17 02	06 24	14.2	00 51.3	10 29	403 174	099	30 10	-5.53	-1.50
23. 10.	00 10	17 30	07 28	15.2	01 38.7	14 51	401 013	100	30 25	-5.95	-2.62
24. 10.	00 57	18 03	08 34	16.2	02 28.8	18 37	398 381	099	30 41	-4.67	-3.90
25. 10.	01 47	18 43	09 39	17.2	03 21.8	21 33	395 420	096	30 58	-3.63	-3.32
26. 10.	02 39	19 32	10 40	18.2	04 17.4	23 24	392 236	091	31 14	-2.85	-4.90
27. 10.	03 34	20 31	11 36	19.2	05 14.9	23 59	388 897	085	31 30	-0.23	-4.65
28. 10.	04 30	21 37	12 24	20.2	06 13.2	23 10	385 442	076	31 45	0.27	-4.60
29. 10.	05 26	22 48	13 05	21.2	07 11.2	20 59	381 899	067	31 59	1.28	-4.77
30. 10.	06 20	- -	13 40	22.2	08 07.9	17 32	378 309	056	32 13	2.78	-3.18
31. 10.	06 13	- -	13 09	23.2	09 03.0	13 02	374 752	045	32 24	4.17	-3.88
01. 11.	07 04	00 18	13 36	24.2	09 56.7	07 44	371 368	034	32 33	5.30	-2.88

Месец											
Зонско време				Светско време - 0h UT							
Датум	Т	Израз	Залаз	А	α	δ	Δ	Р	Д	L1	L2
d m	h m	h m	h m	d	h m	o '	km	%	' "	o	o
02. 11.	07 55	01 34	14 02	25.2	10 49.7	01 56	368 359	023	32 38	6.13	-0.15
03. 11.	08 46	02 51	14 28	26.2	11 42.6	-04 02	365 985	014	32 38	6.57	0.37
04. 11.	09 38	04 09	14 57	27.2	12 36.5	-09 49	364 527	007	32 33	6.58	1.22
05. 11.	10 33	05 28	15 29	28.2	13 32.0	-15 03	364 241	002	32 22	6.15	2.78
06. 11.	11 30	06 46	16 08	29.2	14 29.3	-19 23	365 298	000	32 05	5.33	4.20
07. 11.	12 28	07 59	16 53	00.8	15 28.2	-22 31	367 739	001	31 43	4.20	5.32
08. 11.	13 26	09 05	17 47	01.8	16 27.7	-24 15	371 449	004	31 18	2.82	6.07
09. 11.	14 23	10 01	18 48	02.8	17 26.5	-24 33	376 162	010	30 53	1.32	6.40
10. 11.	15 17	10 46	19 52	03.8	18 23.2	-23 30	381 502	017	30 29	0.20	6.30
11. 11.	16 07	11 23	20 57	04.8	19 17.0	-21 18	387 034	025	30 07	-0.32	5.82
12. 11.	16 53	11 52	22 02	05.8	20 07.6	-18 10	392 322	034	29 50	-2.97	5.02
13. 11.	17 36	12 17	23 04	06.8	20 55.3	-14 21	396 973	044	29 37	-3.77	3.95
14. 11.	18 18	12 40	- -	07.8	21 40.6	-10 01	400 675	053	29 31	-4.78	2.73
15. 11.	18 59	13 00	00 06	08.8	22 24.4	-05 23	403 213	062	29 30	-4.02	1.45
16. 11.	19 39	13 20	01 07	09.8	23 07.6	00 33	404 480	071	29 35	-5.52	0.15
17. 11.	20 21	13 41	02 09	10.8	23 51.1	04 19	404 471	079	29 46	-5.28	-0.93
18. 11.	21 04	14 04	03 11	11.8	00 35.7	09 04	403 278	087	30 00	-5.37	-1.85
19. 11.	21 50	14 31	04 15	12.8	01 22.4	13 32	401 071	092	30 19	-5.73	-2.93
20. 11.	22 40	15 02	05 21	13.8	02 11.7	17 30	398 080	097	30 39	-4.40	-2.23
21. 11.	23 32	15 40	06 27	14.8	03 04.2	20 43	394 569	099	31 01	-3.35	-3.73
22. 11.	- -	16 27	07 31	15.8	03 59.9	22 55	390 808	100	31 22	-2.57	-3.45
23. 11.	00 28	17 24	08 30	16.8	04 58.0	23 52	387 045	098	31 41	-1.98	-3.38
24. 11.	01 25	18 29	09 22	17.8	05 57.3	23 25	383 481	094	31 58	0.48	-3.52
25. 11.	02 21	19 39	10 05	18.8	06 56.4	21 32	380 254	088	32 11	1.12	-3.83
26. 11.	03 16	20 53	10 42	19.8	07 54.2	18 19	377 438	080	32 20	2.67	-2.32
27. 11.	04 09	22 08	11 13	20.8	08 49.9	14 01	375 050	071	32 26	4.08	-2.98
28. 11.	05 00	23 22	11 40	21.8	09 43.7	08 54	373 079	060	32 28	5.27	-1.80
29. 11.	05 50	- -	12 05	22.8	10 36.1	03 17	371 505	049	32 28	6.15	-0.75
30. 11.	06 40	00 37	12 31	23.8	11 27.9	-02 32	370 335	037	32 24	6.65	0.17
01. 12.	07 30	01 52	12 57	24.8	12 20.2	-08 15	369 618	026	32 18	6.75	0.97
02. 12.	08 22	03 08	13 27	25.8	13 13.7	-13 31	369 445	017	32 08	6.43	2.10
03. 12.	09 16	04 24	14 01	26.8	14 09.1	-18 03	369 934	009	31 56	5.72	3.17
04. 12.	10 13	05 38	14 43	27.8	15 06.5	-21 33	371 204	004	31 40	4.67	4.08
05. 12.	11 11	06 47	15 33	28.8	16 05.2	-23 46	373 330	001	31 21	3.35	4.78
06. 12.	12 08	07 47	16 30	00.3	17 04.2	-24 34	376 312	000	31 01	1.85	5.20
07. 12.	13 04	08 38	17 34	01.3	18 02.1	-23 59	380 051	002	30 39	0.30	5.32
08. 12.	13 56	09 18	18 40	02.3	18 57.5	-22 09	384 349	006	30 18	-0.75	5.10
09. 12.	14 45	09 51	19 46	03.3	19 49.8	-19 17	388 920	011	29 59	-1.30	4.58
10. 12.	15 30	10 19	20 50	04.3	20 39.0	-15 38	393 427	018	29 44	-2.02	3.78
11. 12.	16 13	10 42	21 53	05.3	21 25.4	-11 25	397 520	027	29 32	-4.95	2.77
12. 12.	16 54	11 03	22 54	06.3	22 09.8	-06 51	400 868	035	29 26	-4.10	1.60
13. 12.	17 34	11 24	23 55	07.3	22 53.1	-02 05	403 200	045	29 25	-5.52	0.33
14. 12.	18 15	11 44	- -	08.3	23 36.1	02 45	404 321	054	29 31	-5.22	0.95
15. 12.	18 57	12 06	00 57	09.3	00 19.7	07 29	404 131	063	29 42	-5.20	-1.83
16. 12.	19 42	12 30	02 00	10.3	01 05.0	12 00	402 634	072	30 00	-5.48	-2.77
17. 12.	20 29	12 59	03 04	11.3	01 52.7	16 07	399 934	081	30 22	-4.07	-3.87
18. 12.	21 21	13 34	04 10	12.3	02 43.5	19 36	396 238	088	30 47	-4.95	-3.23
19. 12.	22 15	14 17	05 15	13.3	03 37.9	22 12	391 830	094	31 15	-2.08	-4.88
20. 12.	23 13	15 10	06 17	14.3	04 35.4	23 38	387 057	098	31 42	-1.47	-4.85
21. 12.	- -	16 14	07 13	15.3	05 35.3	23 42	382 292	100	32 08	0.98	-3.12
22. 12.	00 11	17 24	08 01	16.3	06 35.9	22 16	377 893	099	32 29	0.67	-3.65
23. 12.	01 08	18 40	08 41	17.3	07 35.8	19 23	374 166	097	32 44	2.28	-2.45
24. 12.	02 04	19 56	09 15	18.3	08 33.7	15 16	371 322	091	32 52	3.80	-1.43
25. 12.	02 57	21 12	09 44	19.3	09 29.4	10 13	369 461	084	32 53	5.08	-0.55
26. 12.	03 48	22 27	10 10	20.3	10 23.2	04 34	368 573	074	32 48	6.05	0.28
27. 12.	04 37	23 42	10 35	21.3	11 15.7	-01 18	368 558	063	32 38	6.63	0.87
28. 12.	05 27	- -	11 01	22.3	12 08.0	-07 04	369 265	052	32 24	6.82	1.97
29. 12.	06 18	00 57	11 29	23.3	13 00.8	-12 26	370 538	041	32 09	6.58	2.93
30. 12.	07 10	02 11	12 01	24.3	13 54.9	-17 06	372 244	030	31 51	5.95	3.75
31. 12.	08 04	03 24	12 39	25.3	14 50.7	-20 49	374 299	020	31 33	4.98	4.38

Меркур											
Зонско време				Светско време - 0h UT							
Датум	T	Израз	Залаз	E	$\alpha$	$\delta$	$\Delta c$	$\Delta z$	P	D	V
d m	h m	h m	h m	o	h m	o '	Aj	Aj	%	"	mag
01. 01.	12 13	07 38	16 49	08.7	19 21.3	-20 28	0.3076	0.7027	006	09.6	3.8
04. 01.	11 45	07 09	16 22	03.1	19 05.6	-20 03	0.3114	0.6751	001	10.0	5.9
07. 01.	11 17	06 39	15 55	-06.0	18 48.4	-19 51	0.3204	0.6747	003	10.0	6.0
10. 01.	10 52	06 14	15 30	-12.0	18 34.3	-19 52	0.3334	0.6988	011	09.6	2.7
13. 01.	10 32	05 55	15 10	-16.9	18 25.9	-20 04	0.3491	0.7405	021	09.1	1.4
16. 01.	10 19	05 43	14 55	-20.4	18 23.7	-20 25	0.3662	0.7927	032	08.5	0.7
19. 01.	10 11	05 37	14 45	-22.7	18 26.8	-20 49	0.3836	0.8496	042	07.9	0.3
22. 01.	10 07	05 34	14 39	-24.0	18 34.0	-21 14	0.4004	0.9072	051	07.4	0.2
25. 01.	10 06	05 35	14 37	-24.6	18 44.4	-21 35	0.4159	0.9633	058	07.0	0.1
28. 01.	10 07	05 37	14 37	-24.7	18 57.1	-21 50	0.4298	1.0166	064	06.6	0.0
31. 01.	10 09	05 40	14 39	-24.5	19 11.5	-21 57	0.4418	1.0665	069	06.3	0.0
03. 02.	10 14	05 44	14 44	-23.9	19 27.2	-21 54	0.4515	1.1127	073	06.1	0.0
06. 02.	10 19	05 48	14 50	-23.1	19 43.9	-21 42	0.4589	1.1551	077	05.8	0.0
09. 02.	10 24	05 51	14 58	-22.1	20 01.4	-21 19	0.4639	1.1937	080	05.6	-0.1
12. 02.	10 31	05 55	15 07	-20.9	20 19.4	-20 44	0.4664	1.2286	083	05.5	-0.1
15. 02.	10 37	05 58	15 18	-19.5	20 37.8	-19 59	0.4664	1.2599	085	05.3	-0.1
18. 02.	10 44	06 00	15 29	-18.1	20 56.6	-19 01	0.4639	1.2877	088	05.2	-0.2
21. 02.	10 52	06 02	15 42	-16.5	21 15.7	-17 52	0.4588	1.3118	090	05.1	-0.3
24. 02.	10 59	06 03	15 56	-14.7	21 35.1	-16 31	0.4514	1.3323	092	05.1	-0.4
27. 02.	11 07	06 04	16 11	-12.8	21 54.6	-14 58	0.4417	1.3490	093	05.0	-0.5
02. 03.	11 15	06 04	16 27	-10.8	22 14.4	-13 13	0.4297	1.3616	095	05.0	-0.6
05. 03.	11 23	06 04	16 43	-08.5	22 34.4	-11 16	0.4158	1.3695	097	04.9	-0.8
08. 03.	11 32	06 04	17 01	-06.2	22 54.6	-09 08	0.4002	1.3723	098	04.9	-1.1
11. 03.	11 40	06 03	17 19	-03.8	23 15.2	-06 49	0.3834	1.3690	099	04.9	-1.3
14. 03.	11 50	06 02	17 39	-01.7	23 36.0	-04 19	0.3660	1.3586	100	05.0	-1.5
17. 03.	11 59	06 01	17 59	02.7	23 57.1	-01 41	0.3489	1.3396	100	05.0	-1.6
20. 03.	12 08	05 59	18 19	05.4	00 18.4	01 05	0.3332	1.3108	098	05.1	-1.5
23. 03.	12 18	05 58	18 40	08.4	00 39.7	03 55	0.3202	1.2709	095	05.3	-1.4
26. 03.	12 27	05 55	19 01	11.4	01 00.8	06 44	0.3113	1.2193	089	05.5	-1.3
29. 03.	13 35	06 53	20 20	14.1	01 21.1	09 26	0.3076	1.1566	081	05.8	-1.1
01. 04.	13 42	06 49	20 37	16.4	01 40.1	11 54	0.3095	1.0850	070	06.2	-0.8
04. 04.	13 47	06 45	20 51	18.2	01 57.2	14 04	0.3170	1.0078	059	06.7	-0.5
07. 04.	13 49	06 40	21 00	19.2	02 11.7	15 51	0.3288	0.9291	048	07.3	-0.2
10. 04.	13 49	06 33	21 05	19.3	02 23.2	17 11	0.3438	0.8524	036	07.9	0.3
13. 04.	13 44	06 26	21 03	18.5	02 31.3	18 03	0.3606	0.7811	026	08.6	0.8
16. 04.	13 36	06 16	20 56	16.8	02 35.9	18 27	0.3780	0.7174	018	09.4	1.5
19. 04.	13 25	06 06	20 44	14.0	02 36.9	18 21	0.3951	0.6633	011	10.2	2.2
22. 04.	13 11	05 55	20 26	10.5	02 34.8	17 46	0.4111	0.6200	005	10.9	3.1
25. 04.	12 54	05 43	20 04	06.2	02 30.1	16 48	0.4256	0.5884	002	11.5	4.0
28. 04.	12 36	05 31	19 40	01.6	02 23.9	15 31	0.4382	0.5690	000	11.8	4.6
01. 05.	12 18	05 19	19 15	-03.8	02 17.3	14 04	0.4486	0.5616	001	12.0	4.3
04. 05.	12 00	05 07	18 52	-08.5	02 11.5	12 40	0.4568	0.5653	003	11.9	3.6
07. 05.	11 44	04 56	18 32	-12.8	02 07.3	11 26	0.4626	0.5791	006	11.6	2.8
10. 05.	11 31	04 47	18 15	-16.6	02 05.3	10 30	0.4659	0.6015	011	11.2	2.2
13. 05.	11 20	04 38	18 02	-19.6	02 05.7	09 56	0.4667	0.6312	016	10.7	1.8
16. 05.	11 11	04 30	17 53	-21.9	02 08.5	09 44	0.4649	0.6670	021	10.1	1.4
19. 05.	11 05	04 22	17 48	-23.6	02 13.7	09 53	0.4607	0.7076	026	09.5	1.1
22. 05.	11 01	04 16	17 46	-24.6	02 21.0	10 21	0.4541	0.7524	032	09.0	0.8
25. 05.	10 58	04 10	17 48	-25.1	02 30.4	11 07	0.4451	0.8007	037	08.4	0.6
28. 05.	10 58	04 05	17 52	-25.0	02 41.7	12 06	0.4338	0.8520	042	07.9	0.4
31. 05.	11 00	04 02	17 59	-24.5	02 54.7	13 18	0.4205	0.9056	048	07.4	0.2
03. 06.	11 03	03 59	18 08	-23.5	03 09.6	14 39	0.4054	0.9612	054	07.0	0.0
06. 06.	11 08	03 57	18 20	-22.1	03 26.3	16 06	0.3889	1.0180	060	06.6	-0.2
09. 06.	11 15	03 57	18 35	-20.2	03 44.8	17 38	0.3717	1.0750	066	06.3	-0.4
12. 06.	11 24	03 58	18 51	-18.0	04 05.3	19 10	0.3544	1.1311	073	06.0	-0.6
15. 06.	11 35	04 02	19 09	-15.4	04 27.8	20 39	0.3381	1.1844	080	05.7	-0.9
18. 06.	11 48	04 08	19 29	-12.4	04 52.2	22 00	0.3241	1.2327	087	05.5	-1.2
21. 06.	12 03	04 16	19 50	-09.1	05 18.5	23 08	0.3137	1.2733	093	05.3	-1.5
24. 06.	12 19	04 28	20 10	-05.6	05 46.3	23 58	0.3082	1.3037	097	05.2	-2.0
27. 06.	12 36	04 43	20 29	-02.1	06 15.0	24 25	0.3083	1.3218	100	05.1	-2.3
30. 06.	12 53	05 00	20 46	02.3	06 43.8	24 27	0.3140	1.3271	100	05.1	-2.3

Меркур												
Зонско време				Светско време - 0h UT								
Датум	Т	Израз	Залаз	Е	α	δ	Δс	Δз	Р	Д	В	
d m	h m	h m	h m	o	h m	o '	Aj	Aj	%	"	mag	
03. 07.	13 09	05 18	20 59	05.7	07 12.0	24 05	0.3246	1.3203	098	05.1	-1.9	
06. 07.	13 24	05 38	21 10	09.0	07 39.2	23 20	0.3387	1.3032	094	05.2	-1.4	
09. 07.	13 38	05 57	21 17	12.1	08 04.8	22 15	0.3551	1.2780	090	05.3	-1.0	
12. 07.	13 50	06 16	21 22	14.9	08 28.7	20 55	0.3724	1.2468	086	05.4	-0.8	
15. 07.	14 00	06 34	21 24	17.5	08 51.0	19 22	0.3896	1.2112	081	05.6	-0.6	
18. 07.	14 08	06 51	21 24	19.8	09 11.6	17 41	0.4061	1.1727	077	05.7	-0.4	
21. 07.	14 15	07 06	21 23	21.8	09 30.6	15 54	0.4211	1.1321	072	06.0	-0.2	
24. 07.	14 21	07 20	21 20	23.5	09 48.1	14 04	0.4343	1.0901	068	06.2	-0.1	
27. 07.	14 25	07 32	21 16	24.9	10 04.1	12 12	0.4455	1.0472	064	06.4	0.0	
30. 07.	14 27	07 42	21 10	26.0	10 18.6	10 21	0.4544	1.0037	060	06.7	0.1	
02. 08.	14 28	07 51	21 04	26.8	10 31.7	08 33	0.4610	0.9599	056	07.0	0.2	
05. 08.	14 28	07 58	20 56	27.3	10 43.3	06 49	0.4651	0.9160	052	07.4	0.3	
08. 08.	14 25	08 02	20 47	27.3	10 53.4	05 11	0.4667	0.8722	047	07.7	0.4	
11. 08.	14 22	08 04	20 38	27.0	11 01.6	03 43	0.4658	0.8289	042	08.1	0.5	
14. 08.	14 16	08 04	20 27	26.1	11 07.9	02 27	0.4624	0.7865	037	08.6	0.7	
17. 08.	14 08	08 00	20 15	24.6	11 12.0	01 26	0.4565	0.7459	031	09.0	0.8	
20. 08.	13 57	07 52	20 01	22.5	11 13.5	00 45	0.4482	0.7082	025	09.5	1.1	
23. 08.	13 43	07 40	19 47	19.5	11 12.2	00 28	0.4377	0.6748	018	10.0	1.5	
26. 08.	13 27	07 22	19 31	15.8	11 08.0	00 40	0.4250	0.6480	012	10.4	2.0	
29. 08.	13 08	07 00	19 15	11.3	11 00.9	01 22	0.4104	0.6305	006	10.7	2.7	
01. 09.	12 47	06 35	18 59	06.5	10 51.9	02 35	0.3944	0.6253	002	10.8	3.6	
04. 09.	12 25	06 07	18 45	-03.9	10 42.1	04 08	0.3773	0.6352	001	10.6	4.0	
07. 09.	12 05	05 40	18 32	-07.1	10 33.6	05 50	0.3599	0.6625	003	10.2	3.3	
10. 09.	11 48	05 17	18 21	-11.4	10 28.1	07 22	0.3432	0.7075	009	09.5	2.2	
13. 09.	11 36	05 00	18 14	-14.8	10 27.1	08 31	0.3283	0.7687	019	08.8	1.1	
16. 09.	11 29	04 50	18 09	-17.0	10 31.1	09 05	0.3166	0.8428	031	08.0	0.3	
19. 09.	11 27	04 47	18 06	-17.8	10 40.0	09 02	0.3094	0.9251	045	07.3	-0.2	
22. 09.	11 29	04 52	18 05	-17.6	10 53.0	08 22	0.3076	1.0098	059	06.7	-0.6	
25. 09.	11 33	05 01	18 04	-16.4	11 09.0	07 10	0.3116	1.0916	071	06.2	-0.8	
28. 09.	11 39	05 14	18 04	-14.6	11 27.0	05 32	0.3207	1.1664	081	05.8	-1.0	
01. 10.	11 47	05 29	18 03	-12.5	11 46.0	03 35	0.3339	1.2317	088	05.5	-1.1	
04. 10.	11 54	05 45	18 02	-10.2	12 05.4	01 26	0.3496	1.2865	093	05.2	-1.1	
07. 10.	12 02	06 02	18 01	-07.8	12 24.8	-00 48	0.3668	1.3312	096	05.1	-1.2	
10. 10.	12 09	06 18	17 59	-05.5	12 44.1	-03 05	0.3841	1.3665	098	04.9	-1.2	
13. 10.	12 17	06 35	17 57	-03.2	13 03.2	-05 21	0.4009	1.3933	100	04.8	-1.3	
16. 10.	12 24	06 51	17 55	-01.2	13 22.0	-07 34	0.4164	1.4126	100	04.8	-1.3	
19. 10.	12 30	07 06	17 53	01.5	13 40.7	-09 43	0.4302	1.4252	100	04.7	-1.2	
22. 10.	12 37	07 22	17 51	03.4	13 59.1	-11 47	0.4421	1.4318	100	04.7	-1.0	
25. 10.	12 44	07 37	17 49	05.2	14 17.5	-13 45	0.4518	1.4328	099	04.7	-0.8	
28. 10.	12 50	07 51	17 48	07.1	14 35.9	-15 36	0.4591	1.4286	098	04.7	-0.7	
31. 10.	11 57	07 06	16 47	08.8	14 54.3	-17 20	0.4640	1.4195	097	04.7	-0.6	
03. 11.	12 03	07 20	16 46	10.5	15 12.8	-18 56	0.4664	1.4056	096	04.8	-0.5	
06. 11.	12 10	07 33	16 46	12.1	15 31.3	-20 24	0.4663	1.3869	095	04.9	-0.4	
09. 11.	12 17	07 47	16 47	13.6	15 49.9	-21 42	0.4637	1.3634	093	04.9	-0.4	
12. 11.	12 24	07 59	16 48	15.1	16 08.6	-22 51	0.4587	1.3349	091	05.0	-0.3	
15. 11.	12 31	08 11	16 50	16.5	16 27.3	-23 50	0.4512	1.3014	089	05.2	-0.3	
18. 11.	12 38	08 22	16 53	17.8	16 45.9	-24 38	0.4413	1.2625	086	05.3	-0.3	
21. 11.	12 44	08 32	16 56	19.0	17 04.3	-25 14	0.4293	1.2182	083	05.5	-0.3	
24. 11.	12 50	08 40	17 00	20.0	17 22.2	-25 39	0.4153	1.1681	079	05.8	-0.3	
27. 11.	12 55	08 46	17 04	20.9	17 39.4	-25 50	0.3997	1.1121	074	06.1	-0.3	
30. 11.	12 59	08 49	17 08	21.4	17 55.1	-25 49	0.3829	1.0505	067	06.4	-0.3	
03. 12.	13 00	08 50	17 11	21.4	18 08.8	-25 36	0.3655	0.9836	059	06.9	-0.2	
06. 12.	12 58	08 46	17 11	20.7	18 19.3	-25 10	0.3484	0.9131	049	07.4	0.0	
09. 12.	12 51	08 36	17 07	19.0	18 25.3	-24 34	0.3328	0.8418	037	08.0	0.3	
12. 12.	12 38	08 19	16 58	15.9	18 25.1	-23 50	0.3199	0.7749	023	08.7	1.1	
15. 12.	12 18	07 55	16 42	11.2	18 17.6	-22 58	0.3111	0.7197	010	09.4	2.6	
18. 12.	11 51	07 24	16 19	05.1	18 03.5	-22 01	0.3075	0.6851	002	09.8	5.9	
21. 12.	11 22	06 50	15 55	-03.2	17 46.0	-21 07	0.3097	0.6775	001	09.9	5.9	
24. 12.	10 55	06 20	15 31	-09.5	17 30.2	-20 24	0.3173	0.6975	007	09.7	3.5	
27. 12.	10 34	05 56	15 12	-14.9	17 19.7	-20 02	0.3292	0.7395	018	09.1	1.6	
30. 12.	10 19	05 41	14 57	-18.8	17 15.9	-20 02	0.3443	0.7953	030	08.5	0.7	

Венера												
Зонско време				Светско време - 0h UT								
Датум	T	Израз	Залаз	E	$\alpha$	$\delta$	$\Delta c$	$\Delta z$	P	D	V	
d m	h m	h m	h m	o	h m	o '	AJ	AJ	%	"	mag	
01.	01.	11 31	07 10	15 52	-02.6	18 34.3	-23 39	0.7272	1.7081	100	09.9	-3.8
04.	01.	11 36	07 14	15 58	-02.0	18 50.8	-23 29	0.7275	1.7094	100	09.9	-3.8
07.	01.	11 40	07 17	16 04	-01.3	19 07.2	-23 12	0.7277	1.7104	100	09.9	-3.8
10.	01.	11 45	07 19	16 10	-00.9	19 23.5	-22 49	0.7279	1.7110	100	09.9	-3.8
13.	01.	11 49	07 21	16 17	00.9	19 39.7	-22 20	0.7280	1.7113	100	09.9	-3.8
16.	01.	11 53	07 22	16 25	01.4	19 55.8	-21 45	0.7281	1.7112	100	09.9	-3.8
19.	01.	11 57	07 23	16 32	02.0	20 11.7	-21 04	0.7282	1.7107	100	09.9	-3.8
22.	01.	12 01	07 23	16 40	02.7	20 27.5	-20 17	0.7282	1.7099	100	09.9	-3.8
25.	01.	12 05	07 23	16 48	03.4	20 43.1	-19 25	0.7283	1.7087	100	09.9	-3.8
28.	01.	12 09	07 22	16 56	04.1	20 58.5	-18 27	0.7282	1.7072	100	09.9	-3.8
31.	01.	12 12	07 21	17 04	04.8	21 13.8	-17 25	0.7282	1.7053	100	09.9	-3.8
03.	02.	12 15	07 19	17 12	05.5	21 28.8	-16 19	0.7281	1.7031	100	09.9	-3.8
06.	02.	12 18	07 17	17 21	06.2	21 43.6	-15 08	0.7280	1.7005	099	10.0	-3.8
09.	02.	12 21	07 14	17 29	06.9	21 58.3	-13 54	0.7278	1.6975	099	10.0	-3.8
12.	02.	12 24	07 11	17 37	07.6	22 12.8	-12 37	0.7276	1.6942	099	10.0	-3.8
15.	02.	12 26	07 08	17 45	08.3	22 27.2	-11 16	0.7274	1.6905	099	10.0	-3.8
18.	02.	12 29	07 04	17 53	09.0	22 41.3	-09 52	0.7272	1.6864	099	10.0	-3.8
21.	02.	12 31	07 01	18 02	09.7	22 55.4	-08 27	0.7269	1.6819	099	10.1	-3.8
24.	02.	12 33	06 57	18 10	10.5	23 09.3	-06 59	0.7266	1.6771	098	10.1	-3.8
27.	02.	12 35	06 53	18 18	11.2	23 23.2	-05 30	0.7263	1.6718	098	10.1	-3.8
02.	03.	12 37	06 49	18 26	11.9	23 36.9	-03 59	0.7259	1.6662	098	10.2	-3.8
05.	03.	12 39	06 44	18 34	12.6	23 50.6	-02 27	0.7256	1.6601	098	10.2	-3.8
08.	03.	12 40	06 40	18 41	13.3	00 04.2	-00 55	0.7252	1.6537	097	10.2	-3.8
11.	03.	12 42	06 36	18 49	14.1	00 17.8	00 37	0.7248	1.6468	097	10.3	-3.8
14.	03.	12 44	06 31	18 57	14.8	00 31.4	02 10	0.7244	1.6395	097	10.3	-3.8
17.	03.	12 46	06 27	19 05	15.5	00 44.9	03 42	0.7240	1.6318	096	10.4	-3.8
20.	03.	12 47	06 23	19 13	16.3	00 58.6	05 14	0.7236	1.6237	096	10.4	-3.8
23.	03.	12 49	06 18	19 21	17.0	01 12.2	06 44	0.7232	1.6151	096	10.5	-3.8
26.	03.	12 51	06 14	19 29	17.7	01 25.9	08 13	0.7228	1.6060	095	10.5	-3.8
29.	03.	13 53	07 10	20 37	18.4	01 39.7	09 41	0.7224	1.5966	095	10.6	-3.8
01.	04.	13 55	07 06	20 45	19.2	01 53.6	11 06	0.7220	1.5866	095	10.7	-3.8
04.	04.	13 57	07 03	20 53	19.9	02 07.6	12 29	0.7216	1.5763	094	10.7	-3.8
07.	04.	14 00	06 59	21 02	20.6	02 21.8	13 50	0.7212	1.5655	094	10.8	-3.8
10.	04.	14 02	06 56	21 10	21.4	02 36.0	15 07	0.7208	1.5542	093	10.9	-3.8
13.	04.	14 05	06 53	21 18	22.1	02 50.5	16 21	0.7205	1.5425	093	11.0	-3.8
16.	04.	14 08	06 50	21 26	22.8	03 05.0	17 32	0.7202	1.5302	092	11.1	-3.8
19.	04.	14 11	06 48	21 34	23.6	03 19.8	18 38	0.7199	1.5176	091	11.1	-3.8
22.	04.	14 14	06 46	21 42	24.3	03 34.7	19 40	0.7196	1.5044	091	11.2	-3.8
25.	04.	14 17	06 45	21 50	25.1	03 49.7	20 37	0.7193	1.4908	090	11.3	-3.8
28.	04.	14 20	06 44	21 58	25.8	04 04.9	21 30	0.7191	1.4767	090	11.5	-3.8
01.	05.	14 24	06 43	22 05	26.5	04 20.2	22 17	0.7189	1.4621	089	11.6	-3.8
04.	05.	14 27	06 43	22 12	27.2	04 35.7	22 59	0.7187	1.4471	088	11.7	-3.8
07.	05.	14 31	06 44	22 19	28.0	04 51.3	23 34	0.7186	1.4317	088	11.8	-3.8
10.	05.	14 35	06 45	22 26	28.7	05 07.0	24 04	0.7185	1.4158	087	12.0	-3.9
13.	05.	14 39	06 47	22 32	29.4	05 22.8	24 28	0.7184	1.3994	086	12.1	-3.9
16.	05.	14 43	06 50	22 37	30.1	05 38.6	24 46	0.7184	1.3826	085	12.2	-3.9
19.	05.	14 47	06 53	22 42	30.8	05 54.5	24 57	0.7184	1.3654	085	12.4	-3.9
22.	05.	14 51	06 56	22 46	31.6	06 10.3	25 02	0.7185	1.3477	084	12.6	-3.9
25.	05.	14 55	07 00	22 50	32.3	06 26.1	25 00	0.7185	1.3296	083	12.7	-3.9
28.	05.	14 59	07 05	22 53	33.0	06 41.9	24 52	0.7186	1.3112	082	12.9	-3.9
31.	05.	15 03	07 10	22 55	33.6	06 57.6	24 38	0.7188	1.2923	081	13.1	-3.9
03.	06.	15 07	07 16	22 57	34.3	07 13.1	24 17	0.7190	1.2730	080	13.3	-3.9
06.	06.	15 10	07 22	22 58	35.0	07 28.5	23 51	0.7192	1.2534	079	13.5	-3.9
09.	06.	15 14	07 28	22 58	35.7	07 43.8	23 18	0.7194	1.2334	078	13.7	-3.9
12.	06.	15 17	07 35	22 58	36.3	07 58.8	22 40	0.7197	1.2131	077	13.9	-3.9
15.	06.	15 20	07 42	22 57	37.0	08 13.7	21 57	0.7200	1.1924	076	14.2	-3.9
18.	06.	15 22	07 48	22 56	37.6	08 28.3	21 08	0.7203	1.1714	075	14.4	-3.9
21.	06.	15 25	07 55	22 54	38.2	08 42.7	20 15	0.7206	1.1501	074	14.7	-3.9
24.	06.	15 27	08 03	22 51	38.8	08 56.9	19 17	0.7210	1.1285	073	15.0	-4.0
27.	06.	15 29	08 10	22 48	39.4	09 10.8	18 14	0.7213	1.1066	072	15.3	-4.0
30.	06.	15 31	08 17	22 45	40.0	09 24.5	17 08	0.7217	1.0845	071	15.6	-4.0

Венера											
Зонско време				Светско време - 0h UT							
Датум	Т	Израз	Залаз	Е	α	δ	Δс	Δз	Р	D	V
d m	h m	h m	h m	o	h m	o '	Aj	Aj	%	"	mag
03. 07.	15 33	08 24	22 41	40.6	09 38.0	15 58	0.7221	1.0622	070	15.9	-4.0
06. 07.	15 34	08 30	22 37	41.1	09 51.2	14 45	0.7225	1.0396	069	16.3	-4.0
09. 07.	15 35	08 37	22 32	41.6	10 04.2	13 29	0.7229	1.0168	068	16.6	-4.0
12. 07.	15 36	08 44	22 27	42.2	10 16.9	12 10	0.7233	0.9938	067	17.0	-4.0
15. 07.	15 37	08 50	22 22	42.6	10 29.4	10 49	0.7238	0.9706	065	17.4	-4.0
18. 07.	15 37	08 56	22 17	43.1	10 41.7	09 26	0.7242	0.9473	064	17.9	-4.0
21. 07.	15 37	09 03	22 11	43.5	10 53.8	08 01	0.7246	0.9238	063	18.3	-4.1
24. 07.	15 37	09 08	22 05	43.9	11 05.7	06 35	0.7250	0.9002	062	18.8	-4.1
27. 07.	15 37	09 14	21 59	44.3	11 17.5	05 08	0.7253	0.8765	060	19.3	-4.1
30. 07.	15 37	09 20	21 53	44.7	11 29.0	03 40	0.7257	0.8526	059	19.8	-4.1
02. 08.	15 36	09 25	21 47	45.0	11 40.3	02 11	0.7261	0.8288	058	20.4	-4.1
05. 08.	15 36	09 30	21 40	45.3	11 51.5	00 42	0.7264	0.8049	056	21.0	-4.2
08. 08.	15 35	09 35	21 33	45.5	12 02.4	-00 47	0.7267	0.7809	055	21.7	-4.2
11. 08.	15 34	09 40	21 26	45.7	12 13.3	-02 15	0.7270	0.7569	053	22.4	-4.2
14. 08.	15 33	09 45	21 19	45.8	12 23.9	-03 43	0.7273	0.7330	052	23.1	-4.2
17. 08.	15 31	09 49	21 12	45.9	12 34.3	-05 10	0.7275	0.7090	050	23.9	-4.2
20. 08.	15 30	09 54	21 05	46.0	12 44.6	-06 36	0.7277	0.6851	049	24.7	-4.3
23. 08.	15 28	09 57	20 57	45.9	12 54.7	-08 01	0.7279	0.6612	047	25.6	-4.3
26. 08.	15 26	10 01	20 49	45.8	13 04.5	-09 24	0.7280	0.6374	045	26.5	-4.3
29. 08.	15 23	10 04	20 42	45.7	13 14.1	-10 45	0.7281	0.6138	044	27.6	-4.3
01. 09.	15 21	10 07	20 34	45.4	13 23.5	-12 03	0.7282	0.5904	042	28.7	-4.3
04. 09.	15 18	10 10	20 25	45.0	13 32.5	-13 19	0.7282	0.5671	040	29.8	-4.4
07. 09.	15 15	10 12	20 17	44.6	13 41.2	-14 32	0.7282	0.5441	038	31.1	-4.4
10. 09.	15 11	10 14	20 08	44.0	13 49.5	-15 42	0.7282	0.5213	036	32.5	-4.4
13. 09.	15 07	10 15	19 59	43.3	13 57.4	-16 49	0.7282	0.4989	034	33.9	-4.4
16. 09.	15 03	10 15	19 50	42.4	14 04.8	-17 51	0.7281	0.4768	032	35.5	-4.5
19. 09.	14 58	10 14	19 40	41.3	14 11.5	-18 49	0.7279	0.4552	029	37.2	-4.5
22. 09.	14 52	10 12	19 30	40.1	14 17.6	-19 42	0.7278	0.4340	027	39.0	-4.5
25. 09.	14 45	10 09	19 20	38.7	14 22.9	-20 30	0.7276	0.4135	025	40.9	-4.5
28. 09.	14 37	10 05	19 09	37.0	14 27.2	-21 11	0.7274	0.3938	022	43.0	-4.5
01. 10.	14 29	09 59	18 58	35.1	14 30.6	-21 46	0.7271	0.3749	019	45.1	-4.5
04. 10.	14 19	09 52	18 46	32.9	14 32.8	-22 13	0.7269	0.3570	017	47.4	-4.4
07. 10.	14 08	09 42	18 33	30.3	14 33.8	-22 31	0.7266	0.3402	014	49.7	-4.4
10. 10.	13 56	09 31	18 20	27.5	14 33.5	-22 40	0.7262	0.3248	011	52.1	-4.4
13. 10.	13 42	09 17	18 07	24.3	14 31.8	-22 38	0.7259	0.3109	009	54.4	-4.3
16. 10.	13 27	09 01	17 53	20.8	14 28.8	-22 23	0.7255	0.2987	006	56.6	-4.2
19. 10.	13 11	08 42	17 39	17.0	14 24.5	-21 57	0.7252	0.2885	004	58.6	-4.1
22. 10.	12 53	08 22	17 26	13.1	14 19.2	-21 17	0.7248	0.2806	002	60.3	-4.0
25. 10.	12 36	08 00	17 12	09.3	14 13.1	-20 25	0.7244	0.2750	001	61.5	-3.7
28. 10.	12 17	07 36	16 59	06.4	14 06.7	-19 23	0.7240	0.2720	001	62.2	-3.7
31. 10.	10 59	06 13	15 46	-06.4	14 00.3	-18 13	0.7236	0.2717	001	62.3	-3.7
03. 11.	10 42	05 50	15 34	-09.3	13 54.4	-16 59	0.7232	0.2740	001	61.8	-3.7
06. 11.	10 25	05 27	15 23	-13.2	13 49.3	-15 45	0.7228	0.2788	003	60.7	-3.8
09. 11.	10 09	05 07	15 13	-17.2	13 45.3	-14 35	0.7223	0.2860	004	59.2	-4.0
12. 11.	09 55	04 48	15 03	-21.0	13 42.5	-13 30	0.7220	0.2955	006	57.3	-4.1
15. 11.	09 42	04 30	14 54	-24.6	13 41.0	-12 34	0.7216	0.3070	009	55.1	-4.2
18. 11.	09 30	04 15	14 45	-27.9	13 41.0	-11 48	0.7212	0.3204	012	52.8	-4.3
21. 11.	09 20	04 02	14 37	-30.8	13 42.2	-11 12	0.7208	0.3353	014	50.5	-4.4
24. 11.	09 11	03 52	14 30	-33.4	13 44.8	-10 47	0.7205	0.3515	017	48.1	-4.4
27. 11.	09 03	03 42	14 23	-35.7	13 48.4	-10 32	0.7202	0.3690	020	45.9	-4.4
30. 11.	08 56	03 35	14 16	-37.7	13 53.2	-10 26	0.7199	0.3874	023	43.7	-4.4
03. 12.	08 50	03 29	14 10	-39.4	13 58.9	-10 29	0.7196	0.4066	025	41.6	-4.5
06. 12.	08 44	03 25	14 04	-40.9	14 05.5	-10 39	0.7193	0.4266	028	39.7	-4.5
09. 12.	08 40	03 21	13 58	-42.1	14 12.8	-10 56	0.7191	0.4471	030	37.8	-4.4
12. 12.	08 36	03 19	13 53	-43.2	14 20.9	-11 19	0.7189	0.4681	033	36.1	-4.4
15. 12.	08 33	03 18	13 48	-44.1	14 29.5	-11 47	0.7188	0.4896	035	34.6	-4.4
18. 12.	08 31	03 18	13 43	-44.9	14 38.8	-12 18	0.7186	0.5113	037	33.1	-4.4
21. 12.	08 29	03 18	13 39	-45.5	14 48.6	-12 53	0.7185	0.5334	039	31.7	-4.4
24. 12.	08 27	03 19	13 35	-46.0	14 58.8	-13 30	0.7185	0.5557	041	30.4	-4.4
27. 12.	08 26	03 21	13 31	-46.3	15 09.5	-14 09	0.7185	0.5782	043	29.3	-4.4
30. 12.	08 26	03 23	13 27	-46.6	15 20.7	-14 50	0.7185	0.6009	045	28.2	-4.3

Марс									
Зонско време				Светско време - 0h UT					
Датум	Т	Израз	Залаз	$\alpha$	$\delta$	$\Delta c$	$\Delta z$	D	V
d m	h m	h m	h m	h m	o '	Aj	Aj	"	mag
01. 01.	02 26	19 00	09 47	09 29.9	18 45	1.6278	0.7389	12.7	-0.7
07. 01.	01 58	18 29	09 22	09 25.5	19 21	1.6326	0.7104	13.2	-0.9
13. 01.	01 28	17 55	08 55	09 19.2	20 03	1.6372	0.6881	13.6	-1.0
19. 01.	00 56	17 20	08 27	09 11.3	20 48	1.6414	0.6726	13.9	-1.1
25. 01.	00 24	16 43	07 58	09 02.1	21 34	1.6453	0.6649	14.1	-1.1
31. 01.	23 45	16 06	07 29	08 52.2	22 17	1.6489	0.6651	14.1	-1.2
06. 02.	23 11	15 30	06 58	08 42.5	22 53	1.6521	0.6735	13.9	-1.1
12. 02.	22 39	14 55	06 28	08 33.4	23 21	1.6551	0.6898	13.6	-1.0
18. 02.	22 08	14 22	05 59	08 25.7	23 39	1.6576	0.7135	13.1	-0.9
24. 02.	21 39	13 52	05 30	08 19.7	23 49	1.6599	0.7437	12.6	-0.7
02. 03.	21 11	13 25	05 02	08 15.7	23 49	1.6618	0.7796	12.0	-0.6
08. 03.	20 46	13 00	04 36	08 13.6	23 43	1.6633	0.8203	11.4	-0.4
14. 03.	20 23	12 38	04 11	08 13.5	23 30	1.6645	0.8649	10.8	-0.3
20. 03.	20 01	12 17	03 48	08 15.2	23 12	1.6653	0.9127	10.3	-0.1
26. 03.	19 41	11 59	03 26	08 18.5	22 49	1.6658	0.9629	09.7	0.0
01. 04.	20 22	12 43	04 04	08 23.2	22 21	1.6659	1.0149	09.2	0.2
07. 04.	20 05	12 28	03 44	08 29.2	21 50	1.6657	1.0682	08.8	0.3
13. 04.	19 48	12 15	03 24	08 36.2	21 14	1.6651	1.1224	08.3	0.4
19. 04.	19 33	12 02	03 06	08 44.2	20 34	1.6641	1.1772	08.0	0.5
25. 04.	19 18	11 51	02 47	08 52.9	19 50	1.6628	1.2320	07.6	0.6
01. 05.	19 04	11 41	02 29	09 02.3	19 02	1.6612	1.2866	07.3	0.7
07. 05.	18 50	11 31	02 11	09 12.3	18 10	1.6592	1.3408	07.0	0.8
13. 05.	18 37	11 22	01 54	09 22.7	17 15	1.6568	1.3946	06.7	0.9
19. 05.	18 24	11 14	01 36	09 33.5	16 15	1.6541	1.4475	06.5	1.0
25. 05.	18 12	11 06	01 19	09 44.6	15 12	1.6511	1.4995	06.2	1.0
31. 05.	17 59	10 59	01 02	09 56.1	14 06	1.6477	1.5504	06.0	1.1
06. 06.	17 47	10 52	00 45	10 07.7	12 56	1.6440	1.6001	05.8	1.1
12. 06.	17 36	10 46	00 28	10 19.6	11 43	1.6400	1.6486	05.7	1.2
18. 06.	17 24	10 39	00 11	10 31.7	10 27	1.6356	1.6957	05.5	1.2
24. 06.	17 13	10 34	23 51	10 44.0	09 08	1.6310	1.7413	05.4	1.3
30. 06.	17 02	10 28	23 35	10 56.4	07 46	1.6261	1.7854	05.2	1.3
06. 07.	16 51	10 23	23 18	11 09.0	06 22	1.6208	1.8280	05.1	1.4
12. 07.	16 40	10 18	23 01	11 21.7	04 56	1.6154	1.8690	05.0	1.4
18. 07.	16 29	10 13	22 44	11 34.6	03 27	1.6096	1.9084	04.9	1.4
24. 07.	16 18	10 08	22 28	11 47.6	01 58	1.6036	1.9460	04.8	1.4
30. 07.	16 08	10 04	22 11	12 00.8	00 27	1.5973	1.9820	04.7	1.5
05. 08.	15 58	10 00	21 55	12 14.2	-01 05	1.5908	2.0163	04.6	1.5
11. 08.	15 48	09 56	21 39	12 27.7	-02 38	1.5842	2.0489	04.6	1.5
17. 08.	15 38	09 52	21 23	12 41.5	-04 12	1.5773	2.0797	04.5	1.5
23. 08.	15 28	09 49	21 07	12 55.5	-05 45	1.5702	2.1088	04.4	1.5
29. 08.	15 19	09 45	20 52	13 09.8	-07 17	1.5630	2.1362	04.4	1.5
04. 09.	15 10	09 43	20 36	13 24.3	-08 49	1.5556	2.1620	04.3	1.5
10. 09.	15 01	09 40	20 21	13 39.1	-10 20	1.5481	2.1860	04.3	1.5
16. 09.	14 52	09 38	20 06	13 54.2	-11 49	1.5405	2.2084	04.2	1.5
22. 09.	14 44	09 36	19 52	14 09.6	-13 16	1.5327	2.2292	04.2	1.5
28. 09.	14 36	09 34	19 38	14 25.4	-14 40	1.5250	2.2484	04.2	1.5
04. 10.	14 29	09 32	19 25	14 41.5	-16 00	1.5172	2.2660	04.1	1.5
10. 10.	14 22	09 31	19 12	14 58.1	-17 17	1.5093	2.2822	04.1	1.5
16. 10.	14 15	09 30	19 00	15 15.0	-18 29	1.5015	2.2968	04.1	1.5
22. 10.	14 09	09 28	18 49	15 32.3	-19 36	1.4937	2.3099	04.1	1.5
28. 10.	14 03	09 27	18 38	15 49.9	-20 38	1.4859	2.3218	04.0	1.4
03. 11.	12 57	08 26	17 28	16 08.0	-21 33	1.4783	2.3323	04.0	1.4
09. 11.	12 52	08 25	17 19	16 26.5	-22 21	1.4707	2.3416	04.0	1.4
15. 11.	12 47	08 24	17 11	16 45.3	-23 01	1.4633	2.3496	04.0	1.4
21. 11.	12 43	08 22	17 03	17 04.4	-23 34	1.4560	2.3565	04.0	1.4
27. 11.	12 39	08 20	16 57	17 23.8	-23 58	1.4489	2.3624	04.0	1.4
03. 12.	12 35	08 17	16 52	17 43.5	-24 13	1.4420	2.3673	04.0	1.3
09. 12.	12 31	08 14	16 48	18 03.3	-24 18	1.4354	2.3712	03.9	1.3
15. 12.	12 27	08 10	16 45	18 23.3	-24 14	1.4290	2.3743	03.9	1.3
21. 12.	12 24	08 05	16 42	18 43.4	-24 00	1.4230	2.3765	03.9	1.3
27. 12.	12 20	07 59	16 41	19 03.5	-23 37	1.4172	2.3781	03.9	1.3



Јупитер									
Зонско време				Светско време - 0h UT					
Датум	Т	Израз	Залаз	α	δ	Δс	Δз	D	V
d m	h m	h m	h m	h m	o '	Aj	Aj	"	mag
01. 01.	14 50	09 43	19 57	21 55.7	-13 37	5.0034	5.6374	34.9	-2.0
07. 01.	14 31	09 22	19 40	22 00.5	-13 11	5.0020	5.7018	34.5	-1.9
13. 01.	14 12	09 02	19 23	22 05.4	-12 44	5.0005	5.7602	34.2	-1.9
19. 01.	13 54	08 41	19 07	22 10.5	-12 16	4.9992	5.8124	33.8	-1.9
25. 01.	13 35	08 20	18 50	22 15.6	-11 47	4.9978	5.8578	33.6	-1.9
31. 01.	13 17	08 00	18 34	22 20.9	-11 17	4.9964	5.8964	33.4	-1.9
06. 02.	12 59	07 40	18 18	22 26.3	-10 46	4.9951	5.9279	33.2	-1.9
12. 02.	12 41	07 19	18 02	22 31.7	-10 15	4.9938	5.9522	33.1	-1.9
18. 02.	12 23	06 59	17 46	22 37.1	-09 43	4.9925	5.9691	33.0	-1.9
24. 02.	12 04	06 39	17 30	22 42.5	-09 11	4.9912	5.9785	32.9	-1.9
02. 03.	11 46	06 18	17 14	22 48.0	-08 39	4.9899	5.9804	32.9	-1.9
08. 03.	11 28	05 58	16 58	22 53.4	-08 06	4.9886	5.9750	32.9	-1.9
14. 03.	11 09	05 37	16 42	22 58.8	-07 33	4.9874	5.9622	33.0	-1.9
20. 03.	10 51	05 17	16 26	23 04.1	-07 01	4.9862	5.9420	33.1	-1.9
26. 03.	10 33	04 56	16 10	23 09.4	-06 28	4.9850	5.9147	33.3	-1.9
01. 04.	11 15	05 36	16 54	23 14.6	-05 56	4.9838	5.8805	33.5	-1.9
07. 04.	10 56	05 15	16 37	23 19.7	-05 25	4.9826	5.8396	33.7	-1.9
13. 04.	10 37	04 54	16 21	23 24.7	-04 54	4.9815	5.7922	34.0	-1.9
19. 04.	10 19	04 34	16 04	23 29.6	-04 23	4.9803	5.7385	34.3	-1.9
25. 04.	10 00	04 13	15 47	23 34.3	-03 54	4.9792	5.6790	34.6	-1.9
01. 05.	09 41	03 52	15 30	23 38.8	-03 26	4.9781	5.6140	35.0	-2.0
07. 05.	09 21	03 31	15 12	23 43.2	-02 59	4.9771	5.5439	35.5	-2.0
13. 05.	09 02	03 10	14 54	23 47.4	-02 33	4.9760	5.4691	36.0	-2.0
19. 05.	08 42	02 48	14 36	23 51.3	-02 08	4.9750	5.3899	36.5	-2.1
25. 05.	08 22	02 27	14 18	23 55.1	-01 46	4.9739	5.3071	37.1	-2.1
31. 05.	08 02	02 06	13 59	23 58.5	-01 24	4.9729	5.2211	37.7	-2.1
06. 06.	07 42	01 44	13 40	00 01.7	-01 05	4.9719	5.1325	38.3	-2.2
12. 06.	07 21	01 22	13 20	00 04.6	-00 48	4.9710	5.0419	39.0	-2.2
18. 06.	07 00	01 00	13 00	00 07.2	-00 33	4.9700	4.9498	39.7	-2.2
24. 06.	06 39	00 38	12 40	00 09.4	-00 21	4.9691	4.8572	40.5	-2.3
30. 06.	06 17	00 15	12 19	00 11.3	-00 10	4.9682	4.7647	41.3	-2.3
06. 07.	05 55	23 49	11 57	00 12.8	-00 03	4.9673	4.6730	42.1	-2.4
12. 07.	05 32	23 26	11 35	00 13.8	00 02	4.9664	4.5830	42.9	-2.4
18. 07.	05 09	23 03	11 12	00 14.5	00 05	4.9656	4.4956	43.8	-2.5
24. 07.	04 46	22 40	10 48	00 14.7	00 04	4.9648	4.4116	44.6	-2.5
30. 07.	04 22	22 16	10 24	00 14.5	00 01	4.9640	4.3320	45.4	-2.5
05. 08.	03 58	21 52	10 00	00 13.9	-00 05	4.9632	4.2577	46.2	-2.6
11. 08.	03 33	21 28	09 35	00 12.8	-00 14	4.9624	4.1895	47.0	-2.6
17. 08.	03 08	21 04	09 09	00 11.3	-00 25	4.9617	4.1285	47.7	-2.7
23. 08.	02 43	20 39	08 42	00 09.5	-00 39	4.9609	4.0756	48.3	-2.7
29. 08.	02 17	20 14	08 16	00 07.3	-00 54	4.9602	4.0313	48.8	-2.7
04. 09.	01 51	19 49	07 48	00 04.8	-01 11	4.9595	3.9965	49.2	-2.8
10. 09.	01 25	19 24	07 21	00 02.1	-01 30	4.9589	3.9717	49.5	-2.8
16. 09.	00 58	18 59	06 53	23 59.3	-01 49	4.9582	3.9575	49.7	-2.8
22. 09.	00 32	18 34	06 25	23 56.4	-02 08	4.9576	3.9541	49.8	-2.8
28. 09.	00 05	18 09	05 58	23 53.5	-02 27	4.9570	3.9615	49.7	-2.8
04. 10.	23 35	17 44	05 30	23 50.6	-02 45	4.9564	3.9798	49.4	-2.8
10. 10.	23 08	17 18	05 03	23 47.9	-03 02	4.9558	4.0086	49.1	-2.7
16. 10.	22 42	16 53	04 36	23 45.5	-03 17	4.9553	4.0476	48.6	-2.7
22. 10.	22 17	16 28	04 09	23 43.3	-03 30	4.9547	4.0962	48.0	-2.7
28. 10.	21 51	16 04	03 43	23 41.5	-03 41	4.9542	4.1535	47.4	-2.6
03. 11.	20 26	14 39	02 17	23 40.1	-03 48	4.9537	4.2190	46.6	-2.6
09. 11.	20 02	14 15	01 53	23 39.1	-03 53	4.9533	4.2916	45.8	-2.6
15. 11.	19 38	13 51	01 28	23 38.5	-03 55	4.9528	4.3703	45.0	-2.5
21. 11.	19 14	13 27	01 05	23 38.4	-03 54	4.9524	4.4543	44.2	-2.5
27. 11.	18 51	13 04	00 42	23 38.8	-03 50	4.9520	4.5423	43.3	-2.4
03. 12.	18 28	12 41	00 19	23 39.6	-03 43	4.9516	4.6336	42.5	-2.4
09. 12.	18 06	12 18	23 54	23 40.8	-03 33	4.9513	4.7271	41.6	-2.4
15. 12.	17 44	11 55	23 33	23 42.5	-03 21	4.9509	4.8219	40.8	-2.3
21. 12.	17 23	11 32	23 13	23 44.6	-03 06	4.9506	4.9169	40.0	-2.3
27. 12.	17 01	11 10	22 53	23 47.0	-02 48	4.9503	5.0113	39.3	-2.2

Сатурн									
Зонско време				Светско време - 0h UT					
Датум	Т	Израз	Залаз	$\alpha$	$\delta$	$\Delta c$	$\Delta z$	D	V
d m	h m	h m	h m	h m	o '	Aj	Aj	"	mag
01. 01.	05 16	23 08	11 19	12 20.2	00 19	9.4751	09.323	17.8	0.9
07. 01.	04 52	22 45	10 56	12 20.6	00 18	9.4769	09.224	18.0	0.9
13. 01.	04 29	22 22	10 32	12 20.8	00 18	9.4787	09.128	18.1	0.8
19. 01.	04 05	21 58	10 09	12 20.8	00 20	9.4805	09.035	18.3	0.8
25. 01.	03 41	21 34	09 45	12 20.5	00 24	9.4823	08.947	18.5	0.8
31. 01.	03 17	21 09	09 22	12 19.9	00 29	9.4841	08.864	18.7	0.8
06. 02.	02 53	20 44	08 58	12 19.2	00 36	9.4859	08.788	18.8	0.7
12. 02.	02 28	20 19	08 33	12 18.2	00 43	9.4878	08.719	19.0	0.7
18. 02.	02 04	19 54	08 09	12 17.1	00 52	9.4896	08.658	19.1	0.7
24. 02.	01 39	19 28	07 45	12 15.8	01 02	9.4914	08.607	19.2	0.6
02. 03.	01 14	19 03	07 21	12 14.3	01 13	9.4932	08.565	19.3	0.6
08. 03.	00 49	18 37	06 56	12 12.8	01 24	9.4950	08.534	19.4	0.6
14. 03.	00 23	18 11	06 32	12 11.1	01 35	9.4968	08.514	19.5	0.6
20. 03.	23 54	17 45	06 07	12 09.4	01 47	9.4986	08.504	19.5	0.5
26. 03.	23 29	17 19	05 43	12 07.7	01 58	9.5004	08.506	19.5	0.6
01. 04.	00 07	17 53	06 18	12 06.0	02 09	9.5022	08.520	19.4	0.6
07. 04.	23 38	17 27	05 54	12 04.3	02 20	9.5041	08.543	19.4	0.6
13. 04.	23 13	17 01	05 29	12 02.7	02 30	9.5059	08.578	19.3	0.7
19. 04.	22 48	16 35	05 05	12 01.3	02 39	9.5077	08.622	19.2	0.7
25. 04.	22 23	16 10	04 40	11 59.9	02 47	9.5095	08.676	19.1	0.8
01. 05.	21 58	15 45	04 16	11 58.8	02 53	9.5113	08.739	18.9	0.8
07. 05.	21 34	15 20	03 52	11 57.8	02 59	9.5131	08.810	18.8	0.8
13. 05.	21 09	14 55	03 28	11 57.0	03 02	9.5149	08.887	18.6	0.9
19. 05.	20 45	14 31	03 04	11 56.4	03 05	9.5167	08.971	18.5	0.9
25. 05.	20 21	14 07	02 40	11 56.1	03 06	9.5185	09.060	18.3	1.0
31. 05.	19 58	13 43	02 16	11 55.9	03 05	9.5204	09.152	18.1	1.0
06. 06.	19 34	13 20	01 52	11 56.0	03 03	9.5222	09.249	17.9	1.0
12. 06.	19 11	12 57	01 29	11 56.3	03 00	9.5240	09.347	17.7	1.1
18. 06.	18 48	12 34	01 05	11 56.8	02 55	9.5258	09.446	17.5	1.1
24. 06.	18 25	12 12	00 42	11 57.6	02 49	9.5276	09.546	17.3	1.1
30. 06.	18 02	11 49	00 19	11 58.5	02 41	9.5294	09.645	17.2	1.1
06. 07.	17 40	11 28	23 52	11 59.7	02 32	9.5312	09.742	17.0	1.1
12. 07.	17 18	11 06	23 29	12 01.1	02 22	9.5330	09.837	16.8	1.1
18. 07.	16 56	10 45	23 06	12 02.6	02 11	9.5348	09.929	16.7	1.1
24. 07.	16 34	10 24	22 44	12 04.3	01 59	9.5367	10.017	16.5	1.1
30. 07.	16 12	10 03	22 21	12 06.1	01 46	9.5385	10.100	16.4	1.1
05. 08.	15 50	09 42	21 59	12 08.1	01 32	9.5403	10.178	16.3	1.1
11. 08.	15 29	09 22	21 36	12 10.3	01 18	9.5421	10.250	16.2	1.1
17. 08.	15 08	09 01	21 14	12 12.5	01 02	9.5439	10.315	16.1	1.1
23. 08.	14 46	08 41	20 52	12 14.9	00 46	9.5457	10.374	16.0	1.1
29. 08.	14 25	08 21	20 29	12 17.3	00 30	9.5475	10.425	15.9	1.0
04. 09.	14 04	08 01	20 07	12 19.8	00 13	9.5493	10.468	15.8	1.0
10. 09.	13 43	07 41	19 45	12 22.4	-00 04	9.5511	10.503	15.8	1.0
16. 09.	13 22	07 21	19 23	12 25.1	-00 21	9.5529	10.530	15.7	0.9
22. 09.	13 01	07 02	19 01	12 27.8	-00 39	9.5548	10.548	15.7	0.9
28. 09.	12 41	06 42	18 39	12 30.5	-00 56	9.5566	10.557	15.7	0.9
04. 10.	12 20	06 22	18 17	12 33.2	-01 14	9.5584	10.557	15.7	0.9
10. 10.	11 59	06 02	17 55	12 35.9	-01 31	9.5602	10.548	15.7	0.9
16. 10.	11 38	05 43	17 33	12 38.6	-01 48	9.5620	10.530	15.7	0.9
22. 10.	11 17	05 23	17 11	12 41.3	-02 04	9.5638	10.504	15.8	0.9
28. 10.	10 56	05 03	16 49	12 43.9	-02 20	9.5656	10.468	15.8	0.9
03. 11.	09 35	03 43	15 27	12 46.5	-02 36	9.5674	10.425	15.9	0.9
09. 11.	09 14	03 23	15 05	12 49.0	-02 51	9.5692	10.373	16.0	0.9
15. 11.	08 52	03 02	14 42	12 51.4	-03 05	9.5710	10.313	16.1	0.9
21. 11.	08 31	02 42	14 20	12 53.7	-03 18	9.5728	10.246	16.2	0.9
27. 11.	08 10	02 21	13 58	12 55.8	-03 30	9.5746	10.173	16.3	0.9
03. 12.	07 48	02 01	13 36	12 57.8	-03 42	9.5764	10.093	16.4	0.9
09. 12.	07 26	01 39	13 13	12 59.7	-03 52	9.5782	10.008	16.5	0.9
15. 12.	07 04	01 18	12 51	13 01.4	-04 01	9.5800	09.918	16.7	0.8
21. 12.	06 42	00 57	12 28	13 02.9	-04 09	9.5818	09.824	16.9	0.8
27. 12.	06 20	00 35	12 05	13 04.2	-04 15	9.5836	09.728	17.0	0.8

Уран									
Зонско време				Светско време - 0h UT					
Датум	Т	Излаз	Залаз	$\alpha$	$\delta$	$\Delta c$	$\Delta z$	D	V
d m	h m	h m	h m	h m	o '	AJ	AJ	"	mag
01. 01.	16 29	10 41	22 18	23 35.8	-03 26	20.097	20.368	3.2	5.9
13. 01.	15 43	09 54	21 33	23 37.1	-03 17	20.097	20.559	3.2	5.9
25. 01.	14 58	09 08	20 48	23 38.8	-03 06	20.097	20.729	3.2	5.9
06. 02.	14 13	08 22	20 04	23 40.8	-02 52	20.096	20.871	3.2	5.9
18. 02.	13 28	07 36	19 20	23 43.0	-02 38	20.096	20.981	3.1	5.9
02. 03.	12 43	06 50	18 36	23 45.4	-02 22	20.096	21.054	3.1	5.9
14. 03.	11 58	06 04	17 52	23 47.9	-02 06	20.096	21.088	3.1	6.0
26. 03.	11 14	05 19	17 09	23 50.4	-01 49	20.096	21.082	3.1	6.0
07. 04.	11 29	05 33	17 25	23 52.8	-01 34	20.096	21.037	3.1	5.9
19. 04.	10 44	04 47	16 41	23 55.2	-01 19	20.095	20.954	3.1	5.9
01. 05.	09 59	04 01	15 57	23 57.3	-01 05	20.095	20.838	3.2	5.9
13. 05.	09 14	03 15	15 12	23 59.2	-00 53	20.095	20.691	3.2	5.9
25. 05.	08 28	02 29	14 28	00 00.8	-00 43	20.095	20.521	3.2	5.9
06. 06.	07 42	01 42	13 42	00 02.1	-00 35	20.094	20.334	3.2	5.9
18. 06.	06 56	00 56	12 56	00 02.9	-00 30	20.094	20.136	3.3	5.8
30. 06.	06 09	00 09	12 09	00 03.3	-00 28	20.094	19.935	3.3	5.8
12. 07.	05 22	23 18	11 22	00 03.3	-00 28	20.094	19.740	3.3	5.8
24. 07.	04 34	22 30	10 34	00 02.9	-00 31	20.093	19.558	3.4	5.8
05. 08.	03 46	21 43	09 46	00 02.1	-00 37	20.093	19.397	3.4	5.8
17. 08.	02 58	20 55	08 57	00 00.9	-00 45	20.093	19.264	3.4	5.8
29. 08.	02 09	20 07	08 08	23 59.5	-00 55	20.093	19.166	3.4	5.7
10. 09.	01 20	19 19	07 18	23 57.8	-01 05	20.092	19.106	3.4	5.7
22. 09.	00 32	18 30	06 29	23 56.1	-01 17	20.092	19.088	3.4	5.7
04. 10.	23 39	17 42	05 39	23 54.3	-01 28	20.092	19.114	3.4	5.7
16. 10.	22 50	16 54	04 49	23 52.7	-01 39	20.092	19.183	3.4	5.7
28. 10.	22 01	16 06	04 00	23 51.3	-01 48	20.091	19.291	3.4	5.8
09. 11.	20 13	14 18	02 11	23 50.1	-01 55	20.091	19.434	3.4	5.8
21. 11.	19 25	13 31	01 23	23 49.4	-01 59	20.091	19.605	3.4	5.8
03. 12.	18 37	12 43	00 36	23 49.0	-02 01	20.090	19.797	3.3	5.8
15. 12.	17 50	11 56	23 45	23 49.1	-01 60	20.090	20.001	3.3	5.8
27. 12.	17 04	11 09	22 58	23 49.6	-01 56	20.090	20.207	3.3	5.9

Нептун									
Зонско време				Светско време – 0h UT					
Датум	Т	Излаз	Залаз	α	δ	Δс	Δз	D	V
d m	h m	h m	h m	h m	o '	Aj	Aj	"	mag
01. 01.	14 42	09 36	19 48	21 48.1	-13 43	30.024	30.722	2.0	8.0
13. 01.	13 56	08 49	19 03	21 49.5	-13 36	30.024	30.851	2.0	8.0
25. 01.	13 11	08 03	18 18	21 51.2	-13 27	30.024	30.944	2.0	8.0
06. 02.	12 25	07 17	17 33	21 52.9	-13 19	30.023	30.998	2.0	8.0
18. 02.	11 40	06 31	16 49	21 54.6	-13 09	30.023	31.010	2.0	8.0
02. 03.	10 54	05 45	16 04	21 56.4	-13 00	30.023	30.981	2.0	8.0
14. 03.	10 09	04 59	15 19	21 58.1	-12 52	30.022	30.912	2.0	8.0
26. 03.	09 23	04 12	14 34	21 59.6	-12 44	30.022	30.805	2.0	8.0
07. 04.	09 37	04 26	14 48	22 01.0	-12 36	30.022	30.667	2.0	8.0
19. 04.	08 51	03 40	14 03	22 02.1	-12 30	30.021	30.501	2.0	7.9
01. 05.	08 05	02 53	13 17	22 03.0	-12 26	30.021	30.316	2.1	7.9
13. 05.	07 18	02 06	12 31	22 03.7	-12 23	30.021	30.118	2.1	7.9
25. 05.	06 32	01 19	11 44	22 04.0	-12 21	30.020	29.915	2.1	7.9
06. 06.	05 44	00 32	10 57	22 04.0	-12 22	30.020	29.716	2.1	7.9
18. 06.	04 57	23 41	10 09	22 03.8	-12 23	30.020	29.528	2.1	7.9
30. 06.	04 09	22 54	09 21	22 03.2	-12 27	30.019	29.360	2.1	7.9
12. 07.	03 21	22 06	08 33	22 02.4	-12 31	30.019	29.219	2.1	7.8
24. 07.	02 33	21 18	07 44	22 01.4	-12 37	30.019	29.110	2.1	7.8
05. 08.	01 45	20 30	06 55	22 00.3	-12 43	30.018	29.038	2.1	7.8
17. 08.	00 56	19 42	06 06	21 59.0	-12 50	30.018	29.007	2.1	7.8
29. 08.	00 08	18 54	05 18	21 57.8	-12 57	30.018	29.018	2.1	7.8
10. 09.	23 15	18 06	04 29	21 56.6	-13 03	30.017	29.072	2.1	7.8
22. 09.	22 27	17 18	03 40	21 55.5	-13 09	30.017	29.165	2.1	7.8
04. 10.	21 39	16 31	02 52	21 54.6	-13 14	30.017	29.294	2.1	7.8
16. 10.	20 51	15 43	02 03	21 53.9	-13 18	30.016	29.454	2.1	7.9
28. 10.	20 04	14 56	01 16	21 53.5	-13 20	30.016	29.638	2.1	7.9
09. 11.	18 16	13 08	23 24	21 53.3	-13 20	30.015	29.837	2.1	7.9
21. 11.	17 29	12 21	22 38	21 53.5	-13 19	30.015	30.044	2.1	7.9
03. 12.	16 43	11 35	21 51	21 54.1	-13 16	30.015	30.248	2.1	7.9
15. 12.	15 56	10 48	21 05	21 54.9	-13 12	30.014	30.442	2.0	7.9
27. 12.	15 10	10 01	20 19	21 56.0	-13 06	30.014	30.616	2.0	8.0

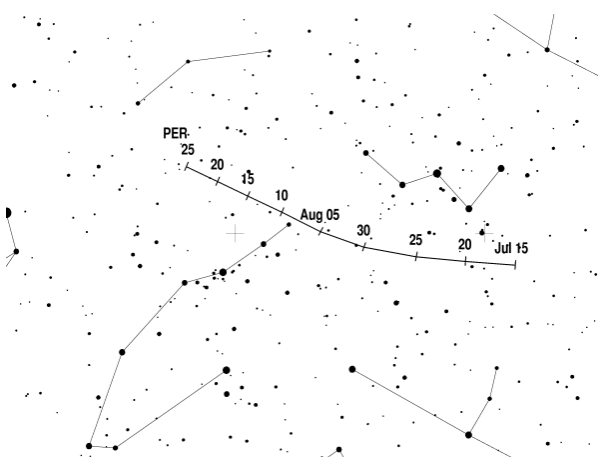
Метеори											
Рој		Активност – Зонско време				λс	Радијант		Особине		
Назив	Ознака	Од	До	Максимум			α	δ	V	r	ZHR
		d m	d m	d m	h m	o	o	o	km/s		
Квадрантиди	QUA	28. 12.	12. 01.	03. 01.	20 04	283.2	230	49	41	2.1	120
Лириди	LYR	16. 04.	25. 04.	22. 04.	19 00	032.3	271	34	49	2.1	18
η-Аквариди	ETA	19. 04.	28. 05.	06. 05.	08 00	045.5	338	-01	66	2.4	85
Персеиди	PER	17. 07.	24. 08.	13. 08.	01 30	140.0	048	58	59	2.2	100
Ориониди	ORI	02. 10.	07. 11.	21. 10.	08 00	208.0	095	16	66	2.5	30
Леониди	LEO	10. 11.	23. 11.	17. 11.	22 15	235.3	152	22	71	2.5	20
Геминиди	GEM	07. 12.	17. 12.	14. 12.	12 00	262.2	112	33	35	2.6	120



Радијант роја Лирида



Радијант роја  $\eta$ -Акварида



Радијант роја Персеида



Радијант роја Орионида



Радијант роја Леонида



Радијант роја Геминида

# Планетске конфигурације

## Јануар

01<sup>d</sup> 22<sup>h</sup> Месец у перигеју (358 684 km)  
02 22 Земља у перихелу  
04 20 Меркур у доњој конјункцији  
11 22 Венера у горњој конјункцији  
17 03 Месец у апогеју (406 434 km)  
24 15 Венера у афелу  
27 06 Меркур у елонгацији: 24.8°W  
29 20 Марс у опозицији  
30 10 Месец у перигеју (356 593 km)

## Фебруар

12<sup>d</sup> 07<sup>h</sup> Меркур 2.3°S од Месеца  
13 03 Месец у апогеју (406 542 km)  
14 18 Нептун у конјункцији са Сунцем  
27 23 Месец у перигеју (357 832 km)  
28 13 Јупитер у конјункцији са Сунцем

## Март

12<sup>d</sup> 11<sup>h</sup> Месец у апогеју (406 011 km)  
14 14 Меркур у горњој конјункцији  
17 16 Уран у конјункцији са Сунцем  
22 01 Сатурн у опозицији  
25 15 Марс 4.5°N од Месеца  
28 07 Месец у перигеју (361 877 km)  
31 02 Марс у афелу

## Април

09<sup>d</sup> 01<sup>h</sup> Меркур у елонгацији 19.3°E  
09 05 Месец у апогеју (404 999 km)  
16 15 Венера 4.1°S од Месеца  
22 12 Марс 4.6°N од Месеца  
24 23 Месец у перигеју (367 142 km)  
28 19 Меркур у доњој конјункцији

## Мај

07<sup>d</sup> 00<sup>h</sup> Месец у апогеју (404 231 km)  
16 12 Венера 0.1°S од Месеца  
17 01 Венера у перихелу  
20 11 Месецу перихелу (369 729 km)  
26 04 Меркур у елонгацији 25.1°W

## Јун

03<sup>d</sup> 19<sup>h</sup> Месец у апогеју (404 266 km)  
15 09 Венера 3.9°N од Месеца  
15 17 Месец у перигеју (365 937 km)  
28 14 Меркур у горњој конјункцији

## Јул

01<sup>d</sup> 12<sup>h</sup> Месец у апогеју (405 036 km)  
06 16 Земља у афелу  
13 13 Месец у перигеју (361 116 km)  
15 03 Венера 6.0°N од Месеца  
29 02 Месец у апогеју (405 955 km)

## Август

07<sup>d</sup> 03<sup>h</sup> Меркур у елонгацији 27.4°E  
10 20 Месец у перигеју 357858 km  
12 04 Меркур 2.4°N од Месеца  
13 14 Венера 4.5°N од Месеца  
20 04 Венера у елонгацији 46.0°E  
20 05 Нептун у опозицији  
25 08 Месец у апогеју (406 390 km)

## Септембар

03<sup>d</sup> 14<sup>h</sup> Меркур у доњој конјункцији  
08 06 Месец у перигеју (357 193 km)  
11 15 Венера 0.3°N од Месеца  
19 19 Меркур у елонгацији 17.9°W  
21 10 Месец у апогеју (406 169 km)  
21 14 Јупитер у опозицији  
22 03 Уран у опозицији

## Октобар

01<sup>d</sup> 02<sup>h</sup> Сатурн у конјункцији са Сунцем  
06 16 Месец у перигеју (359 453 km)  
09 18 Венера 3.3°S од Месеца  
10 04 Марс 3.5°N од Месеца  
17 03 Меркур у горњој конјункцији  
18 20 Месец у апогеју (405 433 km)  
29 02 Венера у доњој конјункцији

## Новембар

03<sup>d</sup> 18<sup>h</sup> Месец у перигеју (364 189 km)  
07 23 Марс 1.6°N од Месеца

15 13 Месец у апогеју (404 634 km)  
 30 20 Месец у перигеју (369 439 km)

## Децембар

01<sup>d</sup> 17<sup>h</sup> Меркур у елонгацији 21.5°E  
 02 22 Венера 6.4°N од Месеца

07 10 Меркур 1.8°S од Месеца  
 13 10 Месец у апогеју (404 408 km)  
 20 02 Меркур у доњој конјункцији  
 25 13 Месец у перигеју (368 463 km)  
 27 17 Венера у перихелу

FIGURE 4

## Total Lunar Eclipse of 2010 Dec 21

Ecliptic Conjunction = 08:14:33.1 TD (= 08:13:26.0 UT)

Greatest Eclipse = 08:18:03.7 TD (= 08:16:56.6 UT)

Penumbral Magnitude = 2.2807

P. Radius = 1.2538°

Gamma = 0.3214

Umbral Magnitude = 1.2561

U. Radius = 0.7118°

Axis = 0.3119°

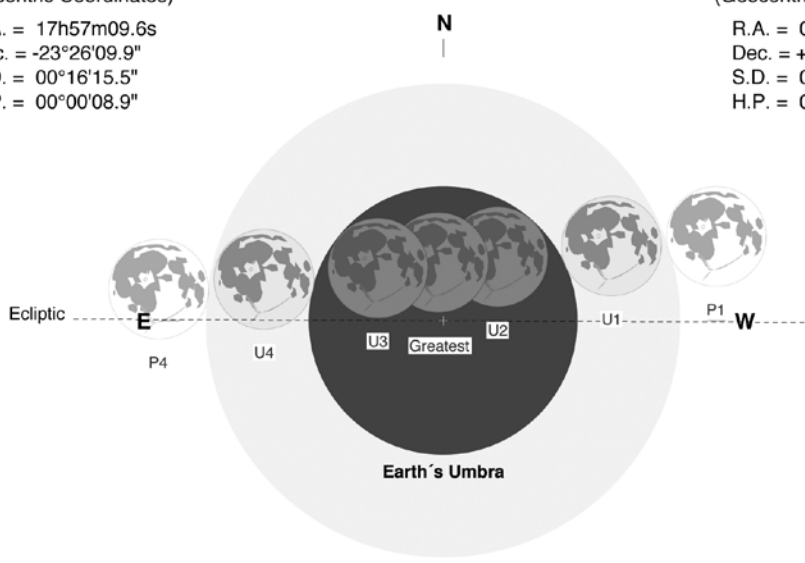
Saros Series = 125 Member = 48 of 72

### Sun at Greatest Eclipse (Geocentric Coordinates)

R.A. = 17h57m09.6s  
 Dec. = -23°26'09.9"  
 S.D. = 00°16'15.5"  
 H.P. = 00°00'08.9"

### Moon at Greatest Eclipse (Geocentric Coordinates)

R.A. = 05h57m17.3s  
 Dec. = +23°44'47.8"  
 S.D. = 00°15'52.1"  
 H.P. = 00°58'14.3"



### Eclipse Durations

Penumbral = 05h35m14s

Umbral = 03h28m43s

Total = 01h12m21s

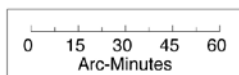
$\Delta T = 67$  s

Rule = CdT (Danjon)

Eph. = VSOP87/ELP2000-85

### Earth's Penumbra

S



F. Espenak, NASA's GSFC

[eclipse.gsfc.nasa.gov/eclipse.html](http://eclipse.gsfc.nasa.gov/eclipse.html)

### Eclipse Contacts

P1 = 05:29:17 UT

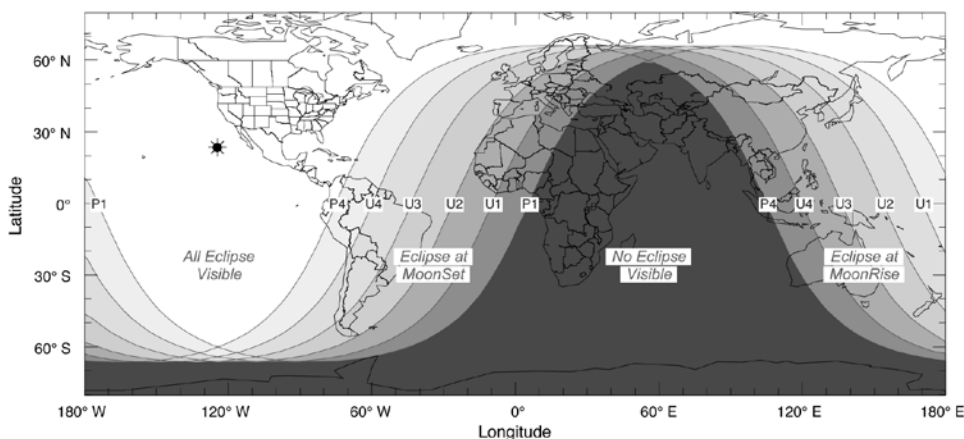
U1 = 06:32:37 UT

U2 = 07:40:47 UT

U3 = 08:53:08 UT

U4 = 10:01:20 UT

P4 = 11:04:31 UT



# Садржај

## CONTENTS

### СТРУЧНИ РАДОВИ PROFESSIONAL PAPERS

Корrado Корлевић	
Астрономски дурбини.....	53
Astronomy telescopes.....	53
Горан Павичић	
Ефемериде за 2010. годину.....	76
Ephemerides for the year 2010.....	76
Горан Павичић	
Планетске конфигурације за 2010. годину.....	102
Planet's configurations the year 2010.....	102

### Слика са насловне стране:



**Маглину „Мачје око“ окружује хало одбаченог материјала са звезде у последњим фазама еволуције пре 50 000 до 90 000 година.**

**Љубазношћу: Nordic Optical Telescope and Romano Corradi (Isaac Newton Group of Telescopes, Spain)**

Уређивачки одбор: Милан Јеличић (главни и одговорни уредник), Милан Вулетић, др Миодраг Дачић, проф. др Милан С. Димитријевић, др Драгана Илић, Маја Јеринић, проф. др Јелена Милоградов-Турин, др Слободан Нинковић, Горан Павичић, др Лука Ч. Поповић, мр Наташа Станић, Ненад Трајковић, др Зорица Цветковић, др Владан Челебоновић

ВАСИОНА, часопис за астрономију, издање Астрономског друштва „Руђер Бошковић“. Излази у 4 броја годишње. Годишња претплата за 2009. годину износи 600 динара, цена појединачног броја је 180 динара. Претплата за иностранство је 20 евра. Преплату уплатити на жиро рачун број: 205-29948-66.

Астрономско друштво „Руђер Бошковић“

Горњи град 16, 11000 Београд, тел/факс: 011 3032 133

e-mail: [vasiona@adrb.org](mailto:vasiona@adrb.org)

[www.adrb.org](http://www.adrb.org)

Покровитељи овог броја:

**BSProcesor**  
Zajedno možemo mnogo.



Министарство науке  
републике Србије

СIP – Каталогизација у публикацији  
Народна библиотека Србије, Београд

UDC 52(05)  
ISSN 0506-4295  
COBISS.SR-ID 3739394  
<http://vbs.nbs.bg.ac.yu/cobiss>

